550.647

ТРУДЫ ГЕОЛОГИЧЕСКАГО КОМИТЕТА.
Томъ XVI, № 2 (и послѣдній).

MÉMOIRES DU COMITÉ GÉOLOGIQUE.
Volume XVI, № 2 (et dernier).

ВЕРХНЕКАМЕННОУГОЛЬНЫЯ БРАХІОПОДЫ УРАЛА и ТИМАНА.

Ѳ. ЧЕРНЫШЕВА.

Съ 63-мя таблицами.

Выпускъ II. — Атласъ.

DIE OBERCARBONISCHEN BRACHIOPODEN DES URAL UND DES TIMAN.

TH. TSCHERNYSCHEW.

Mit 63 Tafeln.

Lieferung II. — Atlas.

SMITHSONIAN INSTITUTION
324585
JUL 11 1928
NATIONAL MUSEUM

Коммиссіонеры Геологическаго Комитета:

Картографическій магазинъ А. Ильина въ С.-Петербургѣ | Книжный магаз. изданій Главнаго Штаба въ С.-Петербургѣ.

Librairie Eggers et C-ie à St.-Pétersbourg. | Max Weg, Buchhandlung Leipzig, Leplaystrasse, 1. | Librairie scientifique A. Hermann Paris, 6, Rue de la Sorbonne.

Цѣна (за оба выпуска) 18 *руб.*

1902.

ТРУДЫ ГЕОЛОГИЧЕСКАГО КОМИТЕТА.
Томъ XVI, № 2 (и послѣдній).

MÉMOIRES DU COMITÉ GÉOLOGIQUE.
Volume XVI, № 2 (et dernier).

ВЕРХНЕКАМЕННОУГОЛЬНЫЯ БРАХІОПОДЫ УРАЛА и ТИМАНА.

Th. ЧЕРНЫШЕВА.

Съ 63-мя таблицами.

Выпускъ II.—Атласъ.

DIE OBERCARBONISCHEN BRACHIOPODEN DES URAL UND DES TIMAN.

TH. TSCHERNYSCHEW.

Mit 63 Tafeln.

Lieferung II.—Atlas.

Коммиссіонеры Геологическаго Комитета:

Картографическій магазинъ А. Ильина въ С.-Петербургѣ. | Книжный магаз. изданій Главнаго Штаба въ С.-Петербургѣ.

Librairie Eggers et C-ie à St.-Pétersbourg. | Max Weg, Buchhandlung Leipzig, Leplaystrasse, 1. | Librairie scientifique A. Hermann Paris, 6, Rue de la Sorbonne.

Цѣна (за оба выпуска) 18 *руб.*

1902.

Напечатано по распоряженію Геологическаго Комитета.

Типографія М. Стасюлевича, Спб., Вас. Остр., 5 лин., 28.

ОБЪЯСНЕНІЕ РИСУНКОВЪ.

ERKLÄRUNG DER ABBILDUNGEN.

Таблица I.

Фиг. 1. *Dielasma truncatum* Waagen. Стр. 35. Р. Уфа, въ $2^1/_2$ верстахъ ниже Урюша. Швагериновый горизонтъ.

Фиг. 2. *Dielasma timanicum* n. sp. Стр. 38. Р. Индига (7). Швагериновый горизонтъ (см. таб. II, фиг. 9).

Фиг. 3. *Dielasma dubium* n. sp. Стр. 36. Ворота Малой Щелихи (Тиманъ). Швагериновый горизонтъ.

Фиг. 4—5. *Dielasma curvatum* n. sp. Фиг. 31. Фиг. 4—брюшная створка съ сильно развитыми зубными пластинками; фиг. 5 — экземпляръ, у котораго удалена раковина въ макушечной части спинной створки и на ядрѣ ясно обнаружена мускульная площадка (фиг. 5а). Р. Уфа, ниже дер. Хорошаевой. Швагериновый горизонтъ.

Tafel I.

Fig. 1. *Dielasma truncatum* Waagen. S. 456 (r. T., S. 35). Fl. Ufa, $2^1/_2$ Werst unterhalb des Dorfes Urjusch. Schwagerinen-Kalk.

Fig. 2. *Dielasma timanicum* n. sp. S. 459 (r. T., S. 38). Fl. Indiga (7). Schwagerinen-Kalk (siehe Taf. II, Fig. 9).

Fig. 3. *Dielasma dubium* n. sp. S. 437 (r. T., S. 36). Timan. Das Thor der Kleinen Stschelicha. Schwagerinen-Kalk.

Fig. 4—5. *Dielasma curvatum* n. sp. S. 454 (r. T., S. 31). Fig. 4—Ventralschale mit kräftig entwickelten Zahnplatten; Fig. 5—Exemplar, bei welchem ein Theil der Dorsalschale, um die Muskelplateforme zu beobachten, entfernt ist (Fig. 5a). Fl. Ufa unterhalb des Dorfes Choroschajewa. Schwagerinen-Kalk.

Ѳ. ЧЕРНЫШЕВЪ. Верхнекамен. брахіоподы Урала и Тимана. Таб. I.

Фототипія В. Ивасевъ, С. Петербургъ Кадетская лин. № 7-2.
Пряжи Н. Каминскій

Таблица II.

Фиг. 1—2. *Dielasma supracarbonicum* n. sp. Стр. 28. С. Тастуба. Швагериновый горизонтъ.

Фиг. 3. *Dielasma plica* Kutorga. Стр. 34. Оригиналъ Куторги. Стерлитамакъ. Швагериновый известнякъ (см. таб. IV, фиг. 5—7).

Фиг. 4. *Dielasma plica* Kut. Стр. 34. Гора Липовая на Симу. Швагериновый горизонтъ.

Фиг. 5. *Dielasma gillingense* Davids. Стр. 29. Гора Ксяканъ Ташъ на р. Уфѣ. Швагериновый известнякъ.

Фиг. 6. *Dielasma elongatum* Schloth. Стр. 30. Камень Елпачъ на р. Сылвѣ. Швагериновый известнякъ (см. таб. IV, фиг. 9, таб. IX, фиг. 5—7).

Фиг. 7. *Hemiptychina orientalis* n. sp. Стр. 41. Наиболѣе крупный изъ имѣющихся экземпляровъ. Около станціи Аши, Самаро-Златоустовской ж. д. Швагериновый известнякъ (см. таб. XLII, фиг. 1—4).

Фиг. 8. *Notothyris Warthi* Waagen. Стр. 47. Дорога изъ Еманзилги въ Усть-Машъ. Швагериновый известнякъ.

Фиг. 9. *Dielasma timanicum* n. sp. Стр. 38. Гора Улькунды на Симу. Швагериновый известнякъ (см. таб. I, фиг. 2).

Фиг. 10. *Aulacothyris uralica* Krotow. Стр. 50. Р. Ай, въ 4-хъ верстахъ ниже устья Югуза. Коровый горизонтъ (см. таб. XLIV, фиг. 11—12).

Фиг. 11. *Aulacothyris uralica* Krotow. Стр. 50. Р. Уфа, въ 2-хъ верстахъ выше дер. Янбаевой. Швагериновый известнякъ.

Фиг. 12. *Aulacothyris uralica* Krotow. Стр. 50. Неполный экземпляръ (ядро); *a*—видъ со спинной створки, *b*—съ лобнаго края. Р. Уфа, выше дер. Янсеитовой. Коровый горизонтъ.

Tafel II.

Fig. 1—2. *Dielasma supracarbonicum* n. sp. S. 452 (r. T., S. 28). Kirchdorf Tastuba. Schwagerinen-Kalk.

Fig. 3. *Dielasma plica* Kut. S. 456 (r. T., S. 34). Kutorgas Original. Sterlitamak. Schwagerinen-Kalk (siehe Taf. IV, Fig. 5—7).

Fig. 4. *Dielasma plica* Kut. S. 456 (r. T., S. 34). Berg Lipowaja am Sim. Schwagerinen-Kalk.

Fig. 5. *Dielasma gillingense* Davids. S. 454 (r. T., S. 29). Berg Ksjakan Tasch an der Ufa. Schwagerinen-Kalk.

Fig. 6. *Dielasma elongatum* Schloth. S. 454 (r. T., S. 30). Klippe Jelpatsch an der Sylwa. Schwagerinen-Kalk (siehe Taf. IV, Fig. 9, Taf. IX, Fig. 5—7).

Fig. 7. *Hemiptychina orientalis* n. sp. S. 460 (r. T., S. 41). Das grösste der vorhandenen Exemplare. Bei der Station Ascha, Eisenbahn Samara-Slatoust. Schwagerinen-Kalk (siehe Taf. XLII, Fig. 1—4).

Fig. 8. *Notothyris Warthi* Waagen. S. 466 (r. T., S. 47). Auf dem Wege von Jemansilga nach Ust-Masch. Schwagerinen-Kalk.

Fig. 9. *Dielasma timanicum* n. sp. S. 459 (r. T., S. 38). Berg Ulkundy am Sim. Schwagerinen-Kalk (siehe Taf. I, Fig. 2).

Fig. 10. *Aulacothyris uralica* Krotow. S. 469 (r. T., S. 50). Fl. Ai, 4 Werst unterhalb der Mündung des Jugus. Cora-Horizont (siehe Taf. XLIV, Fig. 11—12).

Fig. 11. *Aulacothyris uralica* Krotow. S. 469 (r. T., S. 50). Fl. Ufa, 2 Werst oberhalb des Dorfes Janbajewa. Schwagerinen Kalk.

Fig. 12. *Aulacothyris uralica* Krotow. S. 469 (r. T., S. 50). Unvollständiges Exemplar (Steinkern); *a*—Ansicht von der Dorsalschale, *b*—Stirnansicht. Fl. Ufa, oberhalb des Dorfes Janseitowa. Cora-Horizont.

Фототипія В. Классенъ С. Петербургъ Кадетская лин. N°7 2
Препар. Н. Каминскій

Таблица III.

Фиг. 1. *Dielasma itaitubense* Derby. Стр. 36. Р. Ай, въ 1½ верстахъ ниже Абдулиной. Швагериновый горизонтъ.

Фиг. 2, 4. *Dielasma millepunctatum* Hall. Стр. 33. Р. Уфа, ниже дер. Нижн. Суянъ. Коровый горизонтъ.

Фиг. 3. *Dielasma bovidens* Morton. Стр. 33. Р. Уфа, ниже деревни Нижній Суянъ. Коровый горизонтъ (см. таб. IV, фиг. 4).

Фиг. 5. *Waldheimia pentagona* Kutorga. Стр. 52. Оригиналъ Куторги. Окрестности Стерлитамака. Швагериновый горизонтъ.

Фиг. 6—7. *Dielasma Moelleri* n. sp. Стр. 29. Р. Уфа, въ 2-хъ верстахъ выше дер. Янбаевой. Швагериновый горизонтъ.

Tafel III.

Fig. 1. *Dielasma itaitubense* Derby. S. 457 (r. T., S. 36). Fl. Ai, 1½ Werst unterhalb des Dorfes Abdulina. Schwagerinen-Kalk.

Fig. 2, 4. *Dielasma millepunctatum* Hall. S. 456 (r. T., S. 33). Fl. Ufa, unterhalb des Dorfes Nischnij Sujan. Cora-Horizont.

Fig. 3. *Dielasma bovidens* Morton. S. 455 (r. T., S. 33). Fl. Ufa, unterhalb des Dorfes Nischnij Sujan. Cora-Horizont (siehe Taf. IV, Fig. 4).

Fig. 5. *Waldheimia pentagona* Kutorga. S. 471 (r T., S. 52). Kutorgas Original. Sterlitamak. Schwagerinen-Kalk.

Fig. 6—7. *Dielasma Moelleri* n. sp. S. 453 (r. T., S. 29). Fl. Ufa, 2 Werst unterhalb des Dorfes Janbajewa. Schwagerinen-Kalk.

Фототипія В. Клясонъ. С.Петербургъ, Кавалерская лин. № 7-2
Прессы Н. Ломанскій

Таблица IV.

Фиг. 1—3. *Dielasma giganteum* n. sp. Стр. 32. Фиг. 1*a*, 2*a*, и 3*a*—у макушки раковина отпала, и на ядрѣ обнаруживается ланцетовидная мускульная площадка спинной створки. Гора Улу Тау на Симу. Швагериновый горизонтъ.

Фиг. 4. *Dielasma bovidens* Morton. Стр. 33. Гора Сикъ-такты на Симу. Швагериновый горизонтъ (см. также таб. III, фиг. 3).

Фиг. 5. *Dielasma plica* Kut. Стр. 34. Ст. Аша, Самаро-Златоустовской желѣзной дороги. Швагериновый горизонтъ (см. таб. II, фиг. 3, 4).

Фиг. 6. *Dielasma plica* Kut. Стр. 34. На фиг. 4*a* частью видна мускульная площадка спинной створки. Гора Тура Тау подлѣ Стерлитамака Швагериновый горизонтъ.

Фиг. 7. *Dielasma plica* Kut. Стр. 34. Ядро брюшной створки, съ сильно развитыми зубными пластинками. Р. Кишерка у дер. Куликовой. Швагериновый горизонтъ.

Фиг. 8. *Dielasma juresanense* n. sp. Стр. 37. Р. Юрезань, подлѣ д. Базраковой. Швагериновый горизонтъ.

Фиг. 9. *Dielasma elongatum* Schloth. Стр. 30. Брюшная створка. Тиманъ, р. Бѣлая (42). Швагериновый горизонтъ (см. таб. II, фиг. 6, таб. IX, фиг. 5—7).

Tafel IV.

Fig. 1—3. *Dielasma giganteum* n. sp. S. 455 (r. T., S. 32), Fig. 1*a*, 2*a*, 3*a*—Dorsalansichte. Die Schale von der Wirbelpartie ist entfernt und die Muskelplateformen treten hervor. Berg Ulu-Tau am Sim. Schwagerinen-Horizont.

Fig. 4. *Dielasma bovidens* Morton. S. 455 (r. T., S. 33). Berg Sik-Takty am Sim. Schwagerinen-Kalk (siehe Taf. III, Fig. 3).

Fig. 5. *Dielasma plica* Kut. S. 456. (r. T., S. 34). Station Ascha der Eisenbahn Samara-Slatoust. Schwagerinen-Kalk (siehe Taf. II, Fig. 3, 4).

Fig. 6. *Dielasma plica* Kut. S. 456 (r. T., S. 34). Fig. 4*a* zeigt theilweise die Muskelplateforme der Dorsalschale. Berg Tura Tau bei Sterlitamak. Schwagerinen-Kalk.

Fig. 7. *Dielasma plica* Kut. S. 456 (r. T., S 34). Steinkern der Ventralschale mit kräftig entwickelten Zahnplatten. Dorf Kulikowa an der Kischerka. Schwagerinen-Kalk.

Fig. 8. *Dielasma juresanense* n. sp. S. 458 (r. T., S. 37). Dorf Basrakowa an der Juresan. Schwagerinen-Kalk.

Fig. 9. *Dielasma elongatum* Schloth. S. 454 (r. T., S. 30). Ventralschale. Timan, Fl. Belaja (42). Schwagerinen-Kalk (siehe Taf. II, Fig. 6, Taf. IX, Fig. 5—7).

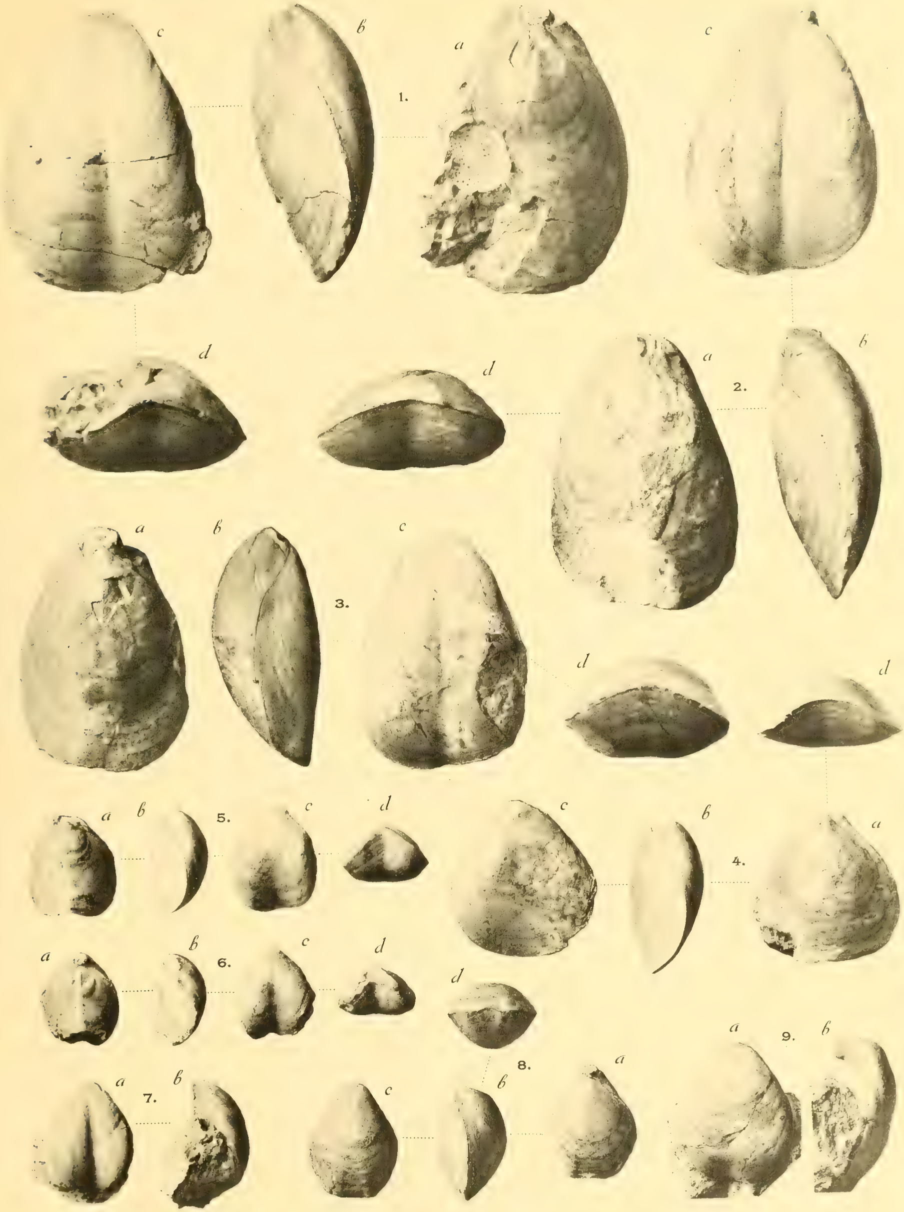

Фототипія В. Классонъ С. Петербургъ Кадетская лин. № 7-2

Таблица V.

Фиг. 1—5. *Spirifer cameratus* Morton. Стр. 138. Экземпляры различнаго возраста. Гора Улькунды на Симу. Швагериновый горизонтъ (см. также таб. VI, фиг. 8, таб. XI, фиг. 2—4, таб. XL, фиг. 5).

Фиг. 6—7. *Spirifer cameratus* Morton. Стр. 140. Лѣвая спиральная поддержка спинной створки въ двухъ различныхъ положеніяхъ. На фиг. 6 виденъ крючковидный отростокъ спирали. Казарменскій камень на Симу. Швагериновый горизонтъ.

Фиг. 8—9. *Spirifer cameratus* Morton. Стр. 140. Фиг. 8 — внутренность спинной створки съ сохранившимися спиральными поддержками; фиг. 9— продольный изломъ, обнаруживающій зубныя и замочныя пластины. Гора Улькунды на Симу. Швагериновый горизонтъ.

Tafel V.

Fig. 1—5. *Spirifer cameratus* Morton. S. 531 (r. T., S. 138). Exemplare von verschiedenem Alter. Berg Ulkundy am Sim. Schwagerinen-Kalk (siehe Taf. VI, Fig. 8, Taf. XI, Fig. 2—4, Taf. XL, Fig. 5).

Fig. 6—7. *Spirifer cameratus* Morton. S. 531 (r. T., S. 140). Linke spirale Armstütze der Dorsalschale in zwei verschiedenen Lagen. Auf der Fig. 6 sieht man den hakenartigen Fortsatze der Armstütze. Kasarmenskij Kamen am Sim. Schwagerinen-Kalk.

Fig. 8—9. *Spirifer cameratus* Morton. S. 531 (r. T., S. 140). Fig. 8— das Innere der Dorsalschale mit gut erhaltenen spiralförmigen Armstützen; Fig. 9—Längsbruch, der die Zahnplatten und Schlossplatten erkennen lässt. Berg Ulkundy am Sim. Schwagerinen-Kalk.

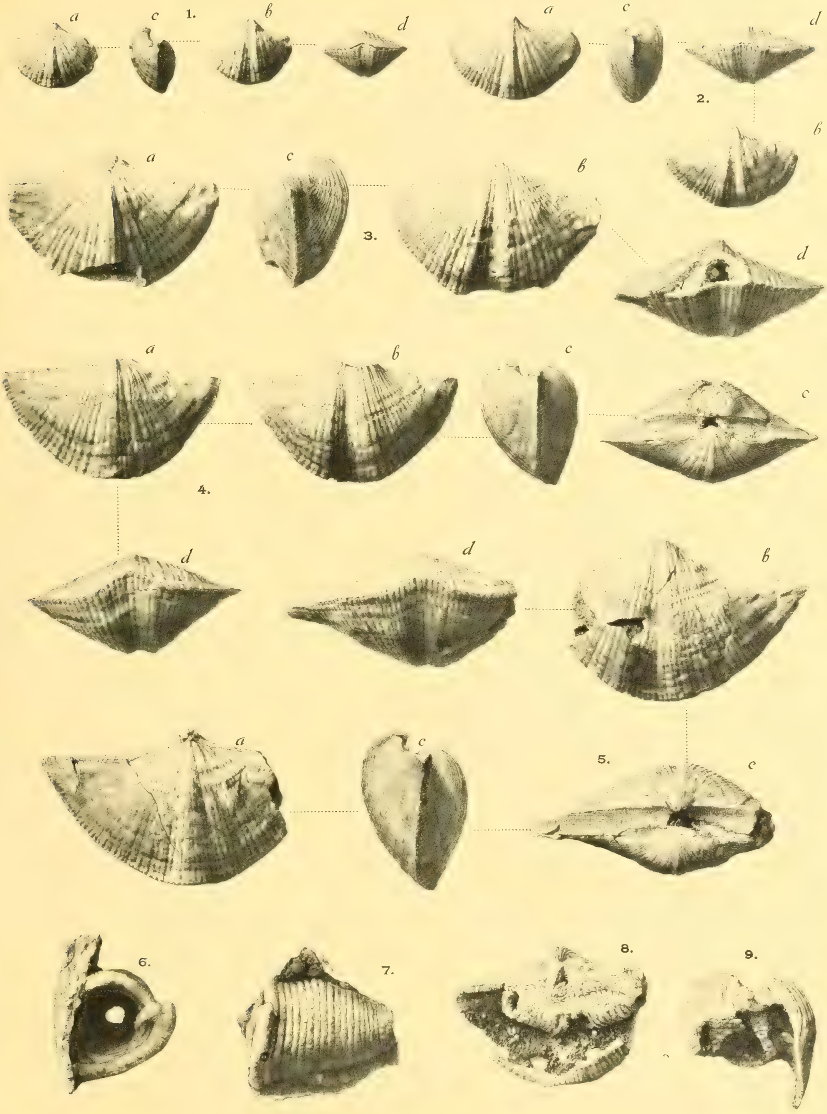

Фототипія В. Классенъ. С. Петербургъ. Кадетская лин. № 7 2
Печаталъ Н. Каминскій

Таблица VI.

Фиг. 1—4. *Spirifer interplicatus* Rothpl. *var. basckirica* n. var. Стр. 152. Село Тастуба. Швагериновый горизонтъ.

Фиг. 5. *Spiriferella Salteri* n.sp. Стр. 128. Р. Сарва. Артинскій ярусъ. (см. таб. XII, фиг. 5—6).

Фиг. 6. *Spirifer lyra* Kutorga. Стр. 150. Экземпляръ нѣсколько смятый, но сохранившій отчетливо скульптуру раковины. Станція Аша, Самаро-Златоустовской желѣзной дороги. Швагериновый горизонтъ (см. таб. VII, фиг. 7, таб. VIII, фиг. 4—5).

Фиг. 7. *Spirifer lyra* Kutorga. Стр. 150. Село Тастуба. Швагериновый горизонтъ.

Фиг. 8. *Spirifer cameratus* Morton. Стр. 138—141. Внутреннее ядро, обнаруживающее мускульныя впечатлѣнія, сильно развитыя зубныя пластины и широкій лопатчатый замочный отростокъ спинной створки. Р. Ирень, д. Шубина (см. таб. V, фиг. 1—9, таб. XI, фиг. 2—4, таб. XL, фиг. 5).

Фиг. 9. *Spirifer Marcoui* Waagen. Стр. 145. Р. Юрезань, въ 2-хъ верстахъ ниже Улу-Кыгыдыша. Омфалотроховый горизонтъ.

Фиг. 10. *Spiriferina (Mentzelia) simensis* Стр. 111. Гора Улу Тау на Симу. Швегериновый горизонтъ.

Tafel VI.

Fig. 1—4. *Spirifer interplicatus* Rothpl. *var. basckirica* n. var. S. 540 (r. T., S. 152). Kirchdorf Tastuba. Schwagerinen-Kalk.

Fig. 5. *Spiriferella Salteri* n. sp. S. 528 (r. T., S. 128). Fl. Sarwa. Artinsk-Schichten (siehe Taf. XII, Fig. 5—6).

Fig. 6. *Spirifer lyra* Kutorga. S. 538 (r. T., S. 150). Etwas zerdrücktes Exemplar, aber mit gut erhaltener Schalensculptur. Station Ascha der Eisenbahn Samara-Slatoust. Schwagerinen-Kalk (siehe Taf. VII, Fig. 7, Taf. VIII, Fig. 4—5).

Fig. 7. *Spirifer lyra* Kutorga. S. 538 (r. T., S. 150). Kirchdorf Tastuba. Schwagerinen-Horizont.

Fig. 8. *Spirifer cameratus* Morton. S. 531 (r. T., S. 138—141). Innerer Steinkern, der die Muskeleindrücke, die kräftig entwickelte Zahnplatte und den breiten Schlossfortsatz erkennen lässt. Dorf Schubina am Fl. Irenj (siehe Taf. V, Fig. 1—9, Taf. XI, Fig. 2—4, Taf. XL, Fig. 6).

Fig. 9. *Spirifer Marcoui* Waagen. S. 533 (r. T., S. 145). Fl. Juresan, 2 Werst unterhalb des Zuflusses Ulu Kygydysch. Omphalotrochus-Kalk.

Fig. 10. *Spiriferina (Mentzelia) simensis* n. sp. S. 514 (r. T., S. 111). Berg Ulu Tau am Sim. Schwagerinen-Kalk.

Ѳ. ЧЕРНЫШЕВЪ. Верхнекамен. брахіоподы Урала и Тимана. Таб. VI

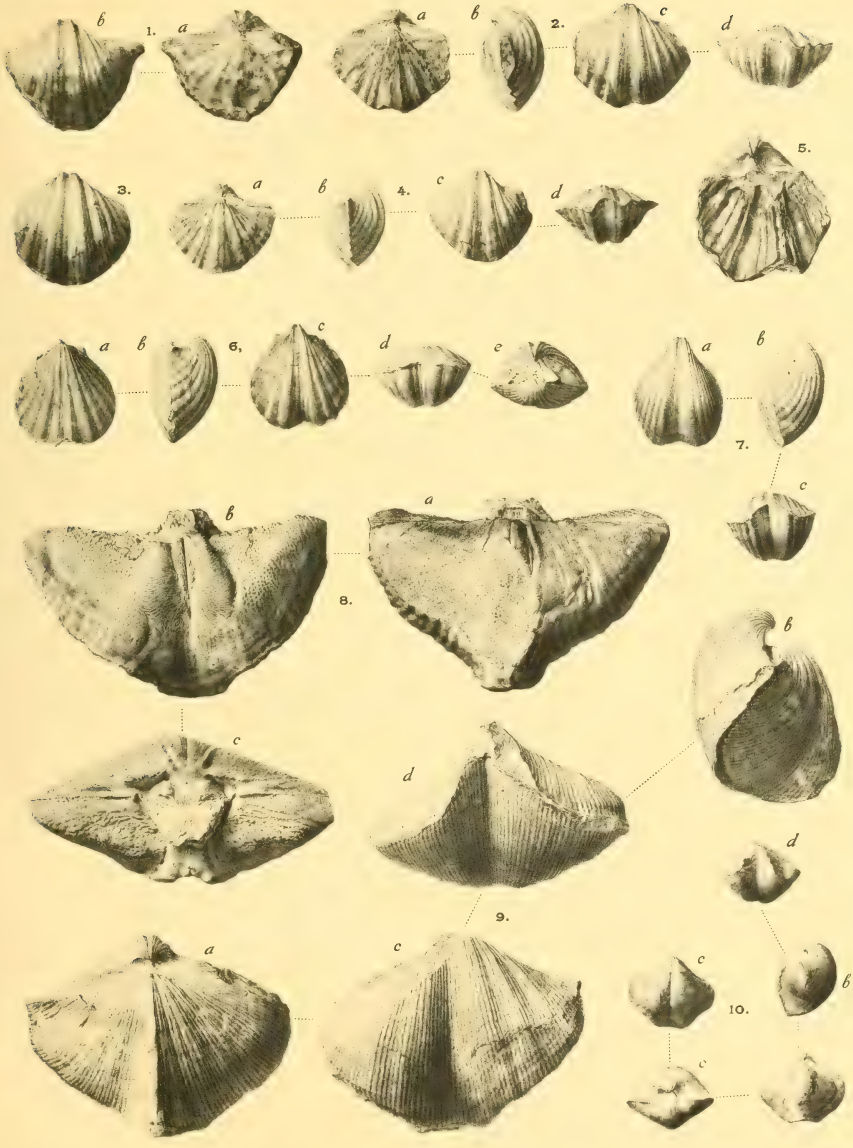

Труды Геолог. Комит. Т. XVI, №2

Типографія Д. Кладинъ С. Петербургъ, Кадетская лин. № 7-2.

Пресмн. Н. Каминскій.

Таблица VII.

Фиг. 1. *Spirifer panduriformis* Kutorga. Стр. 162. Оригиналъ В. И. Мелера. Село Тастуба. Швагериновый горизонтъ (см. таб. VIII, фиг. 2, таб. XIII, фиг. 3—4).

Фиг. 2—6. *Spirifer tibetanus* Dien. Стр. 151. Казарменскій камень на Симу. Швагериновый горизонтъ.

Фиг. 7. *Spirifer lyra* Kut. Стр. 150. Фиг. 7*a* — тотъ же экземпляръ, что и на фиг. 7*b*, но со снятой макушечной частью брюшной створки и съ обнаруженными внутри спиральными поддержками спинной створки. С. Тастуба. Швагериновый горизонтъ (см. таб. VI, фиг. 6, 7, таб. VIII, фиг. 4—5).

Tafel VII.

Fig. 1. *Spirifer panduriformis* Kut. S. 549 (r. T., S. 162). Moeller's Original. Kirchdorf Tastuba. Schwagerinen-Kalk (siehe Taf. VIII, Fig. 2, Taf. XIII, Fig. 3—4).

Fig. 2—6. *Spirifer tibetanus* Dien. S. 539 (r. T., S. 151). Kasarmenskij Kamen am Sim. Schwagerinen-Kalk.

Fig 7. *Spirifer lyra* Kutorga. S. 538 (r. T., S. 150). Fig. 7*a* dasselbe Exemplar wie auf der Fig. 7*b*, aber mit entfernter Wirbelpartie der Ventralschale und mit den gut sichtbaren Armstützen der Dorsalschale. Kirchdorf Tastuba. Schwagerinen-Kalk (siehe Taf. VI, Fig. 6, 7, Taf. VIII, Fig. 4—5).

a
c
2.
b
d
a
c
1.
d
b
d
c
3.
a
b
c
a
b
4.
d
c
d
c
6.
b
a
5.
b
a
d
a
7.
b

Таблица VIII.

Фиг. 1. *Spirifer rectangulus* Kutorga. Стр. 158. Оригиналъ Куторги. Тура Тау подлѣ Стерлитамака. Швагериновый горизонтъ (см. таб. XLI, фиг. 1—5).

Фиг. 2. *Spirifer panduriformis* Kut. Стр. 162. Оригиналъ Куторги. Тура Тау подлѣ Стерлитамака. Швагериновый известнякъ (см. таб. VII, фиг 1, таб. XIII, фиг. 3—4).

Фиг. 3. *Spirifer Sokolovi* n sp. Стр. 166. Казарменскій камень на Симу. Швагериновый горизонтъ (см. таб. XXXIX, фиг. 4).

Фиг. 4—5. *Spirifer lyra* Kut. Стр. 150. Оригиналы Куторги. Тура Тау подлѣ Стерлитамака. Швагериновый горизонтъ (см. таб. VI, фиг. 6, 7, таб. VII, фиг. 7).

Tafel VIII.

Fig. 1. *Spirifer rectangulus* Kutorga. S. 545 (r. T., S. 158). Kutorgas Original. Tura Tau bei Sterlitamak. Schwagerinen-Kalk (siehe Taf. XLI, Fig. 1—5.

Fig. 2. *Spirifer panduriformis* Kut. S. 549 (r. T., S. 162). Kutorgas Original. Tura Tau bei Sterlitamak. Schwagerinen-Kalk (siehe Taf. VII, Fig. 1, Taf. XIII, Fig. 3—4).

Fig. 3. *Spirifer Sokolovi* n. sp. S. 552 (r. T., S. 166). Kasarmenskij Kamen am Sim. Schwagerinen-Kalk (siehe Taf. XXXIX, Fig. 4).

Fig. 4—5. *Spirifer lyra* Kutorga. S. 538 (r. T., S. 150). Kutorgas Originale. Tura-Tau bei Sterlitamak. Schwagerinen-Kalk (siehe Taf. VI, Fig. 6, 7, Taf. VII, Fig. 7).

Фототипія В. Кнасенъ. С.Петербургъ, Кадетская лин. № 7-2
Пресмъ Н. Каминскій

Таблица IX.

Фиг. 1. *Spirifer tastubensis* n. sp. Стр. 146. С. Тастуба. Швагериновый известнякъ.

Фиг. 2. *Spirifer tastubensis* n. sp. Стр. 146. Казарменскій камень на Симу. Швагериновый известнякъ.

Фиг. 3. *Spirifer tastubensis* n. sp. Стр. 146. Спинная створка съ хорошо сохраненнымъ внѣшнимъ слоемъ раковины. С. Тастуба. Швагериновый известнякъ.

Фиг. 4—5. *Spirifer Schellwieni* n. sp. Стр. 149. С. Тастуба. Швагериновый известнякъ.

Фиг. 6. *Spirifer Dieneri* n. sp. Стр. 147. *a*—видъ съ замочнаго края; *b*—тотъ же экземпляръ со снятой брюшной створкой для показанія расположенія спиральныхъ поддержекъ. Казарменскій камень на Симу. Швагериновый горизонтъ.

Фиг. 7. *Spirifer Dieneri* n. sp Стр. 147. Экземпляръ съ обломанными боками, изображенный на фиг. *a* со спинной створки и на фиг. *b*—съ брюшной. Г. Улькунды на Симу. Швагериновый горизонтъ.

Фиг. 8. *Spirifer Dieneri* n. sp. Стр. 147. Спинная створка съ сохранившейся отчасти внѣшней поверхностью раковины. Казарменскій камень на Симу. Швагериновый горизонтъ.

Tafel IX.

Fig. 1. *Spirifer tastubensis* n. sp. S. 534 (r. T., S. 146). Kirchdorf Tastuba. Schwagerinen-Kalk.

Fig. 2. *Spirifer tastubensis* n. sp. S. 534 (r. T., S. 146). Kasarmenskij Kamen am Sim. Schwagerinen-Kalk.

Fig. 3. *Spirifer tastubensis* n. sp. S. 534 (r. T., S. 146). Dorsalschale mit gut erhaltener Sculptur. Kirchdorf Tastuba. Schwagerinen Kalk.

Fig. 4—5. *Spirifer Schellwieni* n. sp. S. 536 (r. T., S. 149). Kirchdorf Tastuba. Schwagerinen-Kalk.

Fig. 6. *Spirifer Dieneri* n. sp S. 535 (r. T., S. 147). *a* — Ansicht vom Schlossrande; *b*—dasselbe Exemplar mit entfernter Ventralschale, um die Lage der Armstützen zu zeigen. Kasarmenskij Kamen am Sim. Schwagerinen-Kalk.

Fig. 7. *Spirifer Dieneri* n. sp. S. 535 (r. T., S. 147). Exemplar mit abgebrochenen Seitenecken; *a* — Dorsalansicht, *b* — Ventralansicht. Berg Ulkundy am Sim. Schwagerinen-Kalk.

Fig. 8. *Spirifer Dieneri* n. sp. S. 535 (r. T., S. 147). Dorsalschale mit theilweise erhaltener Skulptur. Kasarmenskij Kamen am Sim. Schwagerinen-Kalk.

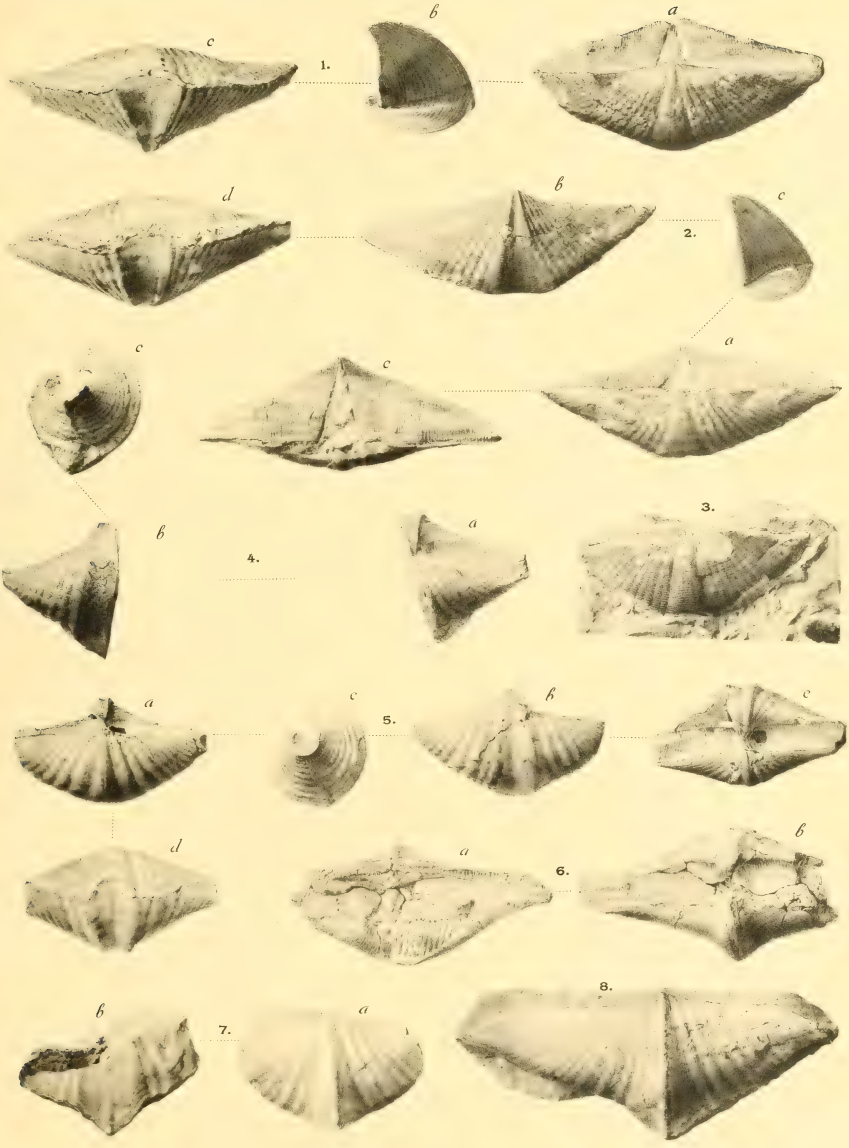

Фототипія В. Киселевъ С. Петербургъ Кадетская лин. № 7-2.
Пресвит. И. Каминскій

Таблица X.

Фиг. 1—2. *Spirifer Nikitini* n. sp. Стр. 154. С. Тастуба. Швагериновый известнякъ (см. таб. XIII, фиг. 2).

Фиг. 3. *Spirifer postventricosus* n. sp. Стр. 157. Печорская Пижма (95). Коровый горизонтъ.

Tafel X.

Fig. 1—2. *Spirifer Nikitini* n. sp. S. 542 (r. T., S. 154). Kirchdorf Tastuba. Schwagerinen-Kalk (siehe Taf. XIII, Fig. 2).

Fig. 3. *Spirifer postventricosus* n. sp. S. 544 (r. T., S. 157). Petschorskaja Pishma (95). Cora-Horizont.

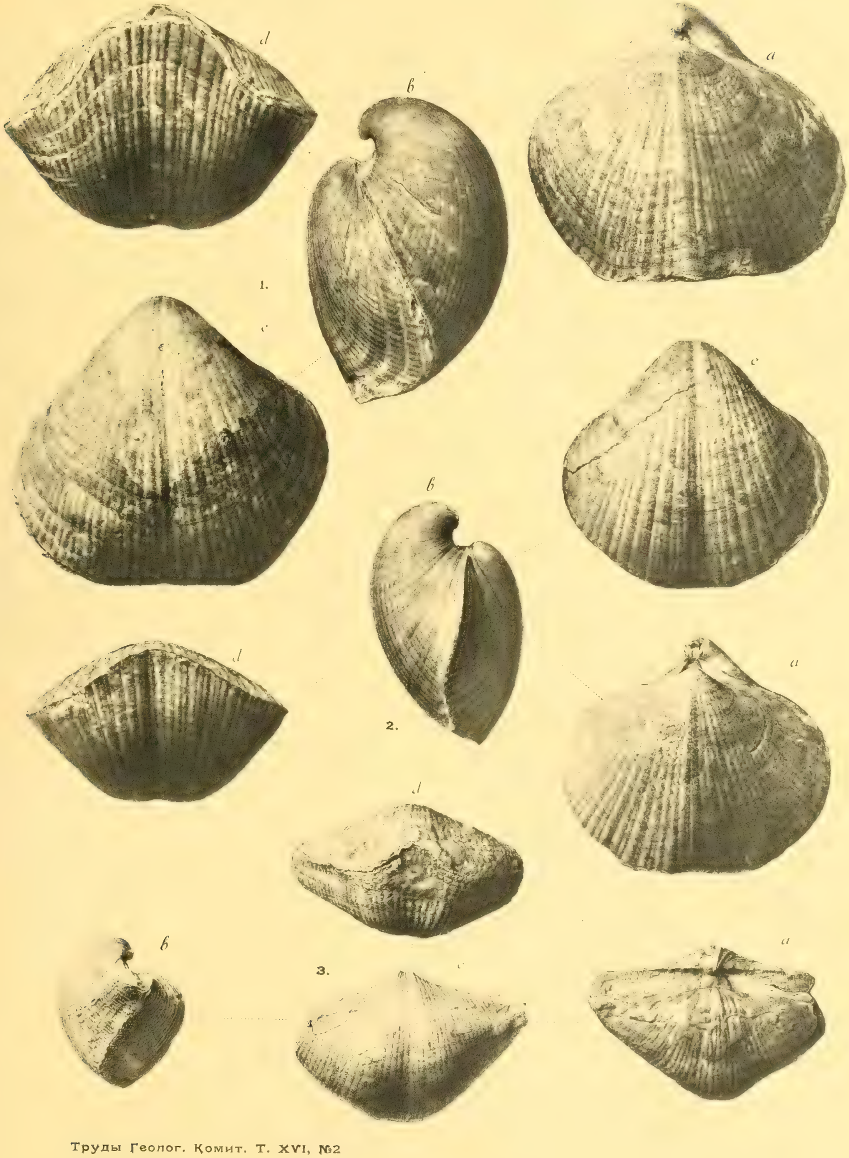

Фототипія В. Класенъ С. Петербургъ Кадетская лин. № 7-2

Таблица XI.

Фиг. 1. *Spiriferina laminosa* M'Coy *mut. sterlitamakensis* n. mut. Стр. 119. Тура Тау подлѣ Стерлитамака. Швагериновый известнякъ (см. таб. XIV, фиг. 1—3).

Фиг. 2. *Spirifer cameratus* Morton. Стр. 138. Ядро. Р. Уфа, ниже оврага Баргазы. Коровый горизонтъ (см. таб. V, фиг. 1 — 9, таб. VI, фиг. 8, таб. XL, фиг. 5).

Фиг. 3. *Spirifer cameratus* Morton. Стр. 138. Р. Ай, въ 4-хъ верстахъ, ниже устья Югуза. Коровый горизонтъ.

Фиг. 4. *Spirifer cameratus* Morton. Стр. 138. С. Тастуба. Швагериновый известнякъ.

Фиг. 5—7. *Dielasma elongatum* Schloth. Стр. 30. Рѣка Сылва, ниже Частыхъ. Швагериновый известнякъ (см. таб. II, фиг. 6, таб. IV, фиг. 9).

Tafel XI.

Fig. 1. *Spiriferina laminosa* M'Coy *mut. sterlitamakensis* n. mut. S. 520 (r. T., S. 119). Tura-Tau bei Sterlitamak. Schwagerinen-Kalk (siehe Taf. XIV, Fig. 1—3).

Fig. 2 *Spirifer cameratus* Morton. S. 531 (r. T., S. 138). Steinkern. Fl. Ufa, unterhalb der Schlucht Bargasy. Cora-Horizont (siehe Taf. V, Fig. 1—9, Taf. VI, Fig. 8, Taf. XL, Fig. 5).

Fig. 3. *Spirifer cameratus* Morton. S. 531 (r. T., S. 138). Fl. Ai, 4 Werst unterhalb der Jugus-Mündung. Cora-Horizont.

Fig. 4. *Spirifer cameratus* Morton. S. 531 (r. T., S. 138). Kirchdorf Tastuba. Schwagerinen-Kalk.

Fig. 5—7. *Dielasma elongatum* Schloth. S. 454 (r. T., S. 30). Fl. Sylva, unterhalb des Dorfes Tschastych. Schwagerinen-Kalk (siehe Taf. II, Fig. 6, Taf. IV, Fig. 9).

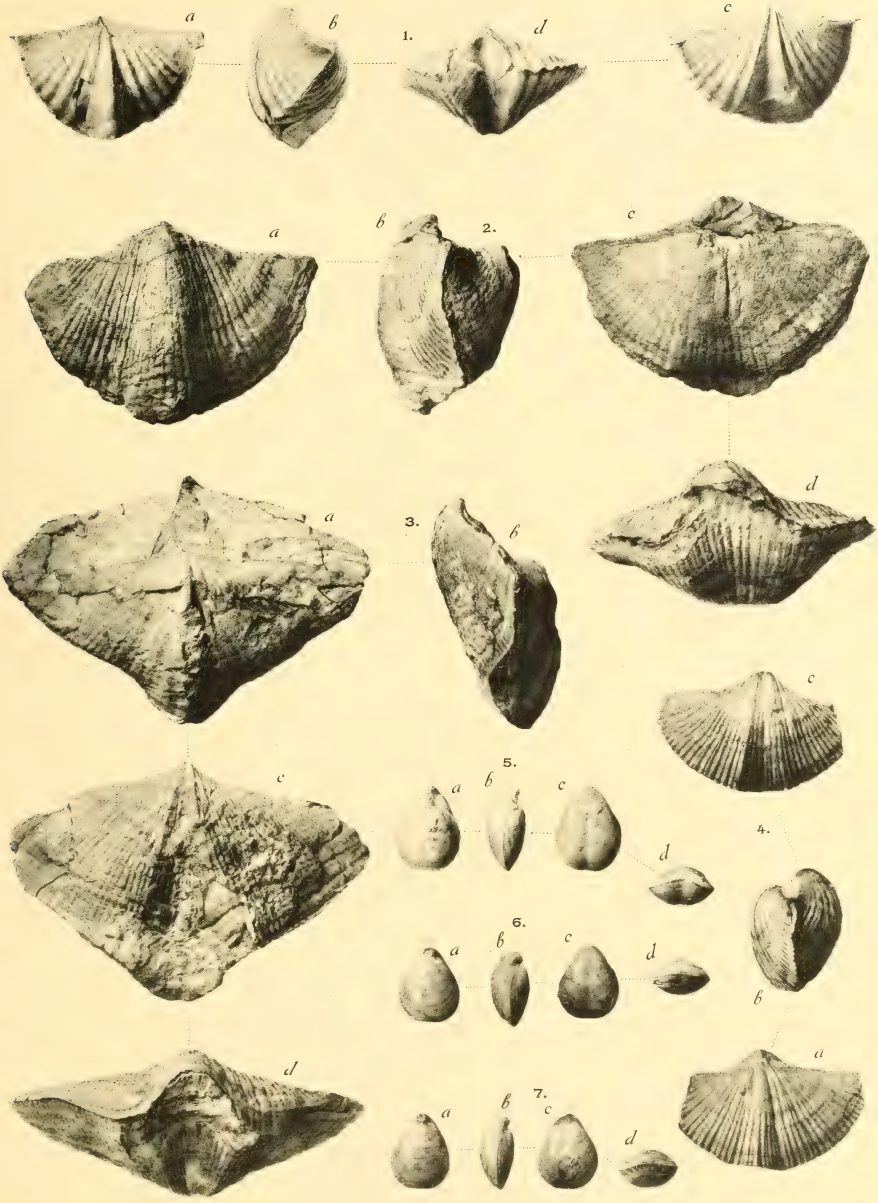

Фототипія В. Кивсонъ, С.Петербургъ, подотская лин. №7-2
Пресмн. Н. Каминскій.

Таблица XII.

Фиг. 1. *Spirifer condor* d'Orbigny. Стр. 141. Часть спинной створки съ сохранившейся мѣстами верхней поверхностью раковины. Р. Сула (49). Швагериновый известнякъ (см. таб. XXXVIII, фиг. 1, 2).

Фиг. 2. *Spirifer condor* d'Orbigny. Стр. 141. Спинная створка. На рисункѣ черепитчатые знаки нарастанія показаны слишкомъ слабо по сравненію съ оригиналомъ. Р. Бѣлая (43). Швагериновый горизонтъ.

Фиг. 3. *Spirifer Marcoui* Waagen. Стр. 145. Брюшная створка. Р. Сула. Омфалотроховый горизонтъ (см. таб. VI, фиг. 9).

Фиг. 4. *Spiriferella saranae*. Vern. Стр. 121. Брюшная створка; *c* — скульптура, сильно увеличенная. Р. Сула (49). Швагериновый горизонтъ (см. таб. XL, фиг. 7).

Фиг. 5 — 6. *Spiriferella Salteri* n. sp. Стр. 128. Брюшныя створки. Р. Индига (4). Швагериновый известнякъ.

Фиг. 7. *Spirifer quadriradiatus* Vern. Стр. 169. Шаки Тау подлѣ Стерлитамака. Швагериновый известнякъ (см. таб. L, фиг. 5—6).

Фиг. 8. *Spiriferina ornata* Waag. Стр. 113. Неполный экземпляръ. *a*—видъ со спинной створки; *b*—видъ боковой. Уфа, выше Переволоки. Швагериновый известнякъ (см. таб. XXXVII, фиг. 8—11).

Tafel XII.

Fig. 1. *Spirifer condor* d'Orbigny. S. 531 (r. T., S. 141). Theil einer Dorsalklappe mit stellenweise erhaltener äusserer Schicht der Schalensubstanz. Fl. Sula (49). Schwagerinen-Kalk.

Fig. 2. *Spirifer condor* d'Orbigny. S. 531 (r. T., S. 141). Dorsalklappe. Die Zeichnung giebt die dachziegelförmigen Zuwachslinien im Vergleiche mit dem Original zu schwach wieder. Fl. Belaja (43). Schwagerinen-Horizont.

Fig. 3. *Spirifer Marcoui* Waagen. S. 533 (r. T., S. 145). Ventralschale. Fl. Sula. Omphalotrochus-Schichten (siehe Taf. VI, Fig. 9).

Fig. 4. *Spiriferella saranae* Vern. S. 522 (r. T., S. 121). Ventralschale; *c* — Sculptur stark vergrössert. Fl. Sula (49). Schwagerinen-Kalk (siehe Taf. XL, Fig. 7).

Fig. 5 — 6. *Spiriferella Salteri* n. sp. S. 528 (r. T., S. 128). Ventralschale. Fl. Indiga (4). Schwagerinen-Kalk.

Fig. 7. *Spirifer quadriradiatus* Vern. S. 554 (r. T., S. 169). Schaki-Tau bei Sterlitamak. Schwagerinen-Kalk (siehe Taf. L, Fig. 5—6).

Fig. 8. *Spiriferina ornata* Waag. S. 515 (r. T., S. 113). Unvollständiges Exemplar, *a* — Dorsalansicht; *b* — Seitenansicht. Fl. Ufa, oberhalb der Perewoloka (Schleppweg). Schwagerinen-Kalk (siehe Taf. XXXVII, Fig. 8—11).

Фототипія В. Класенъ. С. Петербургъ Кадетская лин. № 7.
Печаталъ Н. Каменскій

Фиг. 9—10. *Spiriferina ornata* Waag. Стр. 113. Фиг. 9 *a*, *b* — брюшная створка съ прекрасно сохраненной скульптурой; фиг. 10 *a*, *b* — ядро брюшной створки, съ ясно выраженной щелью, соотвѣтствующей срединной перегородкѣ. Р. Уфа, въ $3^1/_2$ вер. ниже Чандара. Швагериновый горизонтъ.

Фиг. 12. *Spiriferina expansa* n. sp. Стр. 118. Ядро брюшной створки съ явственной щелью, соотвѣтствующей срединной перегородкѣ. У лобнаго края на частью сохранившейся раковинѣ отчетливая срединная складка въ синусѣ. Тиманъ. Р. Помозъ. Пермо-Карбонъ (см. таб. XIV, фиг. 6—7, таб. XL, фиг. 8).

Fig. 9—10. *Spiriferina ornata* Waag. S. 515 (r. T., S. 113). Fig. 9*a*, *b*—Ventralschale mit wohl erhaltener Sculptur; Fig. 10*a*, *b*—Steinkern mit klar sichtbarem Spalt, der der mittleren Scheidewand entspricht. Fl. Ufa, $3^1/_2$ Werst unterhalb des Dorfes Tschandar. Schwagerinen-Kalk

Fig. 12. *Spiriferina expansa* n. sp. S. 518 (r. T., S. 118). Steinkern der Ventralschale mit gut sichtbarem Spalt, der der mittleren Scheidewand entspricht. Am Stirnrande ist die Schale zum Theil erhalten und die schmale Medianfalte im Sinus erkennbar. Timan, Pomoz. Permo-Carbon (siehe Taf. XIV, Fig. 6 — 7, Taf. XL, Fig. 8).

Таблица XIII.

Фиг. 1. *Spirifer cnf. Fritschi* Schellw. Стр. 156. Брюшная створка. *b*— видъ areа; *c* — изломъ по зубной пластинѣ. Казарменскій Камень на Симу. Швагериновый известнякъ.

Фиг. 2. *Spirifer Nikitini* n. sp. Стр. 154. Казарменскій Камень на Симу. Швагериновый известнякъ (см. таб. XI, фиг. 1—2).

Фиг. 3. *Spirifer panduriformis* Kut. Стр. 162. Неполный экземпляръ. Казарменскій камень на Симу. Швагериновый известнякъ (см. таб. VII, фиг. 1, таб. VIII, фиг. 2).

Фиг. 4. *Spirifer panduriformis* Kut. Стр. 162. Оригиналъ В. И. Мелера (*Sp. integricosta*). Окрестности Стерлитамака. Швагериновый известнякъ.

Фиг. 5. *Spirifer ufensis* n. sp. Стр. 165. Оригиналъ В. И. Меллера (*Sp. integricosta*). С. Ярославка. Швагериновый известнякъ (см. таб. XV, фиг. 1, таб. XXXVIII, фиг. 6—8, таб. XXXIX, фиг. 1—3).

Tafel XIII.

Fig. 1. *Spirifer cnf. Fritschi* Schellw. S. 543 (r. T., S. 156). Ventralschale; *b*—Schlossansicht; *c*—Längsbruch nach der Zahnplatte. Kasarmenskij Kamen am Sim. Schwagerinen-Kalk.

Fig. 2. *Spirifer Nikitini* n. sp. S. 542 (r. T., S. 154). Kasarmenskij Kamen am Sim. Schwagerinen-Kalk (siehe Taf. XI, Fig. 1—2).

Fig. 3. *Spirifer panduriformis* Kut. S. 549 (r. T., S. 162). Kasarmenskij Kamen am Sim. Schwagerinen-Kalk (siehe Taf. VII, Fig. 1, Taf. VIII, Fig. 2).

Fig. 4. *Spirifer panduriformis* Kut. S. 549 (r. T., S. 162). Moellers Original (*Sp. integricosta*). Sterlitamak. Schwagerinen-Kalk.

Fig. 5. *Spirifer ufensis* n. sp. S. 551 (r. T., S. 165). Moellers Original (*Sp integricosta*). Kirchdorf Jaroslawka. Schwagerinen-Kalk (siehe Taf. XV, Fig. 1. Taf. XXXVIII, Fig. 6—8, Taf. XXXIX, Fig. 1—3).

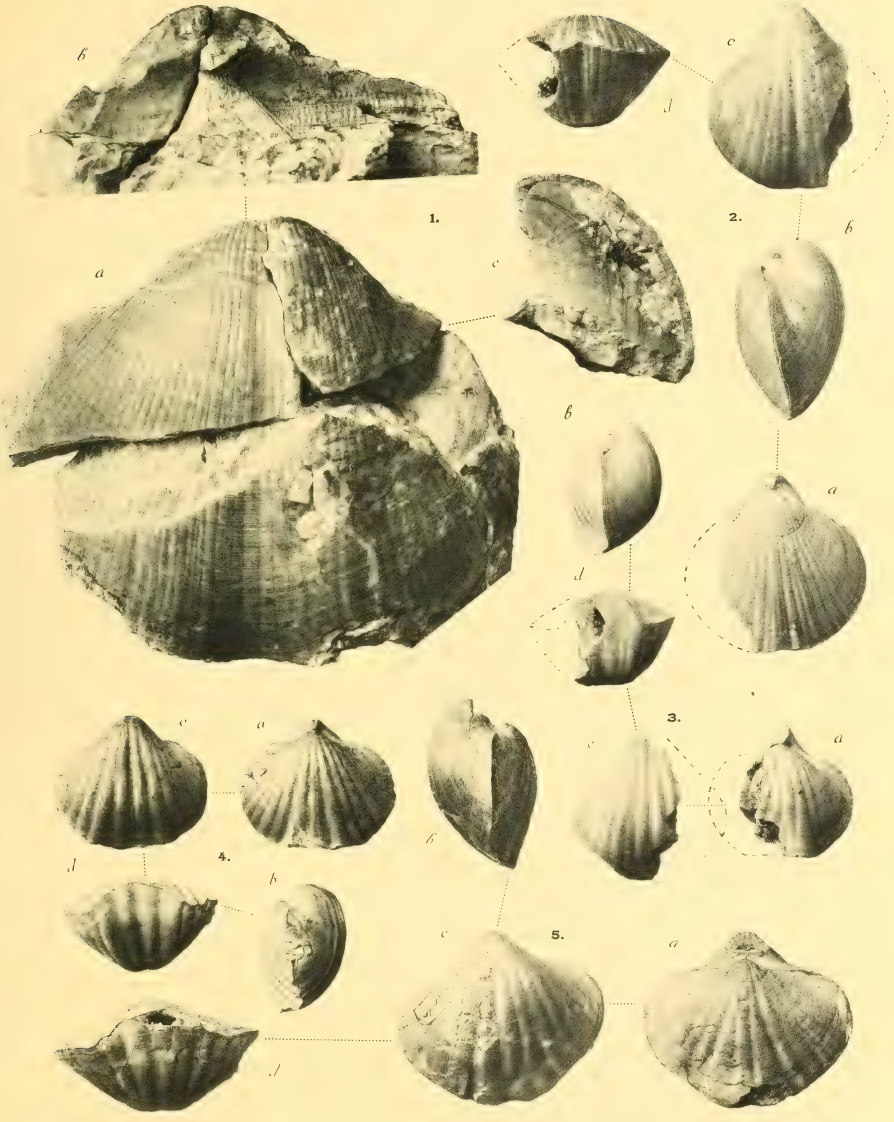

Фототипія В. Вловина. С.-Петербургъ, Кадетская лин. № 7-2
Печатано въ Камышинѣ

Таблица XIV.

Фиг. 1—2. *Spiriferina laminosa* M'Coy. *mut. sterlitamakensis* n. mut. Стр. 119. Фиг. 1 представляетъ въ увеличенномъ видѣ area брюшной створки, изображенной на фиг. 2. Гора Сикъ-Такты на Симу. Швагериновый горизонтъ (см. таб. XI, фиг. 1).

Фиг. 3. *Spiriferina laminosa* M'Coy *mut. sterlitamakensis* n. mut. Стр. 119. Оригиналъ В. И. Меллера (*Spiriferina subconica*). Стерлитамакъ. Швагериновый известнякъ.

Фиг. 4—5. *Spiriferina pyramidata* n. sp. Стр. 120. Д. Идильбаева (Базракова) на Юрезани. Швагериновый известнякъ.

Фиг. 6. *Spiriferina expansa* n. sp. Стр. 118. Слегка смятый и сильно растянутый въ поперечномъ направленіи экземпляръ. С. Тастуба. Швагериновый известнякъ (см. таб. XII, фиг. 11, таб. XL, фиг. 8).

Фиг. 7. *Spiriferina expansa* n. sp. Стр. 118. Ядро брюшной створки съ рѣзкой щелью, соотвѣтствующей срединной перегородкѣ. Аликаевъ камень на р. Саранѣ. Швагериновый известнякъ.

Фиг 8. *Spirifer Enderlei* n. sp. = *Sp. aculicostatus* mihi. Стр. 161 и 332. С. Тастуба. Швагериновый известнякъ.

Tafel XIV.

Fig. 1, 2. *Spiriferina laminosa* M'Coy *mut. sterlitamakensis* n. mut. S 520 (r. T., S. 119). Fig. 1—Area des auf Fig. 2 abgebildeten Exemplars, vergrössert. Berg Sik-Takty am Sim. Schwagerinen-Kalk (siehe Taf. XI, Fig. 1).

Fig. 3. *Spiriferina laminosa* M'Coy *mut. sterlitamakensis* n. mut, S. 520 (r. T., S. 119). Moellers Original (*Spiriferina subconica*). Sterlitamak. Schwagerinen Kalk.

Fig. 4—5. *Spiriferina pyramidata* n. sp. S. 521 (r. T., S. 120). Dorf Basrakowa an der Juresan. Schwagerinen-Kalk.

Fig. 6. *Spiriferina expansa* n. sp. S. 518 (r. T., S. 118). Etwas zerdrücktes und stark in der Querrichtung ausgezogenes Exemplar. Kirchdorf Tastuba. Schwagerinen-Kalk (siehe Taf. XII, Fig. 11, Taf. XL, Fig. 8).

Fig. 7. *Spiriferina expansa* n. sp. S. 518 (r. T., S. 118). Steinkern der Ventralschale mit gut sichtbarem Spalt, der der mittleren Scheidewand entspricht. Alikajew Kamen an der Sarana. Schwagerinen-Kalk.

Fig. 8. *Spirifer Enderlei* n. sp. = *Sp. aculicostatus* mihi. S. 548 (r. T., S. 161 und 332). Kirchdorf Tastuba. Schwagerinen-Kalk.

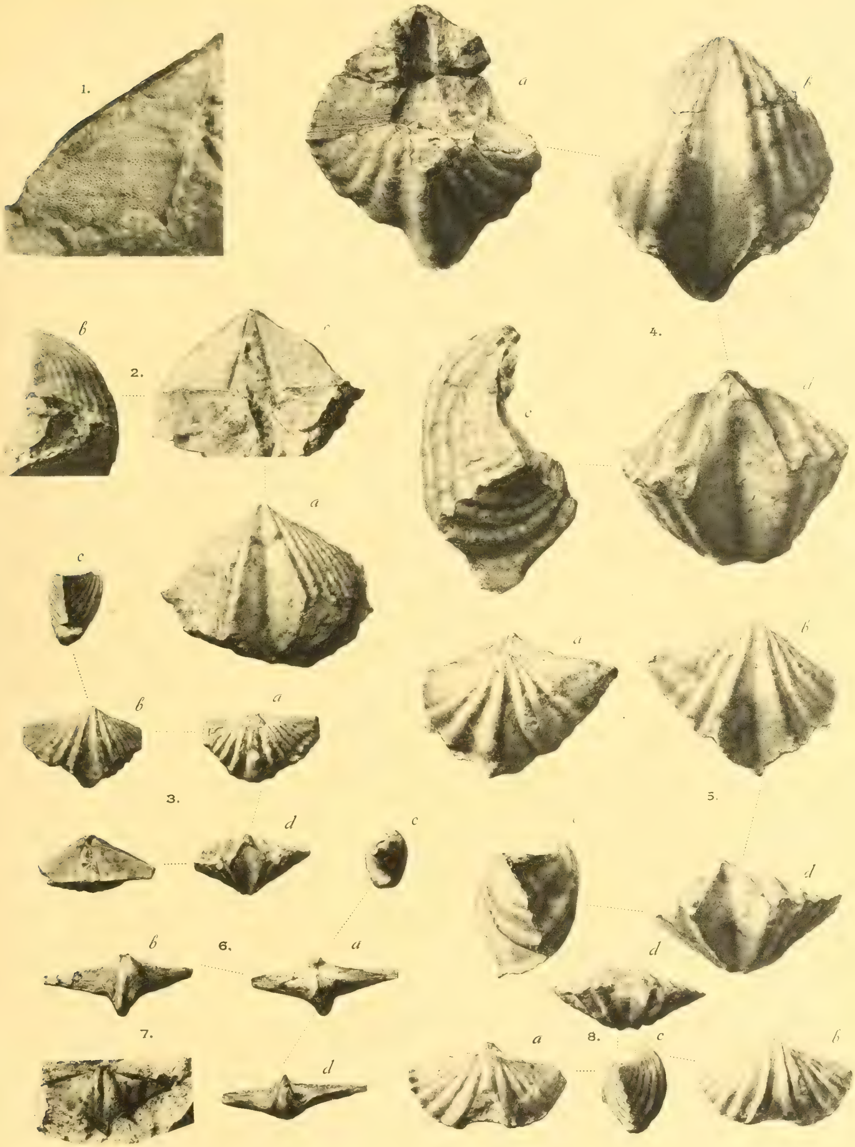

…в Класенъ С.Петербургъ, Кадетская … № 7-2
Просмы Н. Каминскій

Таблица XV.

Фиг. 1. *Spirifer ufensis* n. sp. Стр. 165. Брюшная створка съ внутренней стороны; сдвинутыя спирали спинной створки. Казарменскій Камень на Симу. Швагеринновый горизонтъ (см. таб. XIII, фиг. 5; таб. XXXVIII, фиг. 6—8; таб. XXXIX, фиг. 1—3).

Фиг. 2. *Spirifer supracarbonicus* n. sp. Стр. 168. Брюшная створка. Ст. Аша Самаро-Златоустовской жел. дороги. Швагериновый горизонтъ.

Фиг. 3. *Spirifer supracarbonicus* n. sp. Стр. 168. Макушка брюшной створки обломана. С. Тастуба. Швагериновый горизонтъ.

Фиг. 4 — 5. *Reticularia rostrata* Kut. Стр. 194. Фиг. 5 — оригиналъ Куторги. Стерлитамакъ. Швагериновый горизонтъ (см. таб. XX, фиг. 14—18).

Фиг. 6. *Martinia corculum* Kut. Стр. 180. Оригиналъ Куторги. Стерлитамакъ. Швагериновый горизонтъ (см. таб. XVII, фиг. 11).

Фиг. 7. *Martinia corculum* Kut. Стр. 180. Въ 3-хъ верстахъ ниже с. Базраковой по Юрезани. Швагериновый известнякъ.

Tafel XV.

Fig. 1. *Spirifer ufensis* n. sp. S. 551 (r. T., S. 165). Ventralklappe von der Innenseite, zusammengeschobene Spiralen der Dorsalklappe. Kasarmenskij Kamen am Sim. Schwagerinen-Hori-Horizont (siehe Taf. XIII, Fig. 5; Taf. XXXVIII, Fig. 6—8; Taf. XXXIX, Fig. 1—3).

Fig. 2. *Spirifer supracarbonicus* n. sp. S. 553 (r. T., S. 168). Ventralklappe. Station Ascha an der Eisenbahn Samara-Slatoust. Schwagerinen-Horizont.

Fig. 3. *Spirifer supracarbonicus* n. sp. S. 553 (r. T., S. 168). Der Wirbel der Ventralklappe ist abgebrochen. Dorf Tastuba. Schwagerinen-Horizont.

Fig. 4 — 5. *Reticularia rostrata* Kut. S. 575 (r. T., 194). Fig. 5. Das Original Kutorgas. Sterlitamak. Schwagerinen-Horizont (s. Taf. XX, Fig. 14—18).

Fig. 6. *Martinia corculum* Kut. S. 564 (r. T., S. 180). Das Original Kutorgas. Sterlitamak. Schwagerinen-Horizont (s. Taf. XVII, Fig. 11).

Fig. 7. *Martinia corculum* Kut. S. 564 (r. T., S. 180). 3 Werst unterhalb d. D. Basrakowa. Schwagerinen-Kalk.

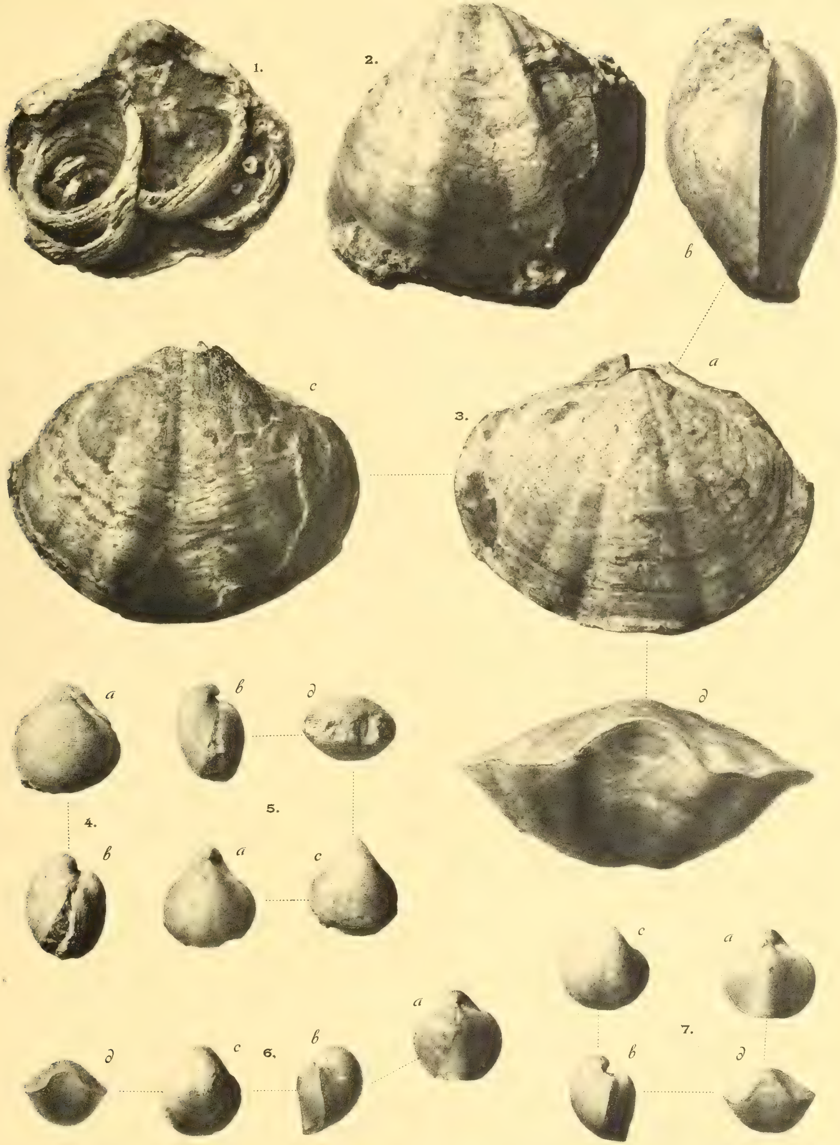

Фототипія В. Классенъ. С.Петербургъ Кадетская лин. д. 7-2.
Преемн. Н. Каминскій

Таблица XVI.

Фиг. 1 — 6. *Martinia triquetra* Gemm. Стр. 178. Фиг. 1, 2 — внутреннія ядра брюшной створки съ отчетливо видимыми мускульными и паліальными впечатлѣніями; фиг. 6 — брюшная створка со внутренней стороны и макушечная часть спинной створки со сдвинутой спиральной поддержкой. Гора Улу-Тау на Симу. Швагериновый известнякъ.

Tafel XVI.

Fig. 1 — 6. *Martinia triquetra* Gemm. S. 562 (r. T., S. 178). Fig. 1, 2 — innere Steinkerne der Ventralklappe mit deutlich sichtbaren Muskel- und Pallialeindrücken; Fig. 6 — Bauchschale von der Innenseite und Umbonalregion der Dorsalklappe mit zusammengeschobenen Spiralstützen. Berg Ulu-Tau am Sim. Schwagerinen-Kalk.

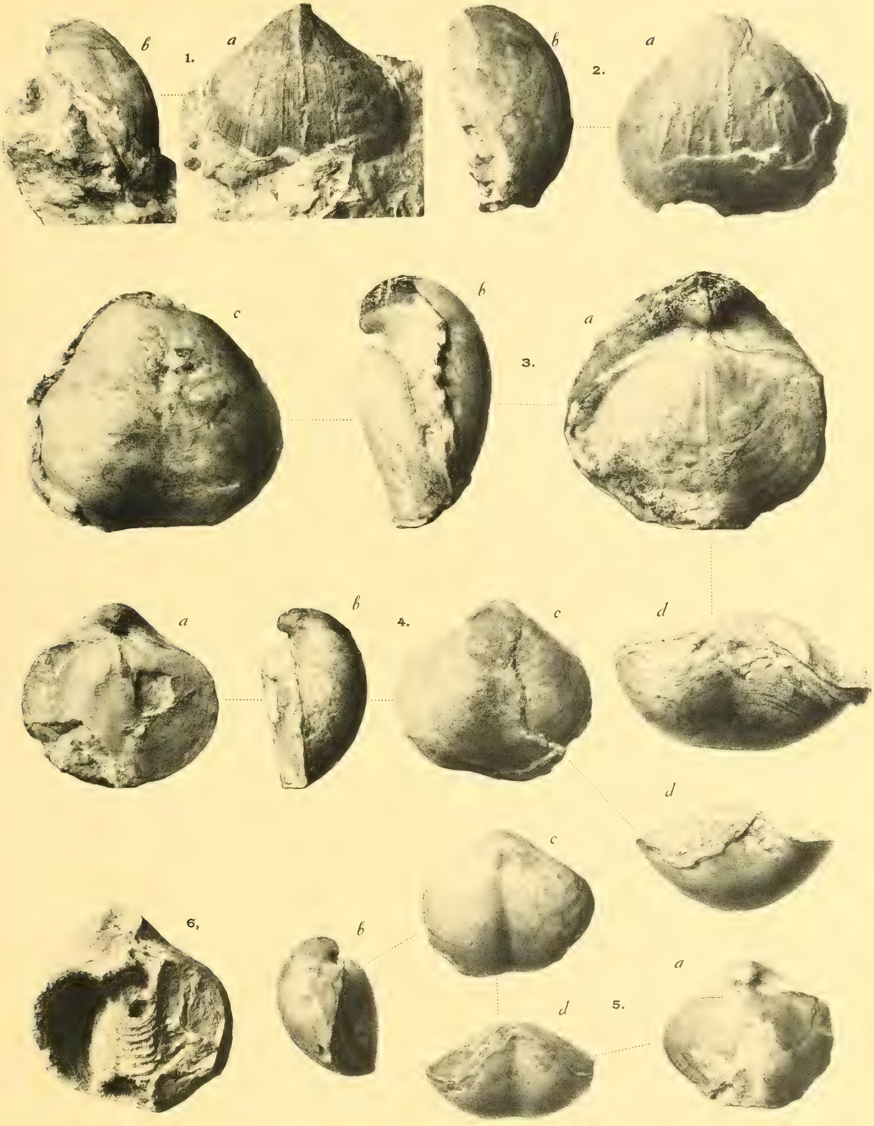

Фототипія В. Классонъ. С. Петербургъ Кадетская ... № 7-2
Печатн Н. Каминскій.

Таблица XVII.

Фиг. 1. *Martinia orbicularis* Gemm. Стр. 185. С. Ярославка (Тастуба). Швагериновый горизонтъ (см. таб. XX, фиг. 8).

Фиг. 2—3. *Martinia orbicularis* Gemm. Стр. 185. Фиг. 2—брюшная створка снята и обнаружены спиральныя поддержки. Сикъ-Такты подлѣ ст. Аши Самаро-Златоустовской жел. дороги. Швагериновый горизонтъ.

Фиг. 4. *Martinia timanica* n. sp. Стр. 179. Брюшная створка. Печорская Пижма (91). Коровый горизонтъ.

Фиг. 5. *Martinia timanica* n. sp. Стр. 179. Внутреннее ядро брюшной створки съ отчетливо видимыми мускульными и паліальными впечатлѣніями. Р. Волонга (24). Средній каменноугольный отдѣлъ.

Фиг. 6—8. *Martinia semiglobosa* n. sp. Стр. 181. Фиг. 6—ядро брюшной створки со слѣдами мышечныхъ и паліальныхъ впечатлѣній. С. Тастуба. Швагериновый известнякъ.

Фиг. 9. *Martinia semiglobosa* n. sp. Стр. 181. Около ст. Аши Самаро-Златоустовской жел. дороги. Швагериновый горизонтъ.

Фиг. 10. *Martinia semiglobosa* n. sp. Стр. 181. Село Тастуба. Швагериновый горизонтъ.

Tafel XVII.

Fig. 1. *Martinia orbicularis* Gemm. S 567 (r. T., S. 185). Kirchdorf Jaroslawka (Tastuba). Schwagerinen-Kalk (siehe Taf. XX, Fig. 8).

Fig. 2—3. *Martinia orbicularis* Gemm. S. 567 (r. T., S. 185). Fig. 2—die Ventralschale ist abgebrochen, um die Spiralstützen herauszupräpariren. Berg Sik-Takty am Sim. Schwagerinen-Kalk.

Fig. 4. *Martinia timanica* n. sp. S. 563 (r. T., S. 179). Ventralschale. Petschorskaja Pishma (91). Cora-Horizont.

Fig. 5. *Martinia timanica* n. sp. S. 563 (r. T., S. 179). Der innere Steinkern mit gut sichtbaren Muskelfeldern und Pallialeindrücken. Fl. Wolonga (24). Mittel-Carbon.

Fig. 6—8. *Martinia semiglobosa* n. sp. S. 564 (r. T., S. 181). Fig. 6—Steinkern der Ventralschale, auf welchem die Muskel- und Pallial-Eindrücke sichtbar sind. Kirchdorf Tastuba. Schwagerinen-Kalk.

Fig. 9. *Martinia semiglobosa* n. sp. S. 564 (r. T., S. 181). Bei der Station Ascha der Eisenbahn Samara-Slatoust. Schwagerinen-Kalk.

Fig. 10. *Martinia semiglobosa* n. sp. S. 564 (r. T., S. 181). Kirchdorf Tastuba. Schwagerinen-Kalk.

1.
2.
3.
4.
5.
6.
7.
8.
9.
10.
11.
12.
13.
14.

Фиг. 11. *Martinia coreulum* Kut. Стр. 180. Частью поврежденныя спиральныя поддержки. Казарменскій Камень на Симу. Швагериновый горизонтъ (см. таб. XV, фиг. 6—7).

Фиг. 12—13. *Martinia semiglobosa* n. sp. Стр. 181. Два ядра брюшной створки съ отчетливыми мускульными и паліальными впечатлѣніями. Р. Уфа, въ $3^1/_2$ верстахъ ниже Чандара. Швагериновый известнякъ.

Фиг. 14. *Martinia orbicularis* Gemm. Стр. 185. Фиг. 14 *a* представляетъ повтореніе фиг. 2, но съ болѣе вскрытой брюшной створкой. Фиг. 14 *b*— видъ спирали, обращенной вершиною къ наблюдателю; рисунокъ сдѣланъ по экземпляру, изображенному въ другомъ положеніи на таб. XX, фиг. 8. Сикъ-Такты подлѣ ст. Аши Самаро-Златоустовской жел. дороги. Швагериновый известнякъ.

Fig. 11. *Martinia coreulum* Kut. S. 564 (r. T., S. 180). Theilweise zerbrochene Spiralansätze. Kasarmenskij Kamen am Sim. Schwagerinen-Kalk (siehe Taf. XV, Fig. 6—7).

Fig. 12—13. *Martinia semiglobosa* n. sp. S. 564 (r. T., S. 181). Zwei Steinkerne der Ventralschale mit sichtbaren Muskel- und Pallial-Eindrükken. Fl. Ufa, $3^1/_2$ Werst unterhalb das Dorfes Tschandar. Schwagerinen-Kalk.

Fig. 14. *Martinia orbicularis* Gemm. S. 567 (r. T., S. 185). Fig. 14*a*— Wiederholung der Fig. 2, aber mit weiter geöffneter Ventralschale; Fig. 14*b* — Ansicht der Spirale mit dem Beschauer zugewandtem Scheitel. Die Abbildung ist nach dem in anderer Stellung auf Taf. XX, Fig. 8 dargestellten Exemplar angefertigt. Sik-Takty bei der Station Ascha der Bahn Samara-Slatoust. Schwagerinen-Kalk.

Таблица XVIII.

Фиг. 1—4. *Martinia uralica* n. sp. Стр. 183. Фиг. 4 — экземпляръ со снятой раковиной у макушки брюшной створки, обнаруживающій мускульныя и частью паліальныя впечатлѣнія. Гора Улу-Тау на Симу. Швагериновый известнякъ.

Фиг. 5. *Martinia uralica var. longa* n. sp. n. var. Стр. 185. Гора Улу-Тау на Симу. Швагериновый известнякъ (см. таб. XL, фиг. 9).

Фиг. 6. *Martiniopsis uralica* n. sp. Стр. 170. Боковой видъ, на которомъ виденъ характеръ спиральныхъ поддержекъ спинной створки и зубныхъ пластинъ брюшной створки. Гора Юракъ-Тау подлѣ Стерлитамака. Швагериновый известнякъ (см. таб. XX, фиг. 7).

Фиг. 7—8. *Martiniopsis uralica* n. sp. Стр. 170. Фиг. 7—на изломѣ макушечной части брюшной створки видны зубныя пластины; фиг. 8 — часть спинной створки снята и обнаружены широкія замочныя пластины и отходящія отъ нихъ crura. C. Тастуба. Швагериновый известнякъ.

Фиг. 9—10. *Martiniopsis uralica* n. sp. Стр. 170. Казарменскій Камень на Симу. Швагериновый известнякъ.

Tafel XVIII.

Fig. 1—4. *Martinia uralica* n. sp. S. 566 (r. T., S. 183). Fig. 4—Exemplar mit von der Schalensubstanz entblösster Wirbelpartie, die die Muskel- und theilweise auch die Pallialeindrücke erkennen lässt. Berg Ulu-Tau am Sim. Schwagerinen-Kalk.

Fig. 5. *Martinia uralica* var. *longa* n. sp. n. var. S. 567 (r. T., S. 185). Berg Ulu-Tau am Sim. Schwagerinen-Kalk (siehe Taf. XL, Fig. 9).

Fig. 6. *Martiniopsis uralica* n. sp. S. 555 (r. T., S. 170). Seitenansicht, die den Charakter der Spiralstützen der Dorsalklappe und der Zahnplatten der Ventralklappe zeigt. Berg Jurak-Tau bei Sterlitamak. Schwagerinen-Kalk (s. Taf. XX, Fig. 7).

Fig. 7 — 8. *Martiniopsis uralica* n. sp. S. 555 (r. T., S. 170). Fig. 7—Bruch der Wirbelpartie der Ventralklappe mit den Zahnplatten; Fig. 8—ein Theil der Dorsalklappe ist abgelöst und zeigt die breiten Schlossplatten und die von ihnen ausgehenden Crura. D. Tastuba. Schwagerinen-Kalk.

Fig. 9—10. *Martiniopsis uralica* n. sp. S. 555 (r. T., S. 170). Kasarmenskij Kamen am Sim. Schwagerinen-Kalk.

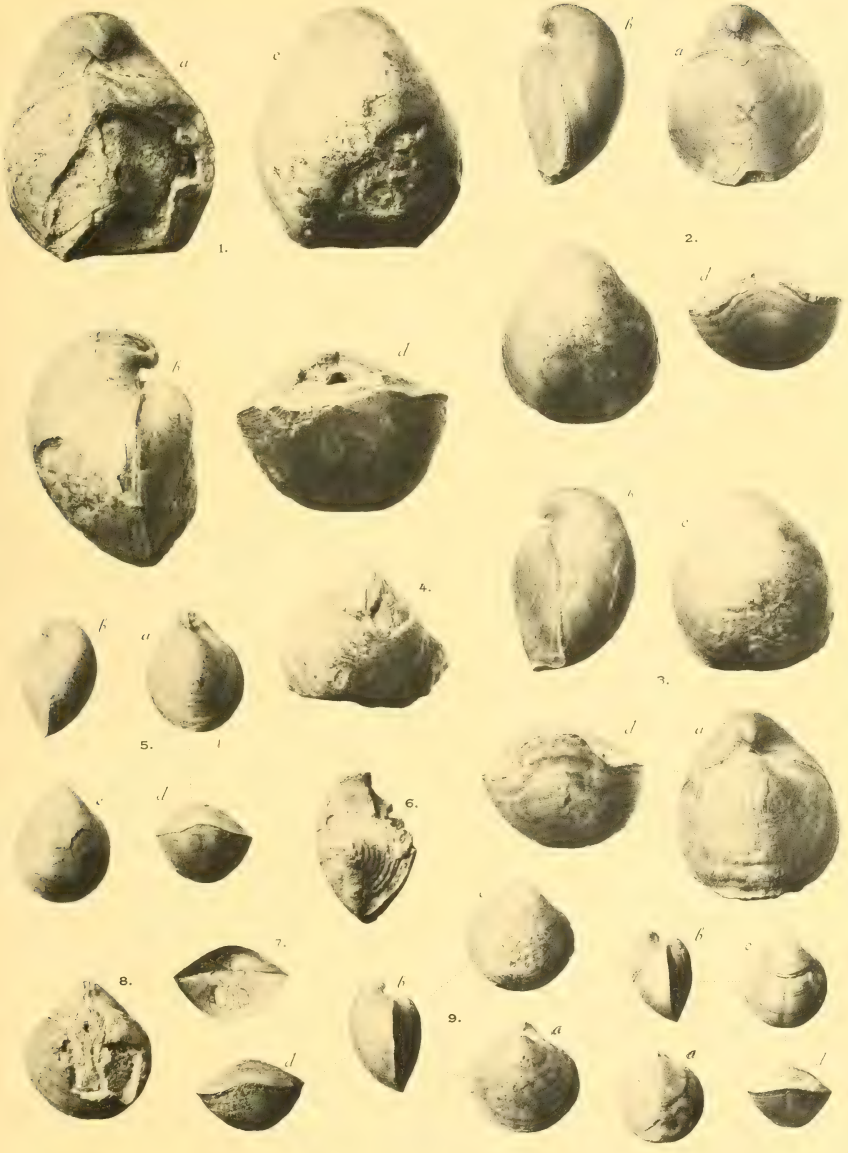
1.
2.
3.
4.
5.
6.
7.
8.
9.

Таблица XIX.

Фиг. 1. *Martiniopsis convexa* n. sp. Стр. 173. Рѣка Уфа, въ 1 верстѣ ниже Гаревки. Швагериновый известнякъ.

Фиг. 2. *Martiniopsis* sp. ind. Стр. 175. Брюшная створка. Около станціи Аши Самаро-Златоустовской желѣзной дороги. Швагериновый известнякъ.

Фиг. 3 — 4. *Martiniopsis convexa* n. sp. Стр. 173. Брюшныя створки. С. Тастуба. Швагериновый горизонтъ.

Фиг. 5. *Martiniopsis Lutugini* n. sp. Стр. 174. Брюшная створка. Казарменскій Камень на Симу. Швагериновый горизонтъ (см. таб. XLIX, фиг. 5).

Фиг. 6. *Martiniopsis convexa* n. sp. Стр. 173. Боковой видъ брюшной створки. Макушка сломана по зубной пластинѣ. С. Тастуба. Швагериновый известнякъ.

Фиг. 7—8. *Martiniopsis orientalis* n. sp. Стр. 172. Фиг. 7—брюшная створка; фиг. 8—видъ съ замочнаго края. Казарменскій Камень на Симу. Швагериновый известнякъ.

Фиг. 9. *Martiniopsis orientalis* n. sp. Стр. 172. Боковой видъ; макушка брюшной створки сломана по зубной пластинѣ. Г. Улькунды на Симу. Швагериновый горизонтъ.

Фиг. 10—11. *Martiniopsis orientalis* n. sp. Стр. 172. Казарменскій Камень на Симу. Швагериновый известнякъ.

Фиг. 12. *Martiniopsis orientalis* n. sp. Стр. 172. Гора Шаки-Тау подлѣ Стерлитамака. Швагериновый известнякъ.

Tafel XIX.

Fig. 1. *Martiniopsis convexa* n. sp. S. 559 (r. T., S. 173). Fl. Ufa, 1 Werst unterhalb der Mündung der Garewka. Schwagerinen-Kalk.

Fig. 2. *Martiniopsis* sp. ind. S. 561 (r. T., S. 175). Ventralschale. Bei der Station Ascha der Eisenbahn Samara-Slatoust. Schwagerinen-Kalk.

Fig. 3—4. *Martiniopsis convexa* n. sp. S. 559 (r. T., S. 173). Ventralschale. Kirchdorf Tastuba. Schwagerinen-Kalk.

Fig. 5. *Martiniopsis Lutugini* n. sp. S. 560 (r. T., S. 174). Ventralschale. Kasarmenskij Kamen am Sim. Schwagerinen-Kalk (s. Taf. XLIX, Fig. 5).

Fig. 6. *Martiniopsis convexa* n. sp. S. 559 (r. T., S. 173). Seitenansicht der Ventralschale. Der Wirbel ist längs der Zahnplatte abgebrochen. Kirchdorf Tastuba. Schwagerinen-Kalk

Fig. 7—8. *Martiniopsis orientalis* n. sp. S. 556 (r. T., S. 172). Fig. 7—Ventralschale; Fig. 8 — Schlossansicht. Kasarmenskij Kamen am Sim. Schwagerinen-Kalk.

Fig. 9. *Martiniopsis orientalis* n. sp. S. 556 (r. T., S. 172). Seitenansicht: der Wirbel der Ventralschale ist längs der Zahnplatte abgebrochen. Berg Ulkundy am Sim. Schwagerinen-Kalk.

Fig. 10—11. *Martiniopsis orientalis* n. sp. S. 556 (r. T., S. 172). Kasarmenskij Kamen am Sim. Schwagerinen-Kalk.

Fig. 12. *Martiniopsis orientalis* n. sp. S. 556 (r. T., S. 172). Berg Schaki-Tau bei Sterlitamak. Schwagerinen-Kalk.

Фототипія В. Класенъ, С. Петербургъ. Кадетская лин. N° 7-2.
Преемн. Н. Каминскій

Таблица XX.

Фиг. 1. *Ambocoelia planoconvexa*. Shum. Стр. 196. Гора Улу-Тау на Симу. Швагериновый известнякъ (см. таб. XLIX, фиг. 7).

Фиг. 2—4. *Martinia parvula* n. sp. Стр. 186. Гора Улу-Тау на Симу. Швагериновый известнякъ.

Фиг. 5—6. *Martinia incerta* n. sp. Стр. 187. Гора Улу-Тау на Симу. Швагериновый известнякъ.

Фиг. 7. *Martiniopsis uralica* n. sp. Стр. 170. С. Тастуба. Швагериновый известнякъ (см. таб. XVIII, фиг. 7—8).

Фиг. 8. *Martinia orbicularis* n. sp. Стр. 185. Спиральныя поддержки спинной створки. Тотъ же препаратъ съ боку изображенъ на таб. XVII, фиг. 14 *b*. Подлѣ ст. Аши на Симу. Швагериновый известнякъ (см. таб. XVII, фиг. 1—3, 14).

Фиг. 9—13. *Reticularia lineata* Mart. Стр. 193. Фиг. 9 представляетъ экземпляръ со снятой спинной створкой и съ ручными поддержками въ ихъ естественномъ положеніи. Казарменскій Камень на Симу. Швагериновый горизонтъ.

Фиг. 14. *Reticularia rostrata* Kut Стр. 194. Брюшная створка съ хорошо сохраненной скульптурой. С. Тастуба. Швагериновый горизонтъ (см. таб. XV, фиг. 4—5).

Фиг. 15—16. *Reticularia rostrata* Kut. Стр. 194. Гора Улу-Тау на Симу. Швагериновый известнякъ.

Фиг. 17. *Reticularia rostrata* Kut. Стр. 194. С. Тастуба. Швагериновый горизонтъ.

Фиг. 18. *Reticularia rostrata* Kut. Стр. 104. Гора Сикъ-Такты на Симу. Швагериновый горизонтъ.

Tafel XX.

Fig. 1. *Ambocoelia planoconvexa* Shum. S. 575 (r. T., S. 196). Berg Ulu-Tau am Sim. Schwagerinen-Kalk (siehe Taf. XLIX, Fig. 7).

Fig. 2—4. *Martinia parvula* n. sp. S. 567 (r. T., S. 186). Berg Ulu-Tau am Sim. Schwagerinen-Kalk.

Fig. 5—6. *Martinia incerta* n. sp. S. 569 (r. T., S. 187). Berg Ulu-Tau am Sim. Schwagerinen-Kalk.

Fig. 7. *Martiniopsis uralica* n. sp. S. 555 (r. T., S. 170). Kirchdorf Tastuba. Schwagerinen-Kalk (siehe Taf. XVIII, Fig. 6—10).

Fig. 8. *Martinia orbicularis* Gemm. S. 567 (r. T., S. 185). Spiralansätze der Dorsalschale. Dasselbe Præparat ist von der Seite auf Taf. XVII, Fig. 14*b* abgebildet. Bei der Station Ascha der Eisenb. Samara-Slatoust. Schwagerinen-Kalk (s. Taf. XVII, Fig. 1—3, 14).

Fig. 9—13. *Reticularia lineata* Mart. S. 574 (r. T., S. 193). Fig. 9—Exemplar mit abgelöster Dorsalklappe und Armstützen in natürlicher Stellung. Kasarmenskij Kamen am Sim. Schwagerinen-Horizont.

Fig. 14. *Reticularia rostrata* Kut. S. 575 (r. T., S. 194). Ventralschale mit wolherhaltener Sculptur. Kirchdorf Tastuba. Schwagerinen-Kalk (siehe Taf. XV, Fig. 4—5).

Fig. 15—16. *Reticularia rostrata* Kut S. 575 (r. T., S. 194). Berg Ulu-Tau am Sim. Schwagerinen-Kalk.

Fig. 17. *Reticularia rostrata* Kut. S. 575 (r. T., S. 194). Kirchdorf Tastuba. Schwagerinen-Kalk.

Fig. 18. *Reticularia rostrata* Kut. S. 575 (r. T., S. 194). Berg Sik-Takty am Sim. Schwagerinen-Kalk.

Фототипія В. Класенъ С. Петербургъ Кадетская лин. № 7-2
Правл. В. Каминскій

Таблица XXI.

Фиг. 1. *Camarophoria plicata* Kutorga. Стр. 92. Оригиналъ Куторги. Стерлитамакъ. Швагериновый известнякъ (см. таб. L, фиг. 17—18).

Фиг. 2—4. *Terebratuloidea triplicata* Kut. Стр. 61. Фиг. 2—экземпляръ, у котораго съ макушки брюшной створки снята раковина; полученное ядро макушки изображено въ увеличенномъ видѣ на рис. 17, стр. 62; фиг. 4—оригиналъ Куторги. Тура Тау подлѣ Стерлитамака. Швагериновый известнякъ.

Фиг. 5. *Rhynchonella Krotovi* n. sp. Стр. 60. Р. Ай, въ 1½ вер. ниже дер. Абдулиной. Швагериновый известнякъ.

Фиг. 6—9. *Martinia applanata* n. sp. Стр. 191. Фиг. 9 — скульптура, сильно увеличенная. Р. Юрезань, въ 3-хъ верстахъ ниже д. Базраковой. Швагериновый известнякъ.

Фиг. 10—12. *Rhynchonella granulum* Eichw. Стр. 58. С. Тастуба. Швагериновый известнякъ.

Фиг. 13. *Pugnax granum* n. sp. Стр. 70. Казарменскій Камень на Симу. Швагериновый известнякъ.

Фиг. 14. *Pugnax granum* n. sp. Стр. 70. Юрезань, въ 3-хъ верстахъ ниже Базраковой. Швагериновый известнякъ.

Фиг. 15. *Pugnax granum* n. sp. Стр. 70. Казарменскій Камень на Симу. Швагериновый известнякъ.

Фиг. 16—17. *Rhynchopora variabilis* Stuck. Стр. 74. Фиг. 16*e*, 17*e* въ натуральную величину, остальныя увеличены. Р. Юрезань, въ 2-хъ верстахъ ниже д. Шаматовой. Омфалотроховый горизонтъ.

Фиг. 18. *Pugnax Keyserlingi* Moell. Стр. 70. Оригиналъ Меллера. Фиг. *e* — въ натуральную величину, остальныя увеличены. Стерлитамакъ. Швагериновый горизонтъ (см. таб. XLIV, фиг. 9—10).

Tafel XXI.

Fig. 1. *Camarophoria plicata* Kut. S. 502 (r. T., S. 92). Das Original Kutorgas. Sterlitamak. Schwagerinen-Kalk (s. Taf. L, Fig. 17—18).

Fig. 2—4. *Terebratuloidea triplicata* Kut. S. 478 (r. T., S. 61). Fig. 2. Exemplar mit an der Wirbelpartie der Ventralklappe abgelöster Schale. Der so gewonnene Steinkern ist in Fig. 17, S. 479 abgebildet. Fig. 4. Das Original Kutorgas. Tura-Tau bei Sterlitamak. Schwagerinen-Kalk.

Fig. 5. *Rhynchonella Krotovi* n. sp. S. 477 (r. T., S. 60). Fl. Ai, 1½ Werst unterhalb d. D. Abdulina. Schwagerinen-Kalk.

Fig. 6—9. *Martinia applanata* n. sp. S. 572 (r. T., S. 191). Fig. 9. Die Sculptur in starker Vergrösserung. Fl. Juresan, 3 Werst unterhalb d. D. Basrakowa. Schwagerinen-Kalk.

Fig. 10—12. *Rhynchonella granulum* Eichw. S. 476 (r. T., S. 58). Dorf Tastuba. Schwagerinen-Kalk.

Fig. 13. *Pugnax granum* n. sp. S. 485 (r. T., S. 70). Kasarmenskij Kamen am Sim. Schwagerinen-Kalk.

Fig. 14. *Pugnax granum* n. sp. S. 485 (r. T., S. 70). Fl. Juresan, 3 Werst unterhalb d. D. Basrakowa. Schwagerinen-Kalk.

Fig. 15. *Pugnax granum* n. sp. S. 485 (r. T., S. 70). Kasarmenskij Kamen am Sim. Schwagerinen-Kalk.

Fig. 16—17. *Rhynchopora variabilis* Stuck. S. 488 (r. T., S. 74). Fig. 16*e* und 17*e* in nat. Grösse, die übrigen vergrössert. Fl. Juresan, 2 Werst unterhalb d. D. Schamratowa. Omphalotrochus-Horizont.

Fig. 18. *Pugnax Keyserlingi* Moell. S. 485 (r. T., S. 70). Das Original Moellers. Fig. *e* in natürlicher Grösse, die übrigen vergrössert. Sterlitamak. Schwagerinen-Horizont (s. Taf. XLIV, Fig. 9—10).

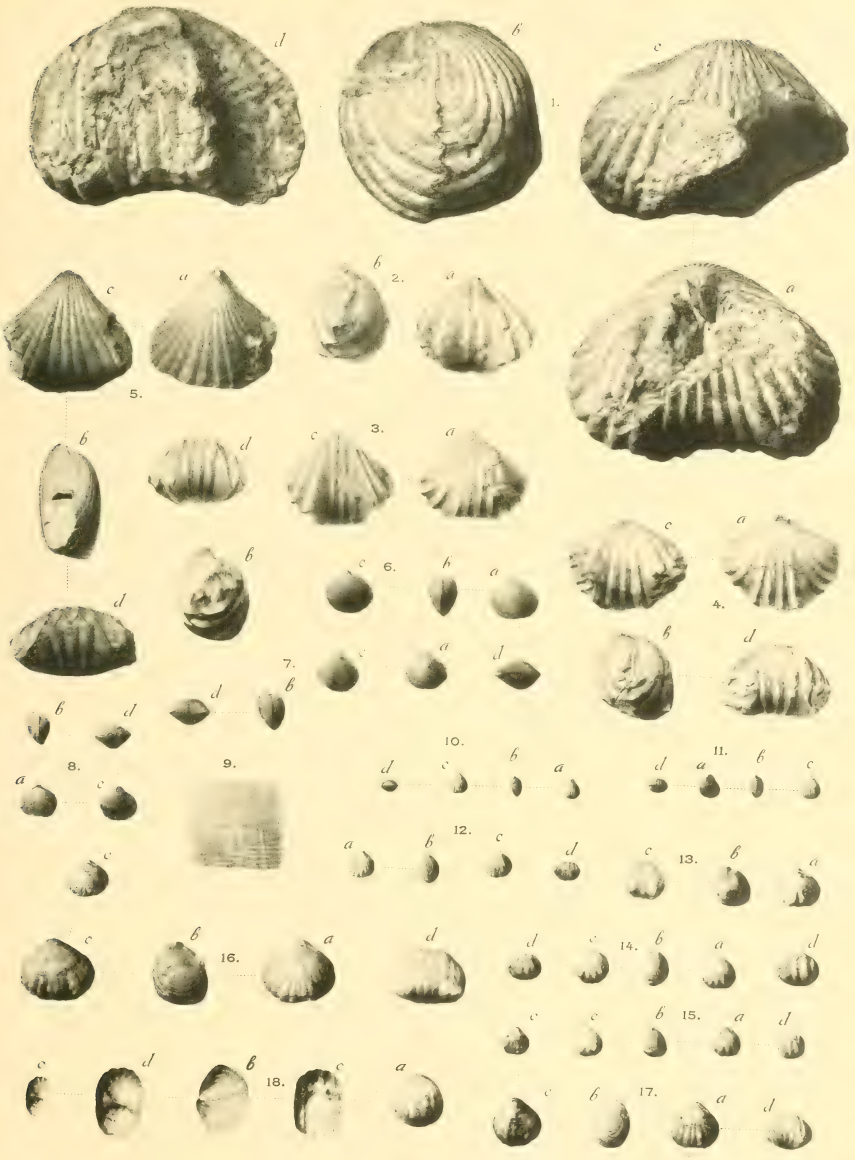
1.
2.
3.
4.
5.
6.
7.
8.
9.
10.
11.
12.
13.
14.
15.
16.
17.
18.

Таблица XXII.

Фиг. 1. *Camarophoria pentameroides* n. sp. Стр. 100. Фиг. *e*—изломъ, обнаруживающій septum и spondylium брюшной створки. Близъ ст. Аши, Самаро-Златоустовской желѣзной дороги. Швагериновый известнякъ (см. таб. XXIII, фиг. 1—3).

Фиг. 2. *Camarophoria crumena* Mart. Стр. 78. Брюшная створка съ сохранившимся у лобнаго края шлейфомъ. Р. Ай, въ 4-хъ верстахъ ниже устья Югуза. Коровый горизонтъ.

Фиг. 3. *Camarophoria crumena* Mart. Стр. 78. Брюшная створка съ сохранившимся у лобнаго края шлейфомъ. Р. Ай около дер. Усть-Айской. Коровый горизонтъ.

Фиг. 4—6. *Camarophoria crumena* Mart. Стр. 78. Фиг. 4—5 — экземпляры съ сохранившимся шлейфомъ на лобномъ и частью на боковыхъ краяхъ; фиг. 6—молодой экземпляръ. Р. Уфа, въ двухъ верстахъ выше дер. Янбаевой. Швагериновый горизонтъ.

Фиг. 7. *Camarophoria crumena* Mart. Стр. 78. Молодой экземпляръ. Р. Уфа, выше Переволоки. Швагериновый известнякъ.

Фиг. 8, 9. *Camarophoria crumena* Mart. Стр. 78. Два экземпляра различнаго возраста. Фиг. 9—экземпляръ, съ частью сохранившимся шлейфомъ у бокового края. Р. Уфа, въ 2-хъ верстахъ выше дер. Янбаевой. Швагериновый известнякъ.

Tafel XXII.

Fig. 1. *Camarophoria pentameroides* n. sp. S. 510 (r. T., S. 100). Fig. *e*—Bruch, der das Septum und Spondylium der Ventralklappe zeigt. In der Nähe der Station Ascha der Bahn Samara-Slatoust. Schwagerinen-Kalk (s. Taf. XXIII, Fig. 1—3).

Fig. 2. *Camarophoria crumena* Mart. S. 489 (r. T., S. 78). Ventralklappe mit am Stirnrande erhaltenem Jabot. Fl. Ai, 4 Werst unterhalb der Jugus-Mündung. Cora-Horizont.

Fig. 3. *Camarophoria crumena* Mart. S. 489 (r. T., S. 78). Ventralklappe mit am Stirnrande erhaltenem Jabot. Fl. Ai beim Dorfe Ust-Aiskaja. Cora-Horizont.

Fig. 4—6. *Camarophoria crumena* Mart. S. 489 (r. T, S. 78). Fig. 4—5 Exemplar mit am Stirnrande und zum Theil an den Seitenrändern erhaltenem Jabot. Fig. 6. Jugendliches Exemplar. Fl. Ufa, 2 Werst oberhalb d. D. Janbajewa. Schwagerinen-Horizont.

Fig. 7. *Camarophoria crumena* Mart. S. 489 (r. T., S. 78). Jugendliches Exemplar. Fl. Ufa, oberhalb des Schleppweges. Schwagerinen-Kalk.

Fig. 8—9. *Camarophoria crumena* Mart. S. 489 (r. T., S. 78). Zwei Exemplare verschiedenen Alters, Fig. 9 mit einem Theil des erhaltenen Jabots am Seitenrande. Fl. Ufa, 2 Werst oberhalb d. D. Janbajewa. Schwagerinen-Kalk.

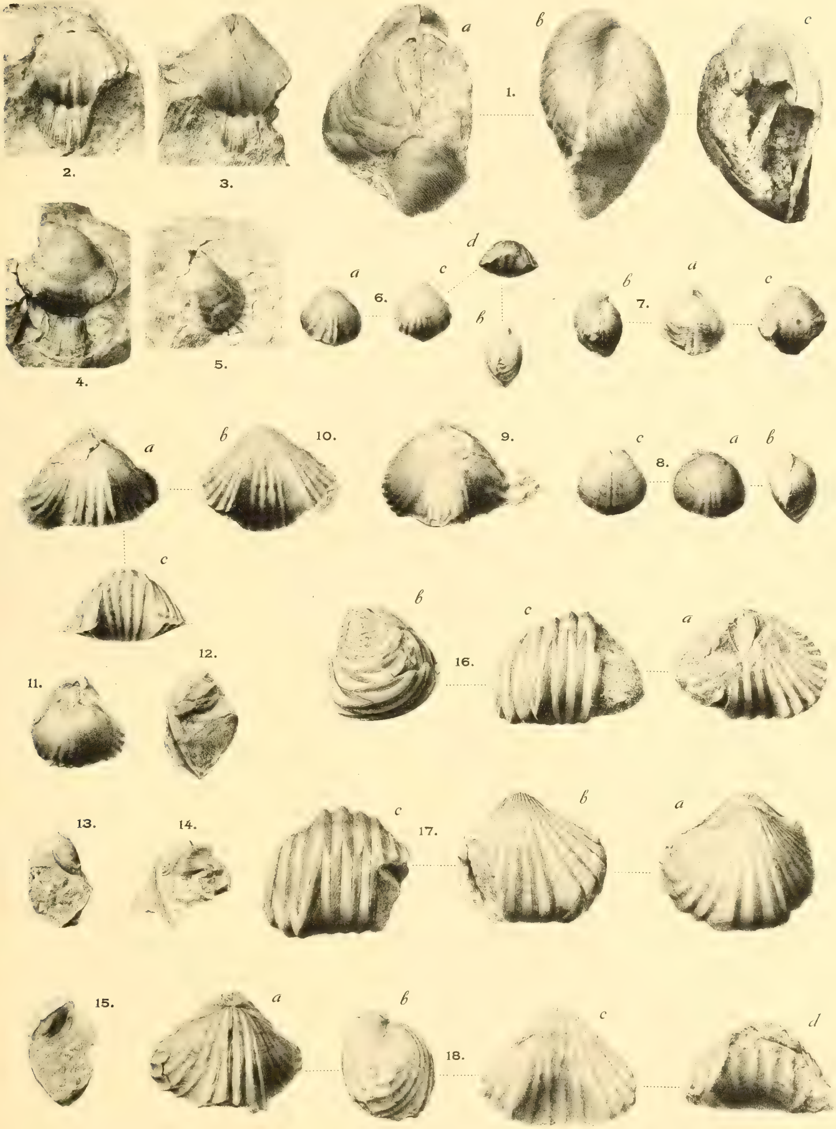

Фототипія В. Класенъ, С. Петербургъ, Кадетская лин. №7-2.
Преемн. Н. Каминскій

Фиг. 10. *Camarophoria crumena* Mart. Стр. 78. Взрослый экземпляръ, съ сохранившимися частями жабо на боковыхъ краяхъ. Р. Уфа, выше Переволоки. Швагериновый горизонтъ.

Фиг. 11—15. *Camarophoria crumena* Mart. Стр. 78. Фиг. 12—15 продольные изломы, обнаруживающіе septa и spondylia обѣихъ створокъ. На рис. 13 недостаточно отчетливо изображены crura спинной створки, идущія почти параллельно внутреннему краю спондиліума спинной створки. Р. Уфа, въ 2-хъ верстахъ выше дер. Янбаевой. Швагериновый горизонтъ.

Фиг. 16. *Camarophoria Kutorgae* n. sp. Стр. 90. Часть брюшной створки снята и обнаружены septum и spondylium. Р. Юрезань, въ 1 вер. выше хутора Трапезникова. Коровый горизонтъ.

Фиг. 17. *Camarophoria Kutorgae* n. sp. Стр. 90. Р. Ай, въ $1^1/_2$ верст. ниже дер. Абдулиной. Швагериновый известнякъ.

Фиг. 18. *Camarophoria mutabilis* n. sp. Стр. 81. Гора Липовая на Симу. Швагериновый известнякъ. (см. таб. XXIII, фиг. 10, таб. XLV, фиг. 1—15 и таб. XLVI, фиг. 14).

Fig. 10. *Camarophoria crumena* Mart. S. 489 (r. T., S. 78). Ausgewachsenes Exemplar mit theilweise erhaltenem Jabot an den Seitenrändern. Fl. Ufa, oberhalb des Schleppweges. Schwagerinen-Horizont.

Fig. 11—15. *Camarophoria crumena* Mart. S 489 (r. T., S. 78). Fig. 12—15. Längsbrüche, die die Septa und Spondylia beider Klappen zeigen. In Fig. 13 sind die Crura der Dorsalklappe nicht deutlich genug wiedergegeben, die fast parallel dem inneren Rande des Spondyliums der Dorsalklappe verlaufen. Fl. Ufa, 2 Werst oberhalb d. D. Janbajewa. Schwagerinen-Horizont.

Fig. 16. *Camarophoria Kutorgae* n. sp. S. 500 (r. T., S. 90). Ein Theil der Ventralklappe ist abgelöst und das Septum und Spondylium freigelegt. Fl. Juresan. 1 Werst oberhalb des Hofes Trapeznikows. Cora-Horizont.

Fig. 17. *Camarophoria Kutorgae* n. sp. S. 500 (r. T., S. 90). Fl. Ai, $1^1/_2$ Werst unterhalb d. D. Abdulina. Schwagerinen-Kalk.

Fig. 18. *Camarophoria mutabilis* n. sp. S. 491 (r. T., S. 81). Berg Lipowaja am Sim. Schwagerinen-Kalk (s. Taf. XXIII, Fig. 10, Taf. XLV, Fig. 1—15 und Taf. XLVI, Fig. 14).

Таблица XXIII.

Фиг. 1—3. *Camarophoria pentameroides* n. sp. Стр. 100. Фиг. 3—продольный изломъ, обнаруживающій septa и spondylia обѣихъ створокъ, а также отчасти crura. Казарменскій Камень на Симу. Швагериновый горизонтъ (см. таб. XXII, фиг. 1).

Фиг. 4. *Camarophoria sella* Kut. Стр. 99. Оригиналъ Куторги. Гора Юракъ Тау подлѣ Стерлитамака. Швагериновый горизонтъ.

Фиг. 5—9. *Pugnax osagensis* Shum. Стр. 64. Фиг. 5—экземпляръ, у котораго снята брюшная створка и обнаружены замочныя пластины спинной створки. Фиг. 6 — экземпляръ, у котораго снята раковина съ макушечной части брюшной створки и обнаружены зубныя пластины. Р. Юрезань, въ 3-хъ верст. ниже д. Базраковой. Швагериновый горизонтъ.

Фиг. 10. *Camarophoria mutabilis* n. sp. Стр. 81. Продольный изломъ, обнаруживающій septum и spondylium брюшной створки. С. Тастуба. Швагериновый горизонтъ (см. таб. XXII, фиг. 18, таб. XLV, фиг. 1—15 и таб. XLVI, фиг. 14).

Фиг. 11. *Pugnax Swallowi* Shum. Стр. 67. Сикъ-такты на Симу. Швагериновый горизонтъ.

Tafel XXIII.

Fig. 1—3. *Camarophoria pentameroides* n. sp. S. 510 (r. T., S. 100). Fig. 3—Längsbruch der die Septa und Spondylia beider Schalen zeigt, sowie theilweise die Crura. Kasarmenskij Kamen am Sim. Schwagerinen-Horizont (s. Taf. XXII, Fig. 1).

Fig. 4. *Camarophoria sella* Kut. S. 508 (r. T., S. 99). Das Original Kutorgas. Berg Jurak Tau bei Sterlitamak. Schwagerinen-Horizont.

Fig. 5—9. *Pugnax osagensis* Shum. S. 482 (r. T., S. 64). Fig. 5—Exemplar, an dem nach Entfernung der Bauchklappe die Schlossplatten der Dorsalschale sichtbar sind. Fig. 6—Exemplar, an dem nach Entfernung der Schalensubstanz von der Wirbelpartie der Ventralklappe die Zahnplatten zu beobachten sind. Fl. Juresan, 3 West unterhalb des D. Basrakowa. Schwagerinen-Horizont.

Fig. 9—10. *Camarophoria mutabilis* n. sp. S. 491 (r. T., S. 81). Längsbruch, der das Septum und Spondylium der Bauchschale sehen lässt. D. Tastuba. Schwagerinen-Horizont (s. Taf. XXII, Fig. 18; Taf. XLV, Fig. 1—15, Taf. XLVI, Fig. 14).

Fig. 11. *Pugnax Swallowi* Shum. S. 483 (r. T., S. 67). Sik-Takty am Sim. Schwagerinen-Horizont.

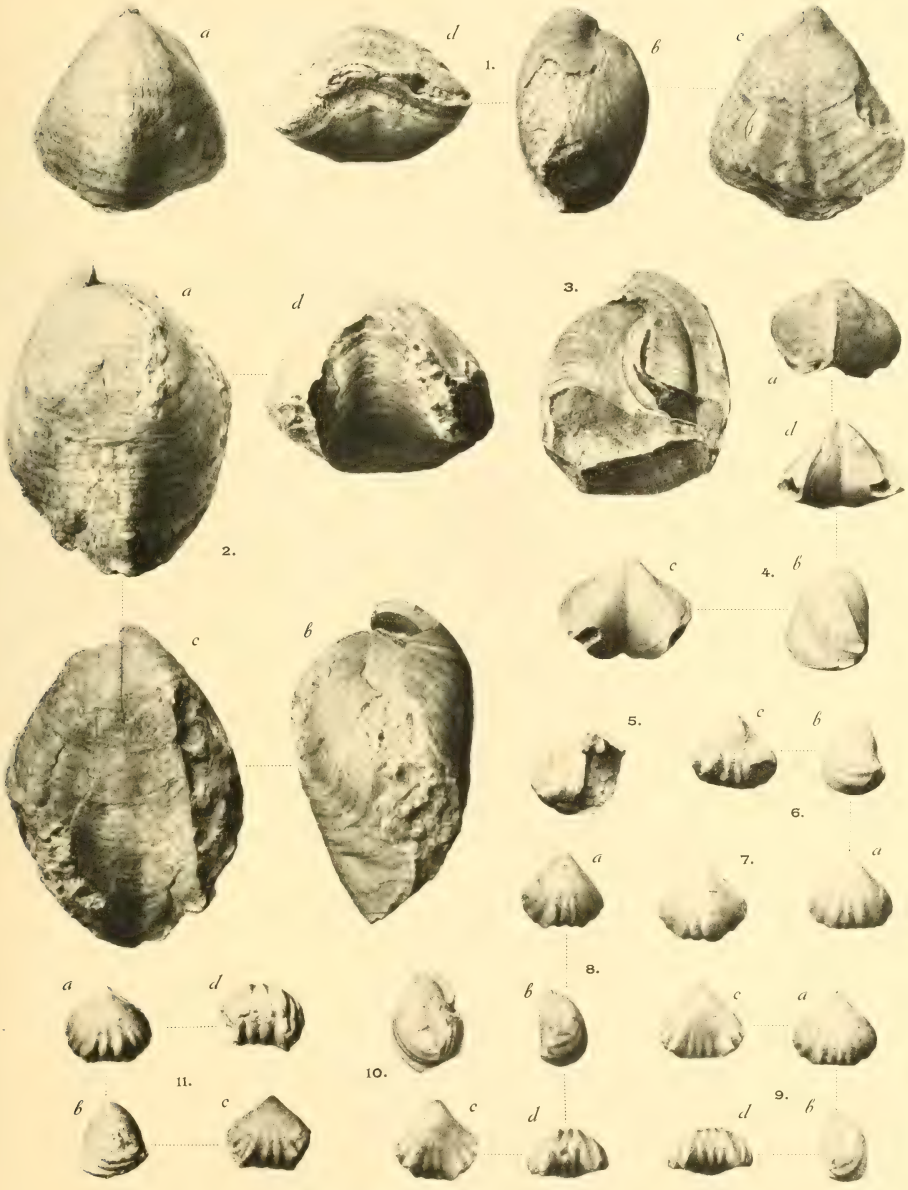

Фототипія В. Клосенъ. С. Петербургъ. Надеждинская лин. № 7-2
Оргтехн. Н. Каминскій

Таблица XXIV.

Фиг. 1—2. *Derbyia grandis* Waag. Стр. 207. Фиг. 1*a*—спинная створка; фиг. 1*b* — замочный отростокъ съ внутренней (брюшной) стороны; фиг. 1*c*—этотъ же отростокъ съ наружной (спинной) стороны. Фиг. 2—брюшная створка. Р. Бѣлая, притокъ Индиги (44). Швагериновый известнякъ (см. таб. XXVI, фиг. 5).

Фиг. 3. *Meekella ufensis* n. sp. Стр. 218. Урочище „Коянъ" на р. Уфѣ. Коровый горизонтъ.

Фиг. 4. *Meekella uncitoides* n. sp. Стр. 214. Брюшная створка. Урочище „Коянъ" на р. Уфѣ. Коровый горизонтъ (см. таб XXVI, фиг. 3).

Фиг. 5. *Meekella eximia* Eichw. Стр. 213. Брюшная створка. Р. Уфа, ниже устья Бердяша. Коровый горизонтъ (см. таб. LI, фиг. 13).

Фиг. 6. *Meekella baschkirica* n. sp. Стр. 217. Брюшная створка. Урочище „Коянъ" на р. Уфѣ. Коровый горизонтъ.

Фиг. 7. *Meekella striatocostata* Cox. Стр. 211. Спинная створка. Урочище „Коянъ" на р. Уфѣ. Коровый горизонтъ (см. таб. XXVI, фиг. 4, таб. LI, фиг. 3).

Фиг. 8. *Meekella striatocostata* Cox. Стр. 211. Спинная створка. Рѣка Уфа, ниже устья Бердяша. Коровый горизонтъ.

Фиг. 9. *Productus Stuckenbergi* Krotow. Стр. 265. Спинная створка; часть брюшной створки сохранилась по краямъ. С. Тастуба. Швагериновый известнякъ.

Tafel XXIV.

Fig. 1—2. *Derbyia grandis* Waag. S. 580 (r. T., S. 207). Fig. 1*a*. Dorsalklappe. Fig. 1*b*. Schlossfortsatz von der inneren (ventralen) Seite. Fig. 1*c*. Der nämliche von der äusseren (dorsalen) Seite. Fig. 2. Ventralklappe. Fl. Belaja, Zufluss der Indiga (44). Schwagerinen-Kalk (s. Taf. XXVI, Fig. 5).

Fig. 3. *Meekella ufensis* n. sp. S. 587 (r. T., S. 218). Kojan an der Ufa. Cora-Horizont.

Fig. 4. *Meekella uncitoides* n. sp. S. 582 (r. T., S. 214). Ventralklappe. Kojan an der Ufa. Cora-Horizont (s. Taf. XXVI, Fig. 3).

Fig. 5. *Meekella eximia* Eichw. S. 582 (r. T., S. 213). Ventralklappe. Fl. Ufa unterhalb der Mündung des Berdjasch. Cora-Horizont (s. Taf. LI, Fig. 13).

Fig. 6. *Meekella baschkirica* n. sp. S. 586 (r. T., S. 217). Ventralklappe. Kojan an der Ufa. Cora-Horizont.

Fig. 7. *Meekella striatocostata* Cox. S. 582 (r. T., S. 211). Dorsalklappe. Kojan an der Ufa. Cora-Horizont (s. Taf. XXVI, Fig. 4; Taf. LI, Fig. 3).

Fig. 8. *Meekella striatocostata* Cox. S. 582 (r. T., S. 211). Dorsalklappe. Fl. Ufa, unterhalb der Mündung des Berdjasch. Cora-Horizont.

Fig. 9. *Productus Stuckenbergi* Krotow. S. 614 (r. T., S. 265). Dorsalklappe; die Ventralklappe theilweise an den Rändern erhalten. D. Tastuba. Schwagerinen-Horizont.

Труды Геолог. Комит. Т. XVI, №2

Фототипія Е. Клеенъ. С. Петербургъ, Кадетская лин. № 7-2
Предпр. Н. Клемпскій.

Таблица XXV.

Фиг. 1—3. *Derbyia regularis* Waag. Стр. 203. Фиг. 1—брюшная створка; фиг. 2—спинная створка; фиг. 3—брюшная створка; фиг. 3*c*—продольный изломъ брюшной створки, обнаруживающій septum. Р. Печорская Пижма (84). Омфалотроховый горизонтъ (см. таб. LXIII, фиг. 5).

Фиг. 4. *Meekella timanica* n. sp. Стр. 216. Р. Индига (4). Швагериновый горизонтъ.

Tafel XXV.

Fig. 1—3. *Derbyia regularis* Waag. S. 577 (r. T., S. 203). Fig. 1. Ventralklappe. Fig. 2. Dorsalklappe. Fig 3. Ventralklappe. Fig. 3*c*. Längsbruch der Ventralklappe, der das Septum zeigt. Fl. Petschorskaja Pishma (84). Omphalotrochus-Horizont (s. Taf. LXIII, Fig. 5).

Fig. 4. *Meekella timanica* n. sp. S. 585 (r. T., S. 216). Fl. Indiga (4). Schwagerinen-Horizont.

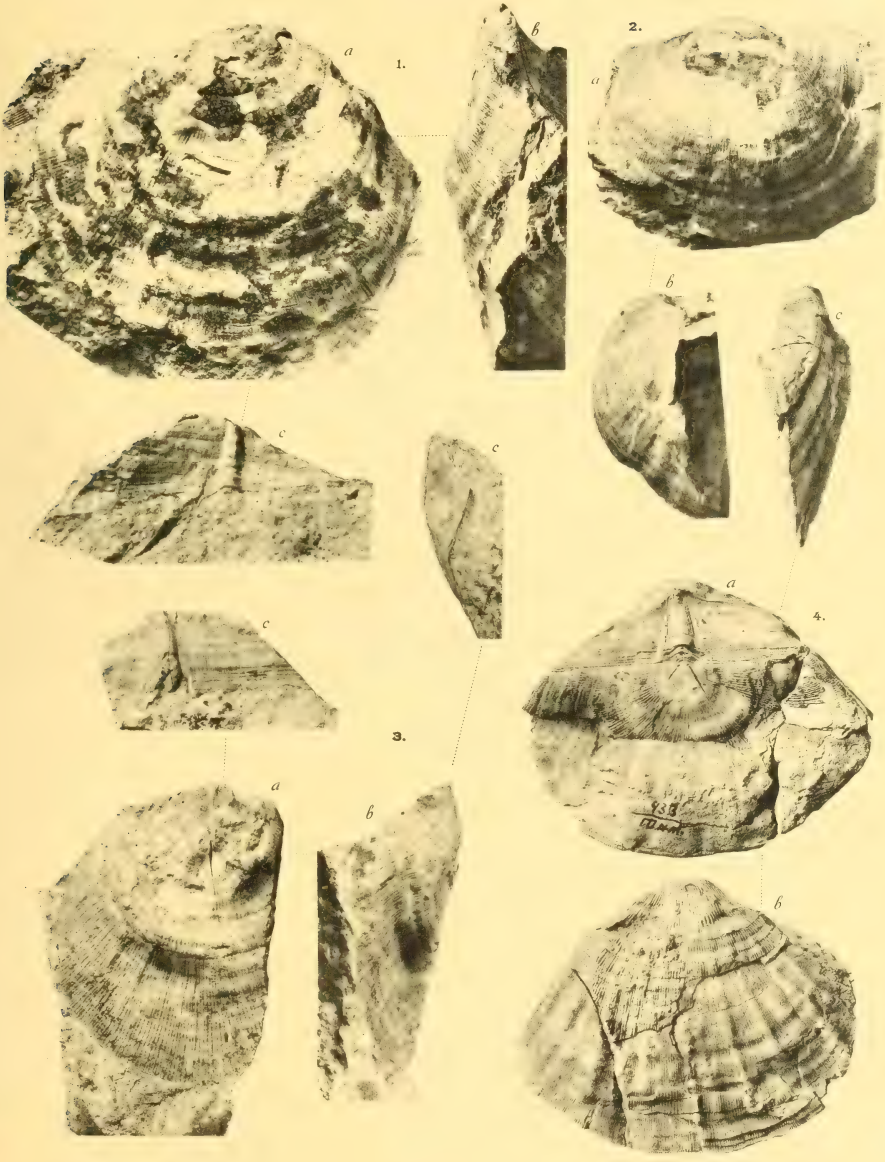
1.
a
b
c
2.
a
b
c
3.
a
b
4.
a
b

Таблица XXVI.

Фиг. 1—2. *Derbyia crassa* Meek & Hayden. Стр. 209. Фиг. 1—брюшная створка; фиг. 2—спинная створка. Р. Юрезань, въ $2^1/_2$ верст. ниже Сырого-Калмаша.

Фиг. 3. *Meekella uncitoides* n. sp. Стр. 214. Брюшная створка. Урочище „Коянъ“ на р. Уфѣ. Коровый горизонтъ (см. таб. XXIV, фиг. 4).

Фиг. 4. *Meekella striatocostata* Cox. Стр. 211. Брюшная створка. Урочище „Коянъ“ на р. Уфѣ. Коровый горизонтъ (см. таб. XXIV, фиг. 7, 8, таб. LI, фиг. 3).

Фиг. 5. *Derbyia grandis* Waagen. Стр. 207. Брюшная створка, продольный изломъ которой представленъ на рис. 59 въ текстѣ. Тиманъ. Р. Бѣлая (44). Швагериновый известнякъ (см. таб. XXIV, фиг. 1—2).

Фиг. 6—7. *Streptorhynchus pelargonatus* Schloth. Стр. 199. Фиг. 6—брюшная створка; фиг. 7—спинная створка. Р. Уфа, противъ Аяза. Коровый горизоитъ.

Фиг. 8—10. *Orthotichia Morgani* Derby. Стр. 227. Фиг. 8—ядро брюшной створки; фиг. 9—брюшная створка съ изломомъ по зубной пластинѣ; фиг. 10—спинная створка. Р. Юрезань, въ 3-хъ верст. ниже деревни Базраковой. Швагериновый известнякъ (см. таб. XLVIII, фиг. 1—3).

Фиг. 11—12. *Rhipidomella uralica* n. sp. Стр. 223. Гора Гаяше Ташъ на Юрезани. Коровый горизонтъ.

Tafel XXVI.

Fig. 1—2. *Derbyia crassa* Meek & Hayden. S. 582 (r. T., S. 209). Fig. 1. Bauchschale. Fig. 2. Dorsalklappe. Fl. Juresan, $2^1/_2$ Werst unterhalb Syroj Kalmasch.

Fig. 3. *Meekella uncitoides* n. sp. S 582 (r. T., S. 214). Ventralklappe. Kojan an der Ufa. Cora-Horizont (s. Taf. XXIV, Fig. 4).

Fig. 4. *Meekella striatocostata* Cox. S. 582 (r. T., S. 211). Ventralklappe. Kojan an der Ufa. Cora-Horizont (s. Taf. XXIV, Fig. 7, 8; Taf. LI, Fig. 3).

Fig. 5. *Derbyia grandis* Waagen. S. 580 (r. T., S. 207). Ventralklappe, deren Längsbruch in der Textfig. 59 abgebildet ist. Timan, Fl. Belaja (44). Schwagerinen-Kalk (s. Taf. XXIV, Fig. 1—2).

Fig. 6—7. *Streptorhynchus pelargonatus* Schloth. S. 576 (r. T., S. 199). Fig. 6. Ventralklappe. Fig. 7. Dorsalklappe. Fl. Ufa, gegenüber dem Ajas. Cora-Horizont.

Fig. 8—9. *Orthotichia Morgani* Derby. S. 594 (r. T., S. 227). Fig. 8. Steinkern der Ventralklappe. Fig. 9. Ventralklappe mit einem Bruche längs der Zahnplatte. Fig. 10. Dorsalklappe. Fl. Juresan, 3 Werst unterhalb d. D. Basrakowa. Schwagerinen-Kalk (s. Taf. XLVIII, Fig. 1—3).

Fig. 11—12. *Rhipidomella uralica* n. sp. S. 590 (r. T., S. 223). Berg Gajasche Tasch am Juresan. Cora-Horizont.

Фототипія В. Клосенъ, С.-Петербургъ, Кадетская лин. № 7-2.
Пресвят. Н. Каминскій

Таблица XXVII.

Фиг. 1. *Productus Schrenki* Stuck. Стр. 290. Спинная створка. Р. Индига. Швагериновый известнякъ.

Фиг. 2. *Productus longus* Meek. Стр. 305. Часть брюшной створки съ отчетливой скульптурой. Р. Юрезань, въ 2-хъ верстахъ ниже дер. Шаматовой. Коровый горизонтъ (см. таб. XXXIV, фиг. 4, таб. XXXV, фиг. 2).

Фиг. 3. *Chonetes Moelleri* n. sp. Стр. 240. Оригиналъ Меллера (*Ch. variolata*). Стерлитамакъ. Швагериновый известнякъ.

Фиг. 4—5. *Chonetes morahensis* Waag. Стр. 230. Фиг. 4—плитка известняка со спинными створками; фиг. 5—брюшная створка, увеличенная въ $1^1/_2$ раза. На рисункѣ недостаточно отчетливо переданы иглы на верхнихъ краяхъ area. Р. Волонга (10). Коровый известнякъ.

Фиг. 6—8. *Chonetes trapezoidalis* Waag. Стр. 231. Брюшныя створки, увеличенныя въ $1^1/_2$ раза. Р. Волонга (19). Коровый горизонтъ.

Фиг. 9. *Chonetes variolata* d'Orbigny. Стр. 234. Спинная створка съ внутренней стороны. Р. Индига. Швагериновый известнякъ.

Фиг. 10—11. *Chonetes variolata* d'Orb. Стр. 234. С. Тастуба. Швагериновый известнякъ.

Фиг. 12. *Aulosteges dalhousii* Waag. Стр. 242. Брюшная створка. Справа выступаетъ часть сдвинутой створки спинной. Гора Улькунды на Симу. Швагериновый горизонтъ (см. таб. XXXVI, фиг. 8).

Фиг. 13—15. *Schizophoria juresanensis* n. sp. Стр. 224. Гора Гаяше-Ташъ на Юрезань. Коровый горизонтъ (см. таб. LX, фиг. 5—8).

Tafel XXVII.

Fig. 1. *Productus Schrenki* Stuck. S. 628 (r. T., S. 290). Dorsalklappe. Fl. Indiga. Schwagerinen-Kalk.

Fig. 2. *Productus longus* Meek. S. 637 (r. T., S. 305). Ein Theil der Ventralklappe mit deutlicher Sculptur. Fl. Juresan, 2 Werst unterhalb d. D. Schamratowa. Cora-Horizont. (s. Taf. XXXIV, Fig. 4; Taf. XXXV, Fig. 2).

Fig. 3. *Chonetes Moelleri* n. sp. S. 601 (r. T., S. 240). Das Original Moellers (*Ch. variolata*). Sterlitamak. Schwagerinen-Kalk.

Fig. 4—5. *Chonetes morahensis* Waag. S. 595 (r. T., S. 230). Fig. 4. Kalkplättchen mit Dorsalklappe. Fig. 5. Ventralklappe, $2^1/_2$ Mal vergr. Auf der Abbildung sind die Nadeln auf den oberen Rändern der Area nicht mit hinreichender Deutlichkeit wiedergegeben. Fl. Wolonga (10). Cora-Kalk.

Fig. 6—8. *Chonetes trapezoidalis* Waag. S. 595 (r. T., S. 231). Ventralklappe, $2^1/_2$ Mal vergrössert. Fl. Wolonga (19). Cora-Horizont.

Fig. 9. *Chonetes variolata* d'Orbigny. S. 597 (r. T., S 234). Dorsalklappe von der Innenseite. Fl. Indiga. Schwagerinen-Kalk.

Fig. 10—11. *Chonetes variolata* d'Orbigny. S. 597 (r. T., S. 234). D. Tastuba. Schwagerinen-Kalk.

Fig. 12. *Aulosteges dalhousii* Waag. S. 602 (r. T., S. 242). Ventralklappe. Rechts tritt ein Theil der verschobenen Dorsalklappe hervor. Berg Ulkundy am Sim. Schwagerinen-Horizont (s. Taf. XXXVI, Fig. 8).

Fig. 13—15. *Schizophoria juresanensis* n. sp. S. 591 (r. T., S. 224). Berg Gajasche-Tasch am Juresan. Cora-Horizont (s. Taf. LX, Fig. 5—8).

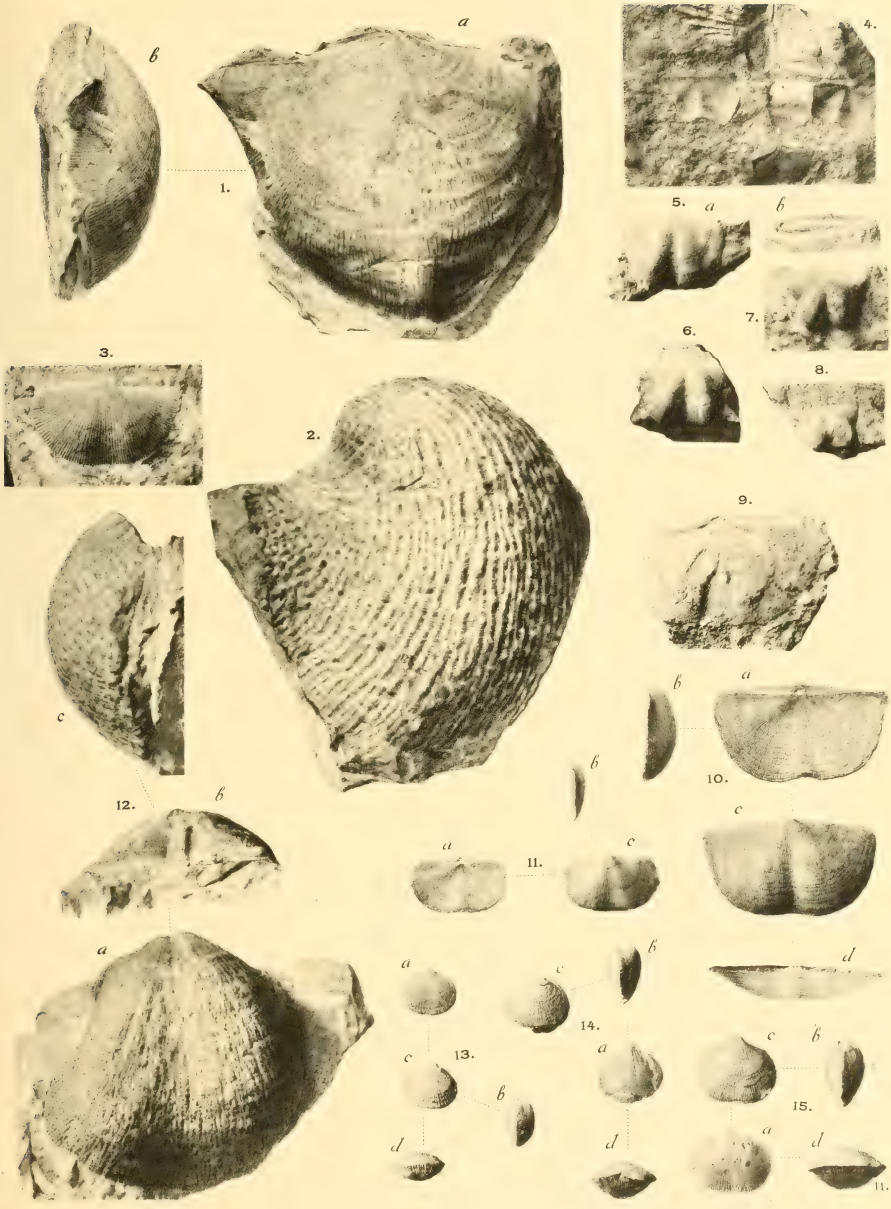

Фототипія В. Плаксина С. Петербургъ Надеждин. пер. № 7-2.
Пресвят. И. Каминскій

Таблица XXVIII.

Фиг. 1. *Productus inflatus* Mc Chesney. Стр. 261. Р. Юрезань, въ $2^1/_2$ верстахъ ниже Сырого Калмаша. Омфалотроховый горизонтъ.

Фиг. 2, 4—6. *Productus inflatus* Mc Chesney. Стр. 261. Р. Индига. Швагериновый известнякъ.

Фиг. 3. *Productus inflatus* Mc Chesney. Стр. 261. Спинная створка съ внутренней стороны. Р. Индига. Швагериновый известнякъ.

Фиг. 7. *Proboscidella genuina* Kut. Стр. 311. С. Ярославка. Швагериновый известнякъ (см. таб. XXXI, фиг. 1, таб. LIX, фиг. 4—6).

Tafel XXVIII.

Fig. 1. *Productus inflatus* Mc Chesney. S. 612 (r. T., S. 261). Fl. Juresan, $2^1/_2$ Werst unterhalb des Syroj Kalmasch. Omphalotrochus-Horizont.

Fig. 2, 4—6. *Productus inflatus* Mc Chesney. S. 612. (r. T., S. 261). Fl. Indiga. Schwagerinen-Kalk.

Fig. 3. *Productus inflatus* Mc Chesney. S. 612 (r. T., S. 261). Dorsalklappe von der Innenseite Fl. Indiga. Schwagerinen-Horizont.

Fig. 7. *Proboscidella genuina* Kut. S. 642 (r. T., S. 311). D. Jaroslawka. Schwagerinen-Kalk (s. Taf. XXXI, Fig. 1; Taf. LIX, Fig. 4—6).

Труды Геолог. Комит. Т. XVI, №2

Фототипія Ф. Клопенъ С.Петербургъ Кадетская лин. № 1-2
Прогрессъ Н. Каминскій

Таблица XXIX.

Фиг. 1. *Productus juresanensis* n. sp. Стр. 276. Ядро брюшной створки. Ворота р. Индиги. Омфалотроховый горизонтъ (см. таб. XLVII, фиг. 1—2, таб. LIII, фиг. 4).

Фиг. 2. *Productus juresanensis* n. sp. Стр. 276. Мысъ „Бѣлое Щелье", Тиманъ. Коровый горизонтъ.

Фиг. 3. *Productus curvirostris* Schellw. Стр. 269. Увелич. въ 2 раза. С. Тастуба. Швагериновый горизонтъ (см. таб. LXIII, фиг. 9).

Фиг. 4. *Productus transversalis* n. sp. Стр. 258. Саранинскій заводъ. Швагериновый горизонтъ.

Фиг. 5. *Productus transversalis* n. sp. Стр. 258. Тура Тау подлѣ Стерлитамака. Швагериновый известнякъ.

Tafel XXIX.

Fig. 1. *Productus juresanensis* n. sp. S. 620 (r. T., S. 276). Steinkern der Ventralkappe. Indiga-Thor. Omphalotrochus-Horizont (s. Taf. XLVII, Fig. 1—2; Taf. LIII, Fig. 4).

Fig. 2. *Productus juresanensis* n. sp. S. 620. Cap Beloje Stschelje, Timan. Cora-Horizont.

Fig. 3. *Productus curvirostris* Schellw. S. 616 (r. T., S. 269). Vergr. 2 Mal. D. Tastuba. Schwagerinen-Horizont (s. Taf. LXIII, Fig. 9).

Fig. 4. *Productus transversalis* n. sp. S. 611 (r. T., S. 258). Hüttenwerk Saraninsky. Schwagerinen-Horizont.

Fig. 5. *Productus transversalis* n. sp. S. 611 (r. T., S. 258). Tura-Tau bei Sterlitamak. Schwagerinen-Kalk.

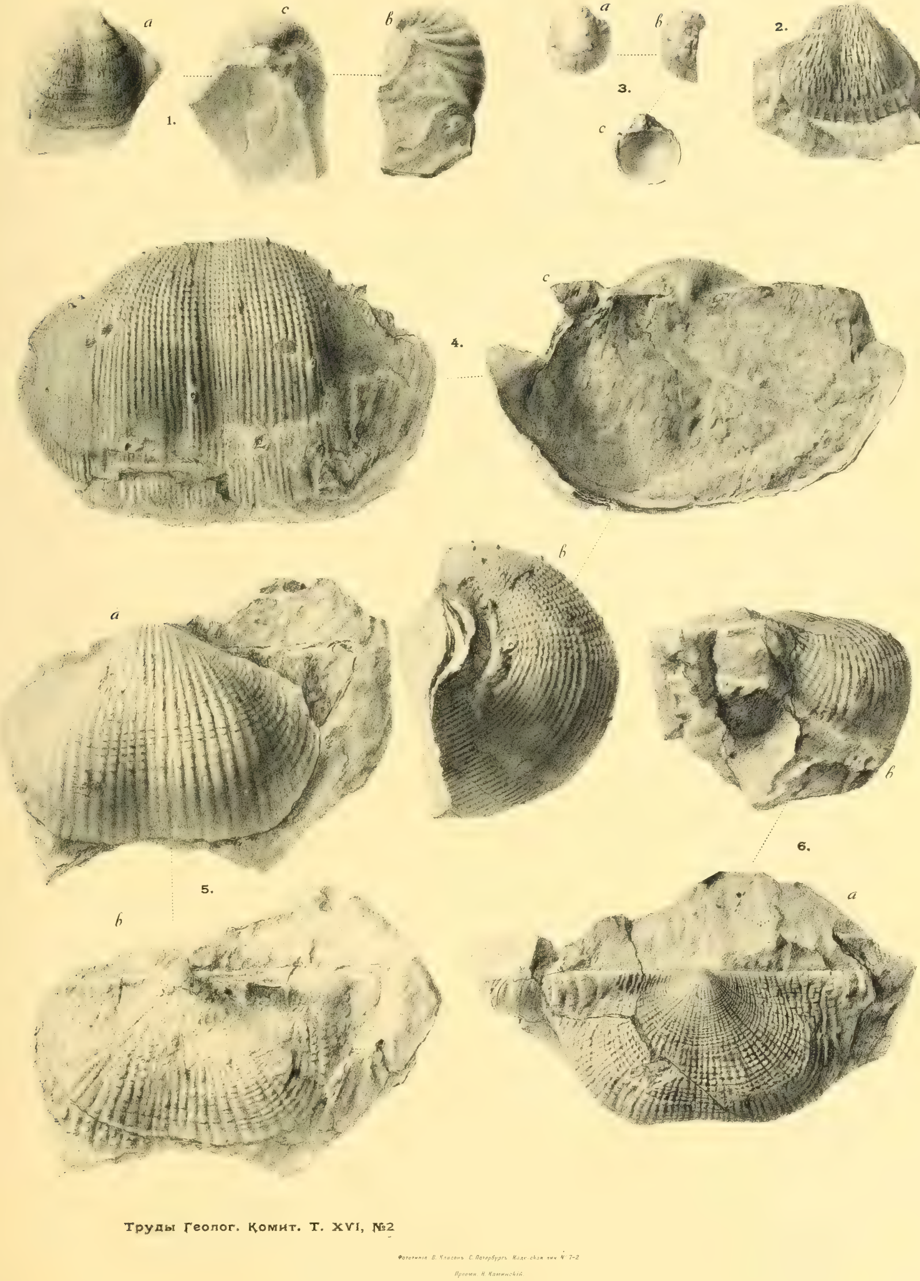

Фототипія В. Класонъ С. Петербургъ Кадетская лин. № 7-2
Препар. Н. Каминскій.

Таблица XXX.

Фиг. 1. *Productus pustulatus* Keys. Стр. 271. Брюшная створка. Гора Кысы-Тау на Симу. Швагериновый известнякъ (см. таб. LIII, фиг. 5—6).

Фиг. 2. *Productus pustulatus* Keys. Стр. 271. Фиг. 2*c* — спинная створка. Р. Уфа, ниже ключа „Дречангулъ". Швагериновый известнякъ.

Фиг. 3. *Productus irginae* Stuck. Стр. 273. Тиманъ, р. Сула (49). Швагериновый известнякъ (см. таб. LII, фиг. 1—4).

Фиг. 4. *Productus irginae* Stuck. Стр. 273. Спинная створка съ внутренней стороны. Рѣка Бѣлая, притокъ Индиги. Коровый известнякъ.

Фиг. 5. *Productus timanicus* Stuck. Стр. 306. Спинная створка съ внутренней стороны. На рисункѣ отчетливо видны мускульныя впечатлѣнія и положеніе брахіальнаго аппарата. Тиманъ, р. Щучья (притокъ Сулы) (56). Швагериновый горизонтъ (см. таб. LVII, фиг. 1—6).

Фиг. 6. *Productus aff. Leplayi* Vern. Стр. 256. Р. Индига. Швагериновый известнякъ.

Фиг. 7. *Productus pseudoaculeatus* Krot. Стр. 266. У лобнаго края видно начало языкообразнаго придатка, прерывающаго синусъ. Р. Уфа, въ 2-хъ верстахъ выше Янбаевой. Швагериновый горизонтъ (см. таб. LII, фиг. 10—12).

Фиг. 8. *Productus Wallacei* Derby. Стр. 270. Брюшная створка, исключительно сильно вздутая. Р. Уфа, выше устья Седяша. Коровый горизонтъ (см. таб. LX, фиг. 19—23).

Tafel XXX.

Fig. 1. *Productus pustulatus* Keys. S. 617 (r. T., S. 271). Ventralklappe. Berg Kyssy-Tau am Sim. Schwagerinen-Kalk (s. Taf. LIII, Fig. 5—6).

Fig. 2. *Productus pustulatus* Keys. S. 617 (r. T., S. 271). Fig. 2*c*. Dorsalklappe. Fl. Ufa unterhalb der Quelle Dretschangul. Schwagerinen-Kalk.

Fig. 3. *Productus irginae* Stuck. S. 618 (r. T., S. 273). Timan, Fl. Sula (49). Schwagerinen-Kalk (s. Taf. LII, Fig. 1—4).

Fig. 4. *Productus irginae* Stuck. S. 618 (r. T., S. 273). Dorsalklappe von der Innenseite. Fl. Belaja, Nebenfl. d. Indiga. Cora-Kalk.

Fig. 5. *Productus timanicus* Stuck. S. 638 (r. T., S. 306). Dorsalklappe von der Innenseite. Auf der Abbildung sind die Muskeleindrücke und die Lage des Brachialapparates deutlich sichtbar. Timan, Fl. Stschutschja, Nebenfl. d. Sula (56). Schwagerinen-Horizont (s. Taf. LVII, Fig. 1—6).

Fig. 6. *Productus aff. Leplayi* Vern. S. 610 (r. T., S. 256). Fl. Indiga. Schwagerinen-Kalk.

Fig. 7. *Productus pseudoaculeatus* Krot. S. 615 (r. T., S. 266). Am Stirnrande erblickt man den Beginn eines zungenförmigen Fortsatzes, der den Sinus unterbricht. Fl. Ufa, 2 Werst oberhalb Janbajewa. Schwagerinen-Horizont (Fig. LII, Fig. 10—12).

Fig. 8. *Productus Wallacei* Derby. S. 617 (r. T., S. 270). Ausserordentlich stark gewölbte Ventralklappe Fl. Ufa, oberhalb der Mündung des Sedjasch. Cora-Horizont (s. Taf. LX, Fig. 19—23).

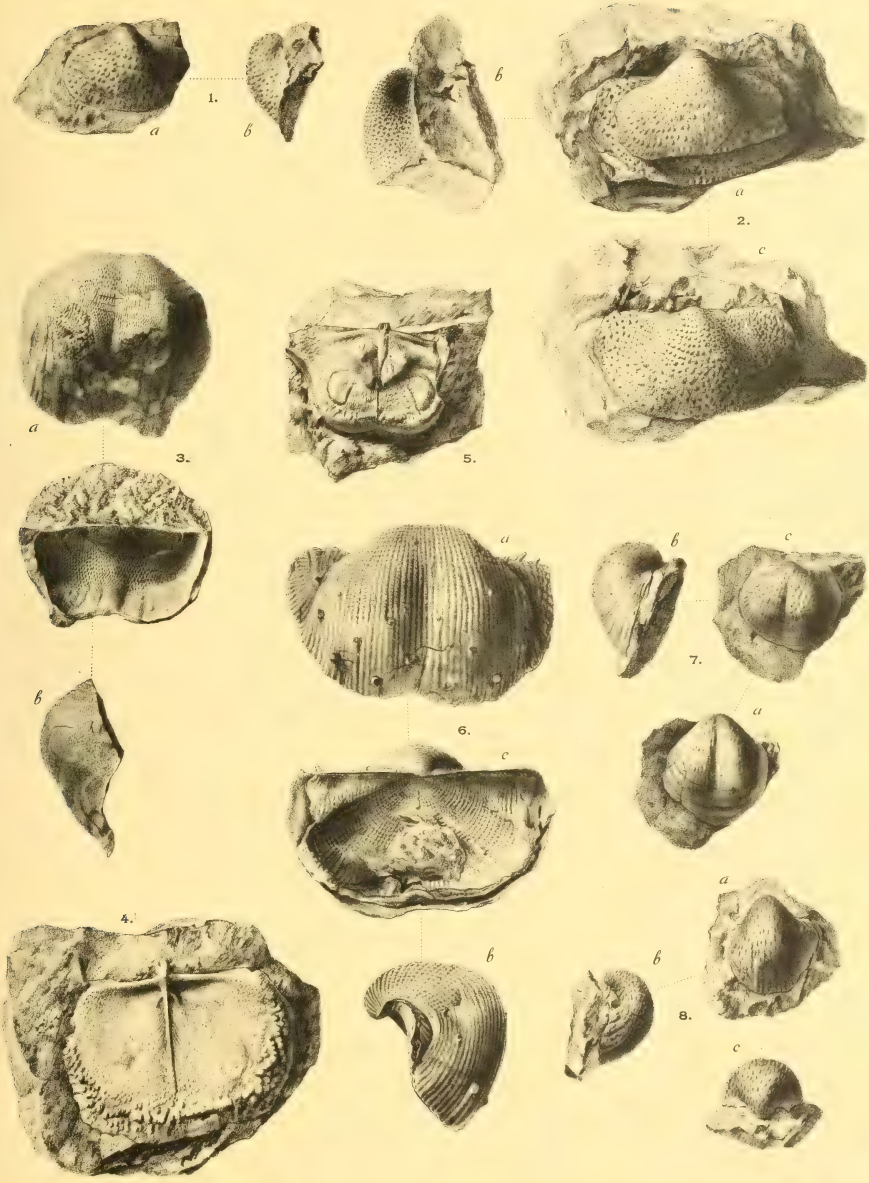

Фототипія В. Власова. С. Петербургъ Кадетская лин. № 7-2.
Прозоръ Н. Каминскій

Таблица XXXI.

Фиг. 1. *Proboscidella genuina* Kut. Стр. 311. Неполный экземпляръ, отчетливо сохранившій скульптуру висцеральной части. Р. Симъ, въ $1^1/_2$ верст. ниже устья Карагай Елга. Швагериновый горизонтъ (см. Таб. XXVIII, фиг. 7, таб. LIX, фиг. 4—6).

Фиг. 2. *Proboscidella Kutorgae* n. sp. Стр. 314. Р. Симъ въ $1^1/_2$ вер. ниже устья Карагай Елга. Швагериновый известнякъ (см. таб. LIX, фиг. 1—3).

Фиг. 3. *Proboscidella Kutorgae* n. sp. Стр. 314. Оригиналъ Куторги (*Pr. genuinus*). Стерлитамакъ. Швагериновый известнякъ.

Фиг. 4. *Proboscidella lata* n. sp. Стр. 313. Стерлитамакъ. Швагериновый известнякъ (см. таб. LIX, фиг. 7).

Фиг. 5—6. *Proboscidella genuina* Kut. Стр. 311. Фиг. 6—оригиналъ Куторги. Стерлитамакъ. Швагериновый известнякъ.

Фиг. 7. *Productus fasciatus* Kut. Стр. 297. Фиг. *a*—*b*—брюшная створка; 6—спинная створка. Тура-Тау подлъ Стерлитамака. Швагериновый известнякъ (см. таб. XXXIV, фиг. 5, 6).

Tafel XXXI.

Fig. 1. *Proboscidella genuina* Kut. S. 642 (r. T., S. 311). Incompletes Exemplar mit deutlich erhaltener Sculptur der Visceralpartie. Fl. Sim, $1^1/_2$ Werst unterhalb der Mündung der Karagaj Jelga. Schwagerinen-Horizont (s. Taf. XXVIII. Fig. 7; Taf. LIX. Fig. 4—6).

Fig. 2. *Proboscidella Kutorgae* n. sp. S. 643 (r. T., S. 314). Fl. Sim, $1^1/_2$ Werst unterhalb der Mündung der Karagaj Jelga. Schwagerinen-Kalk (s. Taf. LIX, Fig. 1—3).

Fig. 3. *Proboscidella Kutorgae* n. sp. S. 643 (r. T., S. 314). Original Kutorgas (*Pr. genuinus*). Sterlitamak. Schwagerinen-Kalk.

Fig. 4. *Proboscidella lata* n. sp. S. 642 (r. T., S. 313). Sterlitamak. Schwagerinen-Kalk (s. Taf. LIX, Fig. 7)

Fig. 5—6. *Proboscidella genuina* Kut. S. 642 (t. T., S. 311, Fig. 6). Kutorgas Original. Sterlitamak. Schwagerinen-Kalk.

Fig. 7. *Productus fasciatus* Kut. S. 631 (r. T., 297). Fig. *a*, *b* — Ventralklappe, *c* — Dorsalklappe. Tura-Tau bei Sterlitamak. Schwagerinen-Kalk (s. Taf. XXXIV, Fig. 5, 6).

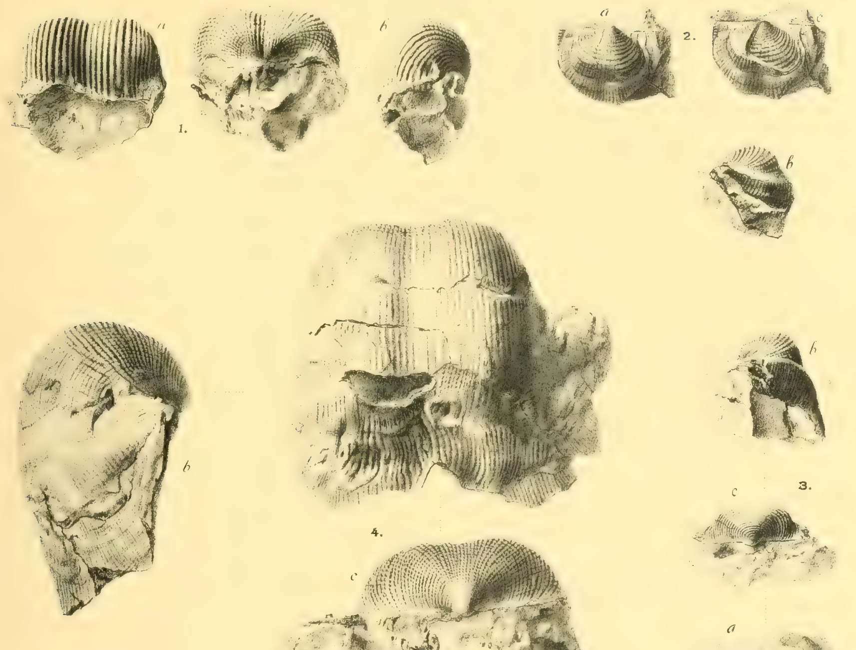

Фототипія В. Классенъ. С.Петербургъ. Кадетская лин. № 7-2
Каминскі

Таблица XXXII.

Фиг. 1. *Productus uralicus* n. sp. Стр. 259. Ядро брюшной створки. Р. Уфа, ниже оврага Баргазы. Швагериновый известнякъ (см. таб. XXXIII, фиг. 1, таб. LXII, фиг. 1).

Фиг. 2. *Productus multistriatus* Meek. *var.* Стр. 251. Тиманъ, р. Сула (47). Коровый горизонтъ.

Фиг. 3. *Productus Gruenewaldti* Krotow. Стр. 252. Ядро брюшной створки. Р. Ай, въ 6-ти верстахъ выше устья Югуза. Коровый горизонтъ (см. таб. LXI, фиг. 3, 5 — 7, таб. LXII, фиг. 4—5).

Фиг. 4. *Productus porrectus* Kut. Стр. 301. Спинная створка съ внутренней стороны. Изъ валуна по р. Печорѣ (см. таб. LV, фиг. 1, таб. LVI, фиг. 4, таб. LXII, фиг. 2).

Фиг. 5. *Productus boliviensis* d'Orbigny. Стр. 250. Экземпляръ съ обломанными ушками, но съ замѣтной наклонностью къ образованію крупныхъ продольныхъ складокъ у лобнагокрая. Р. Уфа, въ $4^1/_2$ верст. ниже деревни „Верхн. Суянъ". Коровый горизонтъ (см. таб. XXXV, фиг. 3).

Tafel XXXII.

Fig. 1. *Productus uralicus* n. sp. S. 612 (r. T, S. 259). Steinkern der Ventralklappe. Fl. Ufa, unterhalb der Schlucht Bargasy. Schwagerinen-Kalk (s. Taf. XXXIII, Fig. 1; Taf. LXII. Fig. 1).

Fig. 2. *Productus multistriatus* Meek. var. S. 607 (r. T., S. 251). Timan, Fl. Sula (47). Cora-Horizont.

Fig 3. *Productus Gruenewaldti* Krotow. S. 608 (r. T., S. 252). Steinkern der Ventralklappe. Fl. Ai, 6 Werst oberhalb der Mündung des Jugus. Cora-Horizont (s. Taf. LXI, Fig. 3, 5—7; Taf. LXII. Fig. 4—5).

Fig. 4. *Productus porrectus* Kut. S. 634 (r. T., S. 301). Dorsalklappe von der Innenseite. Aus einem Steinblock an der Petschora (s. Taf. LV, Fig. 1; Taf. LVI, Fig. 4; Taf. LXII, Fig. 2).

Fig. 5. *Productus boliviensis* d'Orbigny. S. 607 (r. T., S. 250). Exemplar mit abgebrochenen Oehrchen, aber mit merklicher Neigung zu grober Faltenbildung beim Stirnrande. Fl. Ufa, $4^1/_2$ Werst unterhalb des Dorfes Werchnij Sujan. Cora-Horizont (s. Taf. XXXV, Fig. 3).

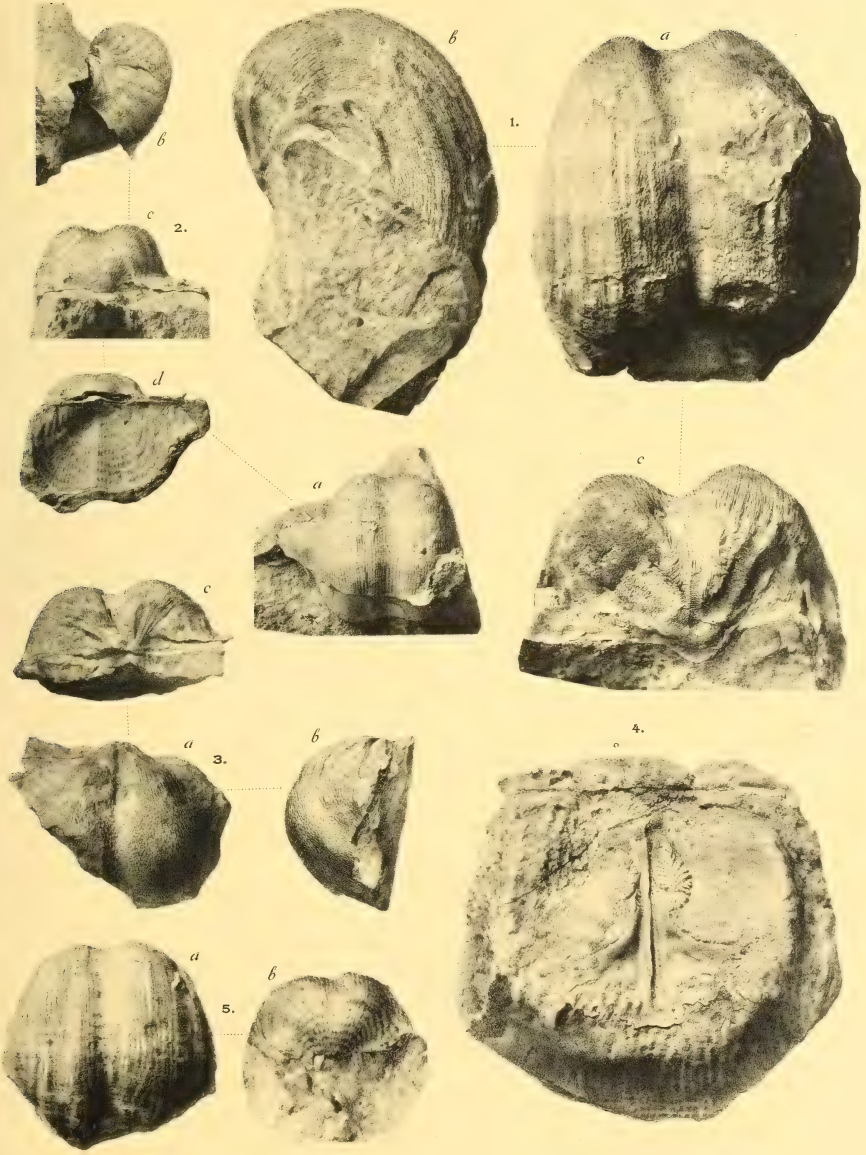

Фототипія В. Клосовъ. С.Петербургъ, Кадетская лин. № 7-2
Прим. Н. Кожинскій.

Таблица XXXIII.

Фиг. 1. *Productus uralicus* n. sp. Стр. 259. Сарапинскій заводъ. Швагериновый горизонтъ (см. таб. XXXII, фиг. 1, таб. LXII, фиг. 1).

Фиг. 2. *Productus Cora* d'Orbigny. Стр. 279. Спинная створка съ внутренней стороны; на рисункѣ массивное утолщеніе, поддерживающее замочный отростокъ, передано слабо. Р. Бѣлая, притокъ Индиги. Коровый горизонтъ. (см. таб. XXXV, фиг. 1, таб. LIV, фиг. 1—5).

Фиг. 3. *Productus Cora* d'Orbigny. Стр. 279. Спинная створка съ внутренней стороны. Тиманъ, р. Индига, Коровый горизонтъ.

Tafel XXXIII.

Fig. 1. *Productus uralicus* n. sp. S. 612 (r. T, S. 259). Saraninskij Hüttenwerk. Schwagerinen-Horizont (s. Taf. XXXII, Fig. 1; Taf. LXII, Fig. 1).

Fig. 2. *Productus Cora* d'Orbigny. S. 621 (r. T., S. 279). Dorsalklappe von der Innenseite. Auf der Abbildung ist die den Schlossfortsatz stützende massive Verdickung zu schwach wiedergegeben. Fl. Belaja, Zufl. d. Indiga Cora-Horizont (s. Taf. XXXV, Fig. 1; Taf. LIV, Fig. 1—5).

Fig. 3. *Productus Cora* d'Orb. S. 621 (r. T, S. 279). Dorsalklappe von der Innenseite. Timan. Fl. Indiga. Cora-Horizont.

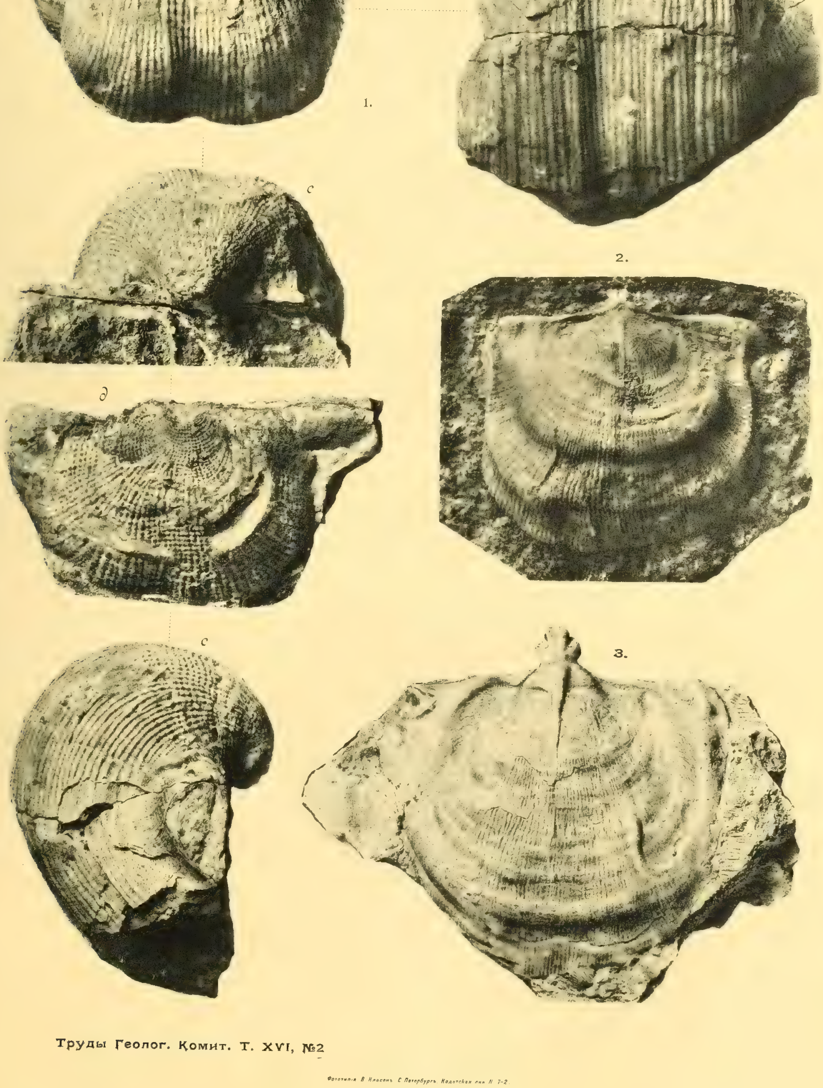

Фототипія В. Класенъ С. Петербургъ. Кадетская лин. Н 7-2.
Преемн. Н. Каминскій

Таблица XXXIV.

Фиг. 1. *Productus Moelleri* Stuck. Стр. 262. Р. Ай, въ 4-хъ верстахъ ниже устья Югуза. Коровый горизонтъ.

Фиг. 2. *Productus Koninckі* Verneuil. Стр. 291. Брюшная створка. Р. Юрезань, урочище „Сагадыкъ Шиды". Коровый горизонтъ.

Фиг. 3. *Productus Koninckі* Vrneuil. Стр. 291. Одинъ и тотъ же экземпляръ фиг. *a*, *b*—при брюшной створкѣ. *c*—при снятой брюшной створкѣ. Около Деревни Усть-Айской. Коровый горизонтъ.

Фиг. 4. *Productus longus* Meek. Стр. 305. Брюшная створка. Р. Юрезань, въ 2-хъ верстахъ ниже дер. Шамратовой. Коровый известнякъ (см. таб. XXVII, фиг. 2, табл. XXXV, фиг. 2).

Фиг. 5. *Productus fasciatus* Kut. Стр. 297. Брюшная створка. Р. Юрезань, въ $2^1/_2$ верст. ниже Сырого Калмаша. Омфалотроховый горизонтъ (см. таб. XXXI, фиг. 7)

Фиг. 6. *Productus fasciatus* Kut. Стр. 297. Оригиналъ Куторги. Стерлитамакъ. Швагериновый известнякъ.

Tafel XXXIV.

Fig. 1. *Productus Moelleri* Stuck. S. 613 (r. T., S. 262). Fl. Ai, 4 Werst unterhalb der Mündung des Jugus. Cora-Horizont.

Fig. 2. *Productus Koninckі* Verneuil. S. 629 (r. T., S. 291). Ventralklappe. Fl. Juresan, Sagadyk-Schidy. Cora-Horizont.

Fig. 3. *Productus Koninckі* Verneuil. S. 629 (r. T., S. 291). Dasselbe Exemplar, *a*, *b* mit der Bauchschale. *c* bei abgehobener Ventralklappe. Beim Dorfe Ust-Aiskaja. Cora-Horizont.

Fig. 4. *Productus longus* Meek. S. 637 (r. T., S. 305). Ventralklappe. Fl. Juresan, 2 Werst unterhalb des Dorfes Schamratowa. Cora-Kalk (s. Taf. XXVII, Fig. 2; Taf. XXXV, Fig. 2).

Fig. 5. *Productus fasciatus* Kut. S. 631 (r. T., S. 297). Ventralklappe. Fl. Juresan, $2^1/_2$ Werst unterhalb Syroj Kalmasch. Omphalotrochus-Horizont (s. Taf. XXXI, Fig. 7).

Fig. 6. *Productus fasciatus* Kut. S. 631 (r. T., S. 297). Original Kutorgas. Sterlitamak. Schwagerinen-Kalk.

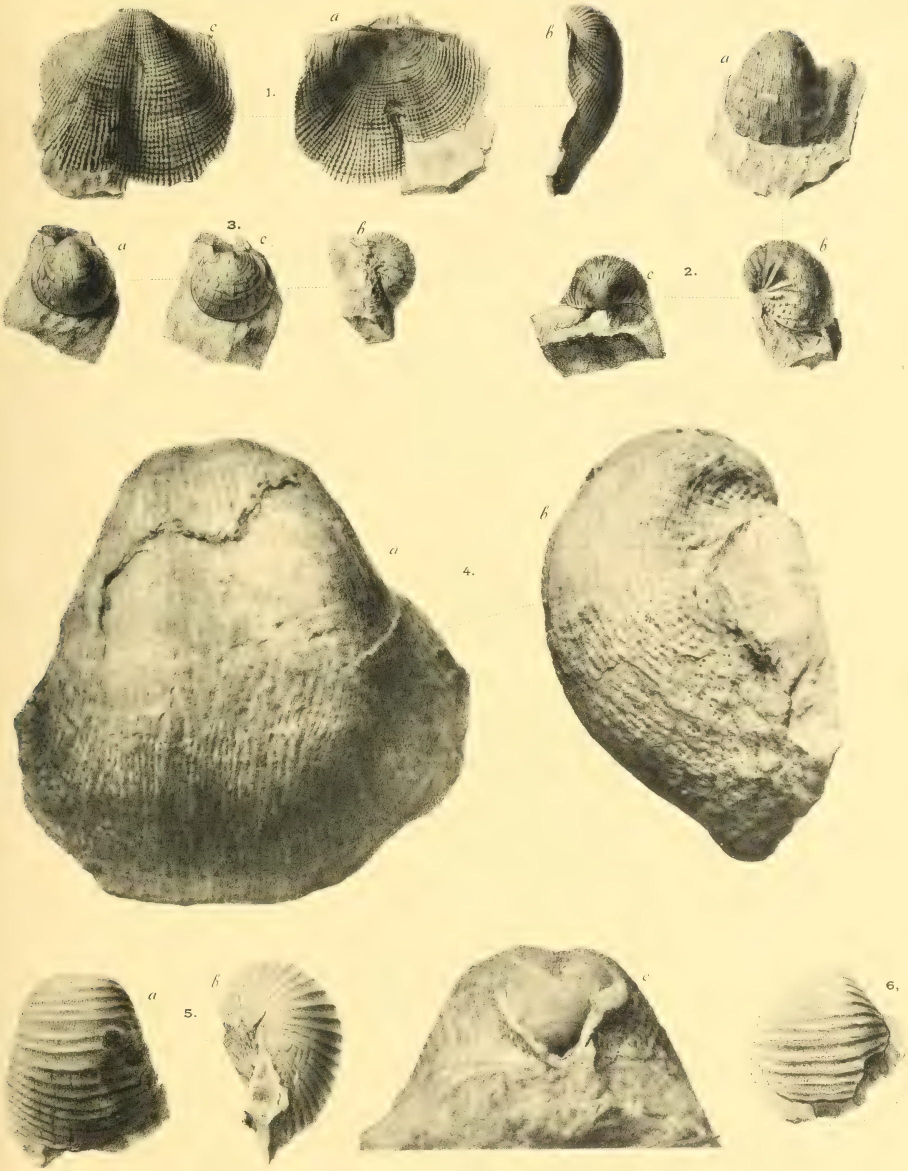

Фототипія В. Класенъ С. Петербургъ [illegible]
Приемн Н. Каминскій

Таблица XXXV.

Фиг. 1. *Productus Cora* d'Orbigny. Стр. 279. Внутреннее ядро брюшной створки, слѣпокъ котораго изображенъ на рис. 70, стр. 283 въ текстѣ. Р. Сула (47). Швагериновый горизонтъ (см. таб. XXXIII, фиг. 2—3 и таб. LIV, фиг. 1—5).

Фиг. 2. *Productus longus* Meek. Стр. 305. Спинная створка. Р. Юрезань, въ 2-хъ верстахъ ниже деревни Шамратовой. Коровый известнякъ (см. таб. XXVII, фиг. 2, таб. XXXIV, фиг. 4)

Фиг. 3. *Productus boliviensis* d'Orbigny Стр. 250. Брюшная створка. Р. Уфа, устье Седяша. Коровый горизонтъ (см. таб. XXXII, фиг. 5).

Фиг. 4—6. *Productus mammatus* Keys. Стр. 295. Фиг. 4, 6 — брюшныя створки; фиг. 5 — спинная створка. Изъ валуна по р. Печорѣ.

Фиг. 7. *Productus simensis* n. sp. Стр. 286. Брюшная створка. Гора Сикъ-Такты на Симу. Швагериновый известнякъ (см. таб. LV, фиг. 2—5).

Tafel XXXV.

Fig. 1. *Productus Cora* d'Orbigny. S. 621 (r. T., S. 279). Innerer Steinkern der Ventralklappe, deren Abguss die Textfig. 70 (S. 624) wiedergiebt. Fl. Sula (47). Schwagerinen-Horizont (s. Taf. XXXIII, Fig. 2—3; Taf. LIV, Fig. 1—5).

Fig. 2. *Productus longus* Meek. S. 637 (r. T., S. 305). Ventralklappe. Fl. Juresan, 2 Werst unterhalb des Dorfes Schamratowa. Cora-Kalk (s. Taf. XXVII. Fig. 2 und Taf. XXXIV, Fig. 4).

Fig 3. *Productus boliviensis* d'Orbigny. S. 607 (r. T., S. 250) Ventralklappe. Fl. Ufa, Mündung des Sedjasch. Cora-Horizont (s. Taf. XXXII, Fig. 5).

Fig. 4—6. *Productus mammatus* Keys. S. 631 (r. T., S. 295) Fig. 4 u. 6. Ventralklappen. Fig. 5. Dorsalklappe. Aus einem Steinblocke an der Petschora.

Fig. 7. *Productus simensis* n. sp. S. 626 (r. T., S. 286). Ventralklappe. Berg Sik-Takty am Sim. Schwagerinen-Kalk (s. Taf. LV, Fig. 2—5).

Фототипія В. Кедровъ С. Петербургъ, Кадетская лин. № 7-2
Проектъ В. Каминскій

Таблица XXXVI.

Фиг. 1—2. *Marginifera timanica* n. sp. Стр. 327. Брюшныя створки; фиг. 2*a*, *b*—брюшная створка съ внутренней стороны, изображенная въ увеличенномъ видѣ на рис. 84, стр. 327 текста. Печорская Пижма. Омфалотроховый горизонтъ.

Фиг. 3. *Marginifera timanica* n. sp. Стр. 327. *a*—видъ со спинной створки; *b*—боковой видъ. Дорога изъ Ташевой въ Базракову, оврагъ Яковли. Швагериновый известнякъ.

Фиг. 4—5. *Productus tenuistriatus* Vern. Стр. 288. Фиг. 4—брюшная створка; фиг. 5 *b*—тотъ же экземпляръ, что на 5*a*, но со снятой брюшной створкой. Казарменскій Камень на Симу. Швагериновый известнякъ (см. таб. LV, фиг. 6).

Фиг. 6 [1]). *Productus pseudomedusa* n. sp. Стр. 293. Фиг. 6 *c* — тотъ же экземпляръ, что и на фиг. 6 *a*, *b*, но со снятой брюшной створкой. Казарменскій Камень на Симу. Швагериновый известнякъ (см. таб. LII, фиг. 8—9).

Фиг. 7. *Marginifera involuta* n. sp. Стр. 321. Видъ съ брюшной створки; тотъ же экземпляръ со створки спинной на таб. LVIII, фиг. 5 и на рис. 82 въ текстѣ, стр. 322. P. Ай, ниже острова Мясникова. Коровый горизонтъ (см. таб. LVIII, фиг. 4—6).

[1]) Въ русскомъ текстѣ ошибочно указана фиг. 5.

Tafel XXXVI.

Fig. 1—2. *Marginifera timanica* n. sp. S. 650 (r. T., S. 327). Ventralklappe. Fig. 2*a*, *b*. Dieselbe Ventralklappe von der Innenseite, die die Textfig 84 (S. 651) in vergrössertem Maassstabe wiedergiebt. Petschorskaja Pishma. Omphalotrochus-Horizont.

Fig. 3. *Marginifera timanica* n. sp. S. 650 (r. T., S. 327). *a*—Ansicht von der Dorsalklappe, *b*—von der Seite. Weg von Taschewa nach Basrakowa, Schlucht Jakowli. Schwagerinen-Kalk.

Fig. 4—5. *Productus tenuistriatus* Vern. S. 628 (r. T., S. 288). Fig. 4. Ventralklappe. Fig. 5*b*. Das nämliche Exemplar, wie 5*a*, nach Entfernung der Bauchschale Kasarmenskij Kamen am Sim. Schwagerinen-Kalk (s. Taf. LV, Fig. 6).

Fig. 6. *Productus pseudomedusa* n. sp. S. 629 (r. T., S. 293). Fig. 6*c*. Das nämliche Exemplar, wie 6*a*, *b*, nach Entfernung der Ventralklappe. Kasarmenskij Kamen am Sim. Schwagerinen-Kalk (s. Taf. LII, Fig. 8—9).

Fig. 7. *Marginifera involuta* n. sp. S. 645 (r. T., S. 321). Ansicht von der Bauchklappe her. Das nämliche Exemplar, von der Dorsalklappe her gesehen, auf Taf. LVIII, Fig. 5 und Textfig. 82 (S. 646). Fl. Ai unterhalb der Mjasnikow-Insel Cora-Horizont (s. Taf. LVIII, Fig. 4—6).

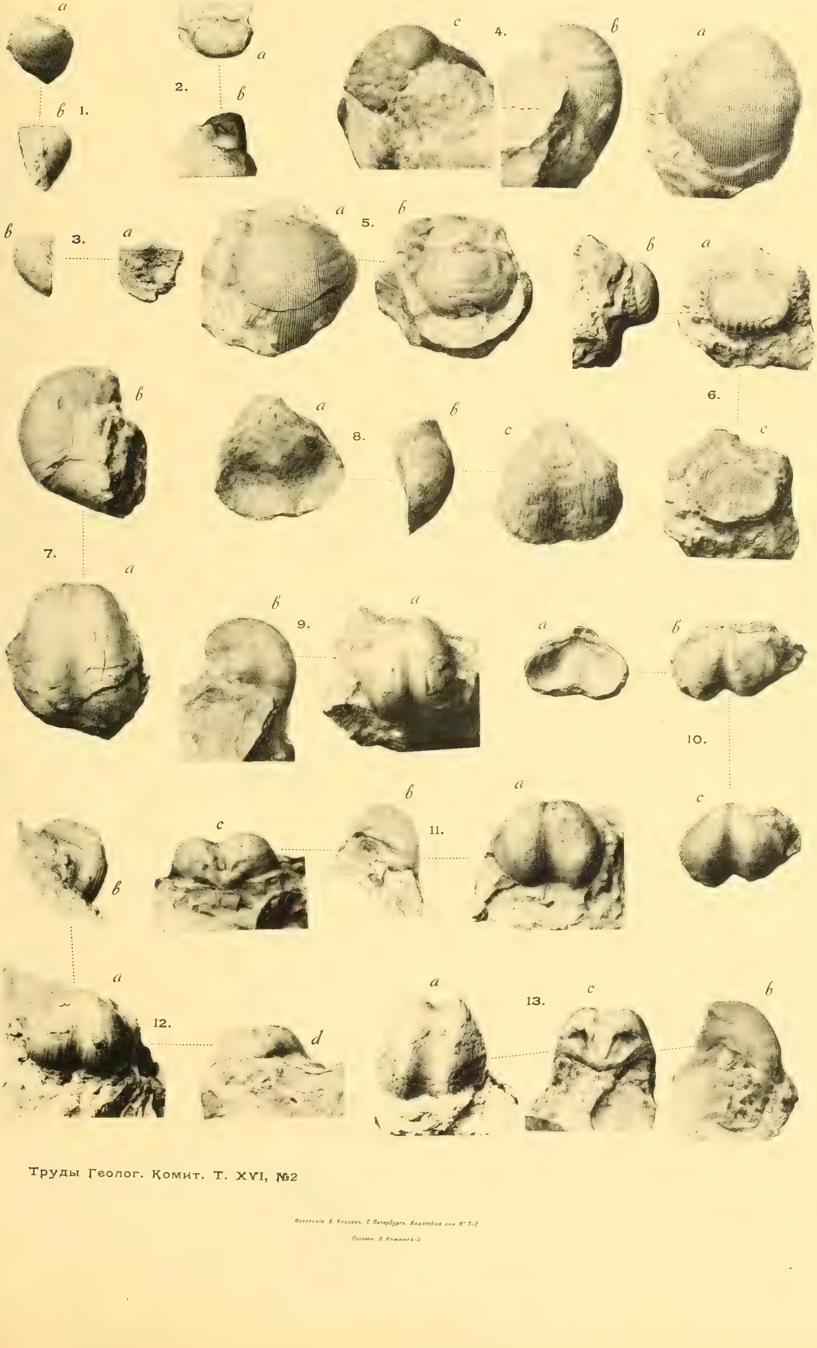

Фототипія В. Классонъ, С. Петербургъ. Кадетская лин. № 7-2.
Позитив. Н. Каминскій

Фиг. 8. *Aulosteges dalhousii* Davidson. Стр. 242. Около деревни Усть-Айской. Швагериновый известнякъ (см. таб. XXVII, фиг. 12).

Фиг. 9. *Marginifera involuta* n. sp. Стр. 321. Брюшная створка. Р. Сарва, устье Айли Кыдрыу. Коровый горизонтъ (см. таб. LVIII, фиг. 4—6).

Фиг. 10—11. *Marginifera typica* Waag. *var. septentrionalis* n. var. Стр. 322. Фиг. 10—ядро брюшной и спинной створки; *a* — видъ со спинной створки, представленный увеличеннымъ на рис. 83, стр. 324 въ текстѣ; *b* — внѣшняя поверхность спинной створки, обнаруживающаяся по снятіи частей раковины, изображенныхъ на фиг. 10 *a*; *c* — тотъ же экземпляръ съ брюшной створки. Фиг. 11—ядро брюшной створки, на которомъ видно расположеніе мускульныхъ впечатлѣній и характеръ зубчатыхъ гребней, отходящихъ по обѣ стороны макушки. Р. Уфа, въ $3^1/_2$ верст. ниже села Чандара. Швагериновый известнякъ (см. таб. LVIII, фиг. 13—16).

Фиг. 12. *Marginifera typica* Waag. *var. septentrionalis* n. var. Стр. 322. Брюшная створка. Р. Уфа, ниже устья Ченарташа. Швагериновый известнякъ (см. таб. LVIII, фиг. 13—16).

Фиг. 13. *Marginifera involuta* n. sp. Стр. 321. Тиманъ, р. Южная Мылва (224). Швагериновый известнякъ (см. таб. LVIII, фиг. 4—6).

Fig. 8. *Aulosteges dalhousii* Davidson. S. 602 (r. T., S. 242). Beim Dorfe Ust-Aiskaja. Schwagerinen-Kalk (s. Taf. XXVII, Fig. 12).

Fig. 9. *Marginifera involuta* n. sp. S. 645 (r. T., S. 321). Ventralklappe. Fluss Sarwa, Mündung des Aili Kydryu. Cora-Horizont (s. Taf. LVIII, Fig. 4—6).

Fig. 10—11. *Marginifera typica* Waag. var. *septentrionalis* n. var. S. 646 (r. T., S. 322). Fig. 10. Steinkern der Ventral- und der Dorsalklappe, *a* — von der Seite der Dorsalklappe gesehen (vergr. in Fig. 83, S. 648), *b* — äussere Oberfläche der Dorsalklappe nach Entfernung der in Fig. 10*a* dargestellten Schalentheile, *c* — dasselbe von der Seite der Bauchschale. Fig. 11. Steinkern der Ventralklappe, an dem die Lage der Muskeleindrücke und der Charakter der gezähnten Kämme sichtbar ist, die zu beiden Seiten vom Wirbel ausgehen. Fl. Ufa, $3^1/_2$ Werst unterhalb des Dorfes Tschandar. Schwagerinen-Kalk (s. Taf. LVIII. Fig. 13—16).

Fig. 12. *Marginifera typica* Waag. var. *septentrionalis* n. var. S. 646 (r. T., S. 322). Ventralklappe. Fl. Ufa, unterhalb der Mündung des Tschenartasch. Schwagerinen-Kalk (Taf. LVIII, Fig. 13—16)

Fig. 13. *Marginifera involuta* n. sp. S. 645 (r. T., S. 321). Timan, Fl. Jushnaja Mylwa (224). Schwagerinen-Kalk (s. Taf. LVIII, Fig. 4—6).

Таблица XXXVII.

Фиг. 1. *Spiriferina cristata* Schloth. Стр. 115. Казарменскій Камень на Симу. Швагериновый известнякъ.

Фиг. 2. *Spiriferina cristata* Schloth. Стр. 115. Гора Улу Тау на Симу. Швагериновый известнякъ.

Фиг. 3. *Spiriferina Panderi* Moell. Стр. 116. Гора Улу Тау на Симу. Швагериновый известнякъ.

Фиг. 4. *Spiriferina Panderi* Moell. Стр. 116. Оригиналъ Меллера. Саранинскій заводъ. Швагериновый известнякъ.

Фиг. 5. *Spiriferella artiensis* n. subg. n. sp. Стр. 129. Р. Уфа, выше пристани Нижн. Саранинскаго завода. Швагериновый известнякъ.

Фиг. 6. *Spiriferella artiensis* n. subg. n. sp. Брюшная створка: *a* — видъ съ area, *b* — съ внутренней стороны. Село Дуванное на Сылвѣ. Артинскія отложенія.

Фиг. 7. *Spiriferella artiensis* n. subg. n. sp. Продольный изломъ по срединной перегородкѣ. 4-й выселокъ Урмы на Сылвѣ. Артинскія отложенія.

Фиг. 8 — 9. *Spiriferina ornata* Waag. Стр. 113. Фиг. 8—спинная створка съ хорошо сохраненной скульптурой; фиг. 9 — экземпляръ съ обтертой макушкой брюшной створки. С. Тастуба. Швагериновый известнякъ (см. таб. XII, фиг. 8—10).

Tafel XXXVII.

Fig. 1. *Spiriferina cristata* Schloth. S. 517 (r. T., S. 115). Kasarmenskij Kamen am Sim Schwagerinen-Kalk.

Fig. 2. *Spiriferina cristata* Schloth. S. 517 (r. T., S. 115). Berg Ulu-Tau am Sim Schwagerinen-Kalk.

Fig. 3. *Spiriferina Panderi* Moeller. S. 517 (r. T., S. 116) Berg Ulu-Tau am Sim. Schwagerinen-Kalk.

Fig. 4. *Spiriferina Panderi* Moeller. S. 517 (r. T., S. 116). Moellers Original. Hüttenwerk Saraninskij. Schwagerinen-Kalk

Fig. 5. *Spiriferella artiensis* n. subg. n. sp. S. 529 (r. T., S. 129). Fl. Ufa oberhalb des Landungsplatzes des Hüttenwerks Saraninskij. Schwagerinen-Horizont.

Fig. 6. *Spiriferella artiensis* n. subg. n. sp. S. 529 (r. T., S. 129). Ventralklappe, *a* — Schlossansicht, *b* — von der Innenseite. Dorf Duwannoje. Artinsk-Ablagerungen.

Fig. 7. *Spiriferella artiensis* n. subg. n. sp. S. 529 (r. T., S. 129). Längsbruch nach dem Medianseptum. Bei Urma an der Sylwa. Artinsk-Ablagerungen.

Fig. 8 — 9. *Spiriferina ornata* Waag. S. 515 (r. T., S. 113). Fig. 8. Dorsalklappe mit wohl erhaltener Sculptur. Fig. 9. Exemplar mit abgeriebenem Wirbel an der Bauchklappe. D. Tastuba. Schwagerinen-Kalk (s. Taf. XII, Fig 8—10).

Фототипія В. Кожинъ, С. Петербургъ, Кадетская лин. № 7-2
Пресса Н. Коминскій

Фиг. 10. *Spiriferina ornata* Waag. Стр. 113. Спинная створка съ внутренней стороны. Аликаевъ Камень на р. Саранѣ. Швагериновый известнякъ (см. таб. XII, фиг. 8—10).

Фиг. 11. *Spiriferina ornata* Waag. Стр. 113. Изломъ по septum брюшной створки. С. Тастуба. Швагериновый известнякъ (см. таб. XII, фиг. 8—10).

Фиг. 12—13. *Spiriferina Holzapfeli* n. sp. Стр. 114. Фиг. 13—изломъ, обнаруживающій спиральныя поддержки. Гора Сикъ-Такты на Симу. Швагериновый горизонтъ.

Фиг. 14. *Spiriferina Holzapfeli* n. sp. Стр. 114. Брюшная створка. С. Тастуба. Швагериновый известнякъ.

Fig. 10. *Spiriferina ornata* Waag. S. 515 (r. T., S. 113). Dorsalklappe von der Innenseite. Alikajew Kamen an der Sarana. Schwagerinen-Kalk (s. Taf. XII. Fig. 8—10).

Fig. 11. *Spiriferina ornata* Waag. S. 515 (r. T., S. 113). Bruch längs dem Septum der Ventralklappe. D. Tastuba. Schwagerinen-Kalk (Taf. XII, Fig. 8—10).

Fig. 12—13. *Spiriferina Holzapfeli* n. sp. S. 515 (r. T., S. 114). Fig. 13. Bruch, der die Spiralstützen erkennen lässt. Berg Sik-Takty am Sim. Schwagerinen-Horizont.

Fig. 14. *Spiriferina Holzapfeli* n. sp. S. 515 (r. T., S. 114). Ventralklappe. D. Tastuba. Schwagerinen-Kalk.

Таблица XXXVIII.

Фиг. 1. *Spirifer condor* d'Orbigny. Стр. 141. Спинная створка. Р. Индига. Тиманъ. Швагериновый горизонтъ (см. таб. XII, фиг. 1—2).

Фиг. 2. *Spirifer condor* d'Orb. Стр. 141. Брюшная створка. Тиманъ, р. Индига (4). Швагериновый горизонтъ (см. таб. XII, фиг. 1—2).

Фиг. 3. *Spirifer fasciger* Keyserling. Стр. 141. Брюшная створка. Тиманъ, р. Индига (4). Швагериновый горизонтъ (см. XLIX, фиг. 1).

Фиг. 4. *Spirifer fasciger* Keyserling. Стр. 141. Брюшная створка. Тиманъ, р Волонга (19). Швагериновый горизонтъ (см. таб. XLIX, фиг. 1).

Фиг. 5. *Spirifer cameratus* Morton. Стр. 138. Брюшная створка, съ ребристостью нѣсколько болѣе тонкой и съ большей свернутостью раковины, чѣмъ у типичныхъ представителей. С. Тастуба. Швагериновый известнякъ (см. таб. V, фиг. 1—9, таб. VI, фиг. 8, таб. XI, фиг. 2 — 4, таб. XL, фиг. 5).

Фиг. 6—8. *Spirifer ufensis* n. sp. Стр. 165. Фиг. 8—изломъ брюшной створки по зубной пластинѣ. С. Тастуба Швагериновый известнякъ (см. таб. XIII, фиг. 5, таб. XV, фиг. 1, таб. XXXIX, фиг. 1—3).

Фиг. 9. *Spirifer uralicus* n. sp. Стр. 164. С. Тастуба. Швагериновый известнякъ (см. таб. XLIX, фиг. 4).

Tafel XXXVIII.

Fig. 1. *Spirifer condor* d'Orbigny. S. 531 (r. T., S. 141). Dorsalklappe. Fl. Indiga, Timan. Schwagerinen-Horizont (s. Taf. XII, Fig. 1—2).

Fig. 2. *Spirifer condor* d'Orbigny. S. 531 (r T., S. 141). Ventralklappe. Timan, Fl. Indiga (4). Schwagerinen-Horizont (s. Taf. XII, Fig. 1—2).

Fig. 3. *Spirifer fasciger* Keyserling. S. 532 (r. T., S 141). Ventralklappe. Timan, Fl. Indiga (4). Schwagerinen-Horizont (s. Taf. XLIX, Fig. 1).

Fig. 4. *Spirifer fasciger* Keyserling. S. 532 (r. T., S. 141). Ventralklappe. Timan, Fl. Wolonga (19). Schwagerinen-Horizont (s. Taf. XLIX, Fig. 1).

Fig. 5. *Spirifer cameratus* Morton. S. 531 (r. T., S. 138). Ventralklappe mit etwas feinerer Beripppung und etwas stärkerer Involution des Gehäuses, als bei den typischen Vertretern. D. Tastuba. Schwagerinen-Kalk (s. Taf. V, Fig. 1—9; Taf. VI, Fig. 8; Taf. XI, Fig. 2—4; Taf. XL, Fig. 5).

Fig. 6—8. *Spirifer ufensis* n. sp. S. 551 (r. T., S. 165). Fig. 8. Bruch der Ventralschale längs der Zahnplatte. D. Tastuba. Schwagerinen-Kalk (s. Taf. XIII, Fig. 5; Taf. XV, Fig. 1; Taf. XXXIX, Fig. 1—3).

Fig. 9. *Spirifer uralicus* n. sp. S. 549 (r. T., S. 164). D. Tastuba. Schwagerinen-Kalk (s. Taf. XLIX, Fig. 4).

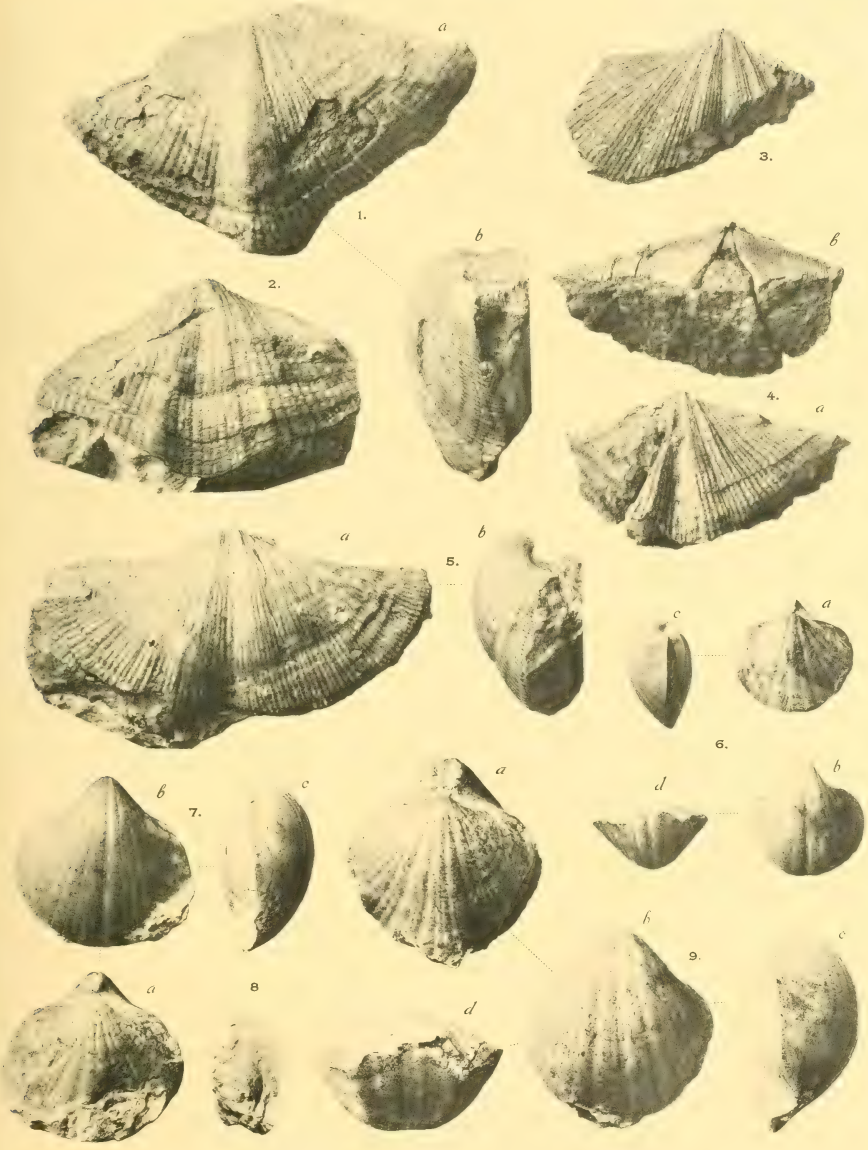

Фототипія Э. Копсонъ въ Петербургѣ Кадетская лин. № 7
Пресмъ Н. Каминскій

Таблица XXXIX.

Фиг. 1. *Spirifer ufensis* n. sp. Стр. 165. Брюшная створка. Гора Улькунды на Симу. Швагериновый известнякъ (см. ниже фиг. 2—3, таб. XIII. фиг. 5, таб. XV, фиг. 1, таб. XXXVIII, фиг. 6—8 и рис. 49 на стр. 166 въ текстѣ).

Фиг. 2. *Spirifer ufensis* n. sp. Стр. 165. Казарменскій Камень на Симу. Швагериновый известнякъ (см. фиг. 1 и 3, таб. XVI, фиг. 5, таб. XV, фиг. 1, таб. XXXVIII, фиг. 6—8 и рис. 49 на стр. 166 въ текстѣ).

Фиг. 3. *Spirifer ufensis* n. sp. Стр. 165. Брюшная створка. Оригиналъ Мелера (*Sp. integricosta*). Окрестности Стерлитамака. Швагериновый известнякъ (см. выше фиг. 1, 2, таб. XIII, фиг. 5, таб. XV, фиг. 1, таб. XXXVIII, фиг. 6—8 и рис. 49 на стр. 166 въ текстѣ).

Фиг. 4. *Spirifer Sokolovi* n. sp. Стр. 166. Боковой видъ, на которомъ изображены выполняющія внутренность раковины спиральныя поддерки. Казарменскій Камень на Симу. Швагериновый известнякъ (см. таб. VIII, фиг. 3).

Tafel XXXIX.

Fig. 1. *Spirifer ufensis* n. sp. S. 551 (r. T., S. 165). Ventralklappe. Berg Ulkundy am Sim. Schwagerinen-Kalk (s. unten Fig. 2—3; Taf. XIII, Fig. 5; Taf. XV, Fig. 1; Taf. XXXVIII, Fig. 6—8 und Textfig. 49, S. 552).

Fig. 2. *Spirifer ufensis* n. sp. S. 551 (r. T., S. 165). Kasarmensky Kamen am Sim. Schwagerinen-Kalk (s. Fig. 1 u. 3; Taf. XIII, Fig. 5; Taf. XV, Fig. 1; Taf. XXXVIII, Fig. 6—8 und Textfig. 49, S. 552).

Fig. 3. *Spirifer ufensis* n. sp. S. 551 (r. T., S. 165). Ventralklappe. Das Original Moellers (*Sp. integricosta*). Umgegend von Sterlitamak. Schwagerinen-Kalk (s. Fig. 1 u. 2; Taf. XIII, Fig. 5; Taf. XV, Fig. 1; Taf. XXXVIII, Fig. 6—8 und Textfig. 49, S. 552).

Fig. 4. *Spirifer Sokolovi* n. sp. S. 552 (r. T., S. 166). Seitenansicht mit den das Innere des Gehäuses ausfüllenden Spiralstützen. Kasarmensky Kamen am Sim. Schwagerinen-Horizont (s. Taf. VIII, Fig 3).

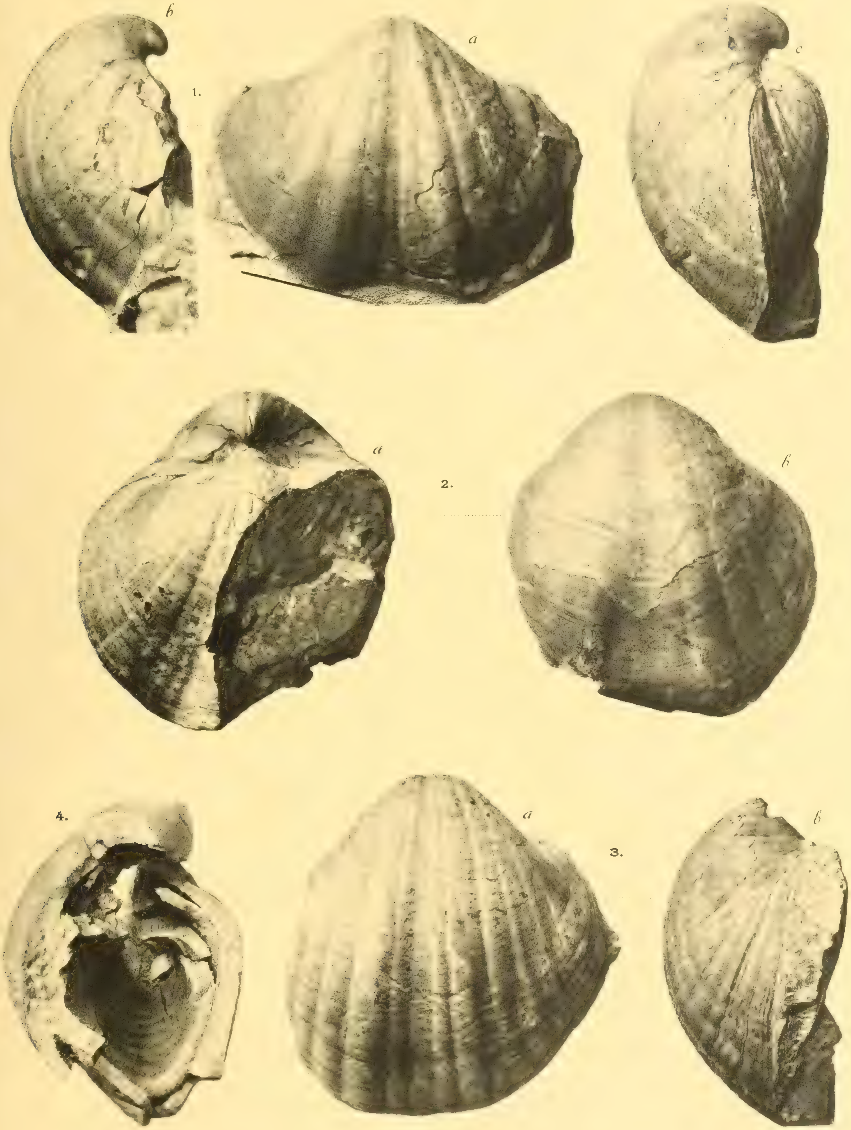

Фототипія [illegible] С. Петербургъ. Кадетская лин. № 7-2
[illegible] Н. Каминскій.

Таблица XL.

Фиг. 1. *Spiriferella Keilhavii* Buch. Стр. 126. Брюшная створка. Саранинскъ. Швагериновый горизонтъ (см. ниже фиг. 2—4).

Фиг. 2—4. *Spiriferella Keilhavii* Buch. стр. 126. Фиг. 2 — продольный изломъ по septum брюшной створки; фиг. 3 — брюшная створка съ внутренней стороны; фиг. 4 — скульптура, сильно увеличенная. Нижне-Иргинскій заводъ. Швагериновый горизонтъ (см. выше фиг. 1).

Фиг. 5. *Spirifer striatus* Sow. Стр. 137. Часть спинной створки снята и обнаружены спирали. Казармепскій Камень на Симу. Швагериновый известнякъ.

Фиг. 6. *Spirifer cameratus* Morton. Стр. 138. Гуттаперчевый оттискъ съ экземпляра, изображеннаго на таб. VI, фиг. 8. На оттискѣ, соотвѣтствующемъ внутренней поверхности брюшной створки, прекрасно видно расположеніе мышечныхъ впечатлѣній и зубныхъ пластинъ. Д. Шубина на Ирени (см. также таб. V, фиг. 1—9, таб. XI, фиг. 2—4, таб. XXXVIII, фиг. 5).

Фиг. 7. *Spiriferella saranae* Vern. Стр. 121. Спинная створка. Р. Щучья, притокъ Сулы (55). Швагериновый горизонтъ (см. таб. XII, фиг. 4 и рис. 41—46 въ текстѣ на стр. 123—125).

Фиг. 8. *Spiriferina expansa* n. sp. Стр. 118. Брюшная створка съ прекрасно сохраненной скульптурой. С. Тастуба. Швагериновый известнякъ (см. таб. XII, фиг. 11, таб. XIV, фиг. 6—7).

Фиг. 9. *Martinia uralica* var. *longa* n. sp. n. var. Стр. 185. Гора Улу Тау на Симу. Швагериновый известнякъ (см. таб. XVIII, фиг. 5).

Tafel XL.

Fig. 1. *Spiriferella Keilhavii* Buch. S. 527 (r. T., S. 126). Bauchklappe. Saraninsk. Schwagerinen-Horizont (s unten Fig. 2—4).

Fig. 2—4. *Spiriferella Keilhavii* Buch. S. 527 (r. T., S. 126). Fig. 2. Longitudinalbruch längs dem Septum der Ventralklappe. Fig. 3. Die Ventralklappe von Innen. Fig. 4. Die Sculptur, stark vergrössert. Hüttenwerk Nishne-Irginsk. Schwagerinen-Horizont (s. oben, Fig. 1).

Fig. 5. *Spirifer striatus* Sow. S. 531 (r. T., S. 137). Ein Theil der Dorsalklappe ist abgelöst, um die Spiralen zu zeigen. Kasarmensky Kamen am Sim. Schwagerinen-Kalk.

Fig. 6. *Spirifer cameratus* Morton. S. 531 (r. T., S. 138). Guttapercha-Abguss von dem auf Taf. VI, Fig. 8 dargestellten Exemplare. Innere Oberfläche der Ventralklappe, an der die Vertheilung der Muskeleindrücke und der Zahnleisten sehr schön sichtbar ist. D. Schubina an der Iren (s. auch Taf. V, Fig. 1—9; Taf. XI, Fig. 2—4; Taf. XXXVIII, Fig. 5).

Fig. 7. *Spiriferella saranae* Vern. S. 522 (r. T., S. 121). Dorsalklappe. Fl. Stschutschja, Zufl. d. Sula (55). Schwagerinen-Horizont (s. Taf. XII, Fig. 4 u. Textfig. 41—46, S. 524—525).

Fig. 8. *Spiriferina expansa* n. sp. S. 518 (r. T., S. 118). Ventralklappe mit vorzüglich erhaltener Sculptur. D. Tastuba. Schwagerinen-Kalk (s. Taf. XII, Fig. 11 u. Taf. XIV, Fig. 6—7).

Fig. 9. *Martinia uralica* var. *longa* n. sp. n. var. S. 567 (r. T., S. 185). Berg Ulu Tau am Sim. Schwagerinen-Kalk (s. Taf. XVIII, Fig. 5).

Фототипія В. Класенъ С. Петербургъ, Кадетская лин. № 7-2.
Преемн. Н. Каминскій.

Таблица XLI.

Фиг. 1 — 3. *Spirifer rectangulus* Kut. Стр. 158. Село Тастуба. Швагериновый известнякъ (см. ниже фиг. 4, 5 и таб. VIII, фиг. 1).

Фиг. 4. *Spirifer rectangulus* Kut. Стр. 158. На фиг. 4*a* спинная створка снята и обнаружены спиральныя поддержки. Казарменскій Камень на Симу. Швагериновый известнякъ (см. фиг. 1—3, 5 и табл. VIII, фиг. 1).

Фиг. 5. *Spirifer rectangulus* Kut. Стр. 158. Село Тастуба. Швагериновый известнякъ (см. выше фиг. 1—4 и таб. VIII, фиг. 1).

Tafel XLI.

Fig. 1—3. *Spirifer rectangulus* Kut. S. 545 (r. T., S. 158). Dorf Tastuba. Schwagerinen-Kalk (s. unten Fig. 4 u. 5 u. Taf. VIII, Fig. 1).

Fig. 4. *Spirifer rectangulus* Kut. S. 545 (r. T., S. 158). Fig. 4*a*. Die Dorsalklappe ist abgelöst und die Spiralstützen freigelegt. Kasarmensky Kamen am Sim. Schwagerinen-Kalk (s. Fig. 1—3 u. 5 und Taf. VIII, Fig. 1).

Fig. 5. *Spirifer rectangulus* Kut. S. 545 (r. T. S. 158). D. Tastuba. Schwagerinen-Kalk (s. oben Fig. 1—4 und Taf. VIII, Fig. 1).

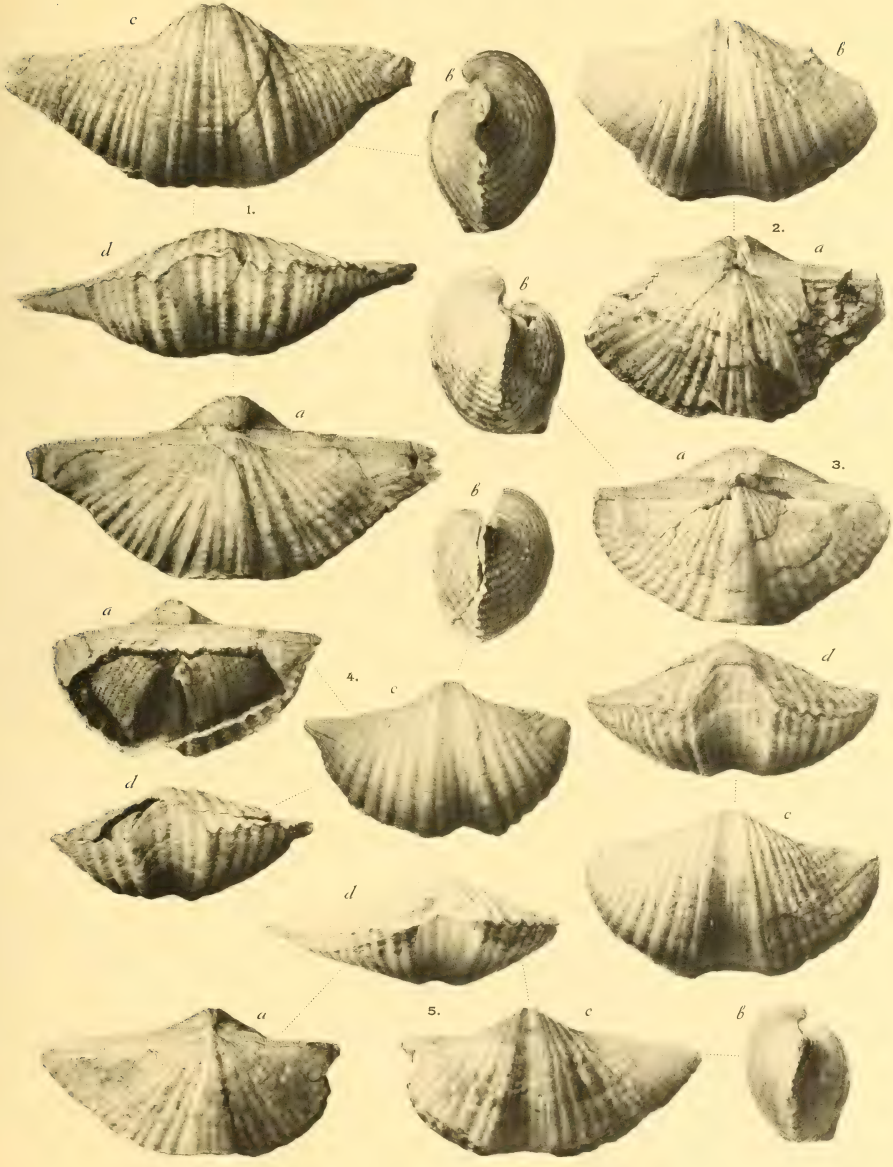

Фототипія В. Клясенъ С. Петербургъ, Лиговская ул. № 7-2
Пресмы Н. Каминскій

Таблица XLII.

Фиг. 1. *Hemiptychina orientalis* n. sp. Стр. 41. Село Тастуба. Швагериновый горизонтъ (см. таб. II, фиг. 7).

Фиг. 2. *Hemiptychina orientalis* n. sp. Стр. 41. Гора Тура-Тау подлѣ Стерлитамака. Швагериновый известнякъ (см. таб. II, фиг. 7).

Фиг. 3. *Hemiptychina orientalis* n. sp. Стр. 41. Казарменскій Камень на Симу. Швагериновый известнякъ (см. таб. II, фиг. 7).

Фиг. 4. *Hemiptychina orientalis* n. sp. Стр. 41. Спинная створка частью сошлифована и отпрепарированъ брахидіумъ. Село Тастуба. Швагериновый горизонтъ (см. выше таб. II, фиг. 7).

Фиг. 5. *Hemiptychina cf. sublaevi* Waag. Стр. 40. Около деревни Базраковой на Юрезани. Швагериновый известнякъ.

Фиг. 6 — 7. *Notothyris uralica* n. sp. Стр. 48. Фиг. 7 — экземпляръ съ пришлифованной спинной створкой. Гора Тура-Тау подлѣ Стерлитамака. Швагериновый известнякъ.

Фиг. 8. *Notothyris nucleolus* Kut. Стр. 44. Село Тастуба. Швагериновый известнякъ.

Фиг. 9. *Notothyris nucleolus* Kut. Стр. 44. Оригиналъ Куторги. Окрестности Стерлитамака. Швагериновый известнякъ.

Tafel XLII.

Fig. 1. *Hemiptychina orientalis* n. sp. S. 460 (r. T., S. 41). D. Tastuba. Schwagerinen-Horizont (s. Taf. II, Fig. 7).

Fig. 2. *Hemiptychina orientalis* n. sp. S. 460 (r. T., S. 41). Berg Tura Tau bei Sterlitamak. Schwagerinen-Kalk (s. Taf. II, Fig. 7).

Fig. 3. *Hemiptychina orientalis* n. sp. S. 460 (r. T., S. 41). Kasarmenskij Kamen am Sim. Schwagerinen-Kalk (s. Taf. II, Fig. 7).

Fig. 4. *Hemiptychina orientalis* n. sp. S. 460 (r. T., S. 41). Dorsalklappe zum Theil weggeschliffen und das Brachidium herauspræparirt. D. Tastuba. Schwagerinen-Horizont (s. Taf. II, Fig. 7).

Fig. 5. *Hemiptychina* cf. *sublaevi* Waag S. 460 (r. T, S. 40). Beim Dorfe Basrakowa am Juresan. Schwagerinen-Kalk.

Fig. 6—7. *Notothyris uralica* n sp. S. 467 (r. T., S. 48). Fig. 7. Exemplar mit angeschliffener Dorsalklappe. Berg Tura Tau bei Sterlitamak. Schwagerinen-Kalk.

Fig. 8. *Notothyris nucleolus* Kut. S. 464 (r. T., S. 44). D. Tastuba. Schwagerinen-Kalk.

Fig. 9. *Notothyris nucleolus* Kut. S. 464 (r. T., S. 44). Das Original Kutorgas. Umgegend von Sterlitamak. Schwagerinen Kalk.

Фиг. 10—13. *Notothyris nucleolus* Kut. Стр. 44. Село Тастуба. Швагериновый известнякъ.

Фиг. 14 — 15. *Keyserlingina Schellwieni* n. gen. n. sp. Стр. 56. Фиг. 14— экземпляръ, съ частью сохранившейся раковиной. Гора Тура-Тау близъ Стерлитамака. Швагериновый известнякъ.

Фиг. 16—17. *Keyserlingina filicis* Keys. Стр. 56. Фиг. 17—оригиналъ Кейзерлинга и Меллера. Гора Тура-Тау подлѣ Стерлитамака. Швагериновый известнякъ.

Fig. 10—13. *Notothyris nucleolus* Kut. S. 464 (r. T. S. 44). D. Tastuba. Schwagerinen-Kalk.

Fig. 14—15. *Keyserlingina Schellwieni* n. gen. n. sp. S. 475 (r. T., S. 56). Fig. 14. Exemplar mit theilweise erhaltener Schale. Berg Tura Tau bei Sterlitamak. Schwagerinen-Kalk.

Fig. 16—17. *Keyserlingina filicis* Keys. S. 474 (r. T.. S. 56). Fig. 17. Original Keyserlings und Moellers. Berg Tura Tau bei Sterlitamak. Schwagerinen-Kalk.

Таблица XLIII.

Фиг. 1 — 3. *Athyris Gerardi* Diener. Стр. 105. Село Тастуба. Швагериновый известнякъ.

Фиг. 4. *Athyris pectinifera* Sow. Стр. 102. Фиг. *c*—видъ съ брюшной створки, въ большей части не сохранившейся; на вывѣтрѣломъ разрѣзѣ отчетливо выступаютъ спиральныя поддержки.

Фиг. 5. *Athyris pectinifera* Sow. Стр. 102. Мѣстами хорошо сохраненныя продолженія знаковъ наростанія въ видѣ бахромы. Видъ со спинной створки. Р. Ай, въ 4-хъ верст. ниже устья Югуза. Коровый горизонтъ.

Фиг. 6. *Athyris pectinifera* Sow. Стр. 102. Р. Юрезань, въ 2-хъ верстахъ ниже деревни Шамратовой. Омфалотроховый горизонтъ.

Фиг. 7. *Athyris planosulcata* Phill. Стр. 105. Юрезань, противъ устья Атафа. Омфалотроховый горизонтъ.

Фиг. 8. *Athyris planosulcata* Phill. Стр. 105. Р. Уфа, урочище „Коянъ". Коровый горизонтъ.

Фиг. 9. *Athyris planosulcata* Phill. Стр. 105. Казарменскій Камень на Симу. Швагериновый известнякъ.

Фиг. 10. *Athyris planosulcata* Phill. Стр. 105. Экземпляръ съ легкой продольной вдавленностью на обѣихъ створкахъ. Гора Шаки-Тау подлѣ Стерлитамака. Швагериновый известнякъ.

Tafel XLIII.

Fig. 1—3. *Athyris Gerardi* Dien. S. 512 (r. T., S. 105). Dorf Tastuba. Schwagerinen-Kalk.

Fig. 4. *Athyris pectinifera* Sow. S. 511 (r. T., S. 102). Fig. 4*c*. Von der Seite der Ventralklappe gesehen, die grössten Theils nicht erhalten ist. An der verwitterten Bruchfläche treten die Spiralstützen deutlich hervor.

Fig. 5. *Athyris pectinifera* Sow. S. 511 (r T., S. 102). Stellenweise wohlerhaltene Fortsätze der Zuwachsstreifen in Gestalt einer Frange. Ansicht von der Dorsalseite. Fl. Ai, 4 Werst unterhalb der Mündung des Jugus. Cora-Horizont.

Fig. 6. *Athyris pectinifera* Sow. S. 511 (r. T.. S. 102). Fl. Juresan, 2 Werst unterhalb der Dorfes Schamratowa. Omphalotrochus-Horizont.

Fig. 7. *Athyris planosulcata* Phill. S. 512 (r. T., S. 105). Fl. Juresan, gegenüber der Mündung des Ataf. Omphalotrochus-Horizont.

Fig. 8. *Athyris planosulcata* Phill. S. 512 (r , T., S. 105). Fl. Ufa, Kojan. Cora-Horizont.

Fig. 9. *Athyris planosulcata* Phill. S. 512 (r. T., S. 105). Kasarmenskij Kamen am Sim. Schwagerinen-Horizont.

Fig. 10. *Athyris planosulcata* Phill. S. 512 (r. T., S. 105). Exemplar mit leichtem Längseindruck an beiden Schalen. Berg Schaki Tau bei Sterlitamak. Schwagerinen-Kalk.

1.
2.
3.
4.
5.
6.
7.
8.
9.
10.
11.
12.
13.
14.
15.
16.

Фиг. 11. *Athyris Royssiana* Keyserl. Стр. 103. Р. Уфа, противъ дер. Аяза. Коровый горизонтъ.

Фиг. 12. *Athyris Royssiana* Keyserl. Стр. 103. Брюшная створка снята и обнаружены спиральныя поддержки. Р. Уфа, ниже ключа „Дречандулъ". Коровый горизонтъ.

Фиг. 13—14. *Martinia Gemmellaroi* n. sp. Стр. 189. Село Тастуба. Швагериновый известнякъ.

Фиг. 15. *Aulacothyris trochilus* Eichw. Стр. 51. Казарменскій Камень на Симу. Швагериновый известнякъ.

Фиг. 16. *Aulacothyris trochilus* Eichw. Стр. 51. Гора Шаки-Тау подлѣ Стерлитамака. Швагериновый известнякъ.

Fig. 11. *Athyris Royssiana* Keys. S. 511 (r. T., S. 103). Fl. Ufa, gegenüber dem Dorfe Ajas. Cora-Horizont.

Fig. 12. *Athyris Royssiana* Keys. S. 511 (r. T., S. 103). Durch Ablösung der Ventralklappe sind die Spiralstützen freigelegt. Fl. Ufa unterhalb der Quelle Dretschangul. Cora-Horizont.

Fig. 13—14. *Martinia Gemmellaroi* n. sp. S. 571 (r. T, S. 189). Dorf Tastuba. Schwagerinen-Kalk.

Fig. 15. *Aulacothyris trochilus* Eichw. S. 470 (r. T., S. 51). Kasarmenskij Kamen am Sim. Schwagerinen-Horizont.

Fig. 16 *Aulacothyris trochilus* Eichw. S. 470 (r. T., S. 51). Berg Schaki-Tau bei Sterlitamak. Schwagerinen-Kalk.

Таблица XLIV.

Фиг. 1. *Rhynchonella Hofmanni* Krotow. Стр. 60. Р. Уфа, ниже дер. Хорошаевой. Швагериновый горизонтъ.

Фиг. 2. *Rhynchonella Hofmanni* Krotow. Стр. 60. Р. Юрезань, подлѣ дер. Базраковой. Швагериновый известнякъ.

Фиг. 3—5. *Uncinulus Wangenheimi* Pand. Стр. 72. Гора Тура-Тау подлѣ Стерлитамака. Швагериновый известнякъ (см. таб. XLVI, фиг. 15—17, таб. L, фиг. 11).

Фиг. 6. *Camarophoria isorhyncha* M'Coy, Стр. 89. Тиманъ, ворота Малой Щелихи. Коровый горизонтъ.

Фиг. 7. *Pugnax* sp. Стр 68. Подлѣ станціи Аши Самаро-Златоустовской жел. дороги. Швагериновый известнякъ.

Фиг. 8. *Pugnax Kayseri* n. sp. Стр. 71. Село Тастуба. Швагериновый известнякъ.

Фиг. 9—10. *Pugnax Keyserlingi* Moell. Стр. 70. Фиг. 9*e* и 10*e* въ натуральную величину, остальныя увеличены. Гора Сикъ-Такты на Симу. Швагериновый известнякъ (см. таб. XXI, фиг. 18).

Фиг. 11—12. *Aulacothyris uralica* Krotow. Стр. 50. Фиг. 11—ядро, обнаруживающее развитыя зубныя пластины брюшной створки и массивную перегородку створки спинной; фиг. 12 — отпечатокъ съ того же ядра: вверху зубныя пластины, а книзу отъ замочнаго края перегородка спинной створки. Р. Сылва около Частыхъ. Швагериновый известнякъ (см. таб. II, фиг. 10—12).

Фиг. 13. *Hemiptychina aff. pygmaeae* Gemm. Стр. 42. Р. Яманъ-елга, притокъ Уфы. Швагериновый горизонтъ.

Tafel XLIV.

Fig. 1. *Rhynchonella Hofmanni* Krot. S. 477 (r. T., S. 60). Fl. Ufa, unterhalb des Dorfes Choroschajewa. Schwagerinen-Horizont.

Fig. 2. *Rhynchonella Hofmanni* Krot. S. 475 (r. T., S. 60). Fl. Juresan, beim D. Basrakowa. Schwagerinen-Kalk.

Fig. 3—5. *Uncinulus Wangenheimi* Pand. S. 487 (r. T., S. 72). Berg Tura Tau bei Sterlitamak. Schwagerinen-Kalk (s. Taf. XLVI, Fig. 15—17; Taf. L, Fig. 11).

Fig. 6. *Camarophoria isorhyncha* M'Coy. S. 499 (r. T., S. 89). Timan, Thor der Kleinen Stschelicha. Cora-Horizont.

Fig. 7. *Pugnax* sp. S. 484 (r. T., S. 68). Bei der Station Ascha der Eisenbahn Samara-Slatoust. Schwagerinen-Kalk.

Fig. 8. *Pugnax Kayseri* n. sp. S. 486 (r. T., S. 71). D. Tastuba. Schwagerinen-Kalk.

Fig. 9—10. *Pugnax Keyserlingi* Moell. S. 485 (r. T., S. 70). Fig. 9*e* und 10*e* in natürlicher Grösse, die übrigen vergrössert. Berg Sik Takty am Sim. Schwagerinen-Kalk (s. Taf. XXI, Fig. 18).

Fig. 11—12. *Aulacothyris uralica* Krot. S. 469 (r. T., S. 50). Fig. 11. Steinkern mit den wohlentwickelten Zahnplatten der Ventralklappe und und dem massiven Septum der dorsalen. Fig. 12. Abguss vom selben Steinkerne: oben die Zahnplatten, unterhalb des Schlossrandes das Septum der Dorsalklappe. Fl. Sylwa bei Tschastych. Schwagerinen-Kalk (s. Taf. II, Fig. 10—12).

Fig. 13. *Hemipthychina* aff. *pygmaeae* Gemm. S. 461 (r. T. S. 42). Fl. Jaman-jelga, Zufl. d. Ufa. Schwagerinen-Horizont.

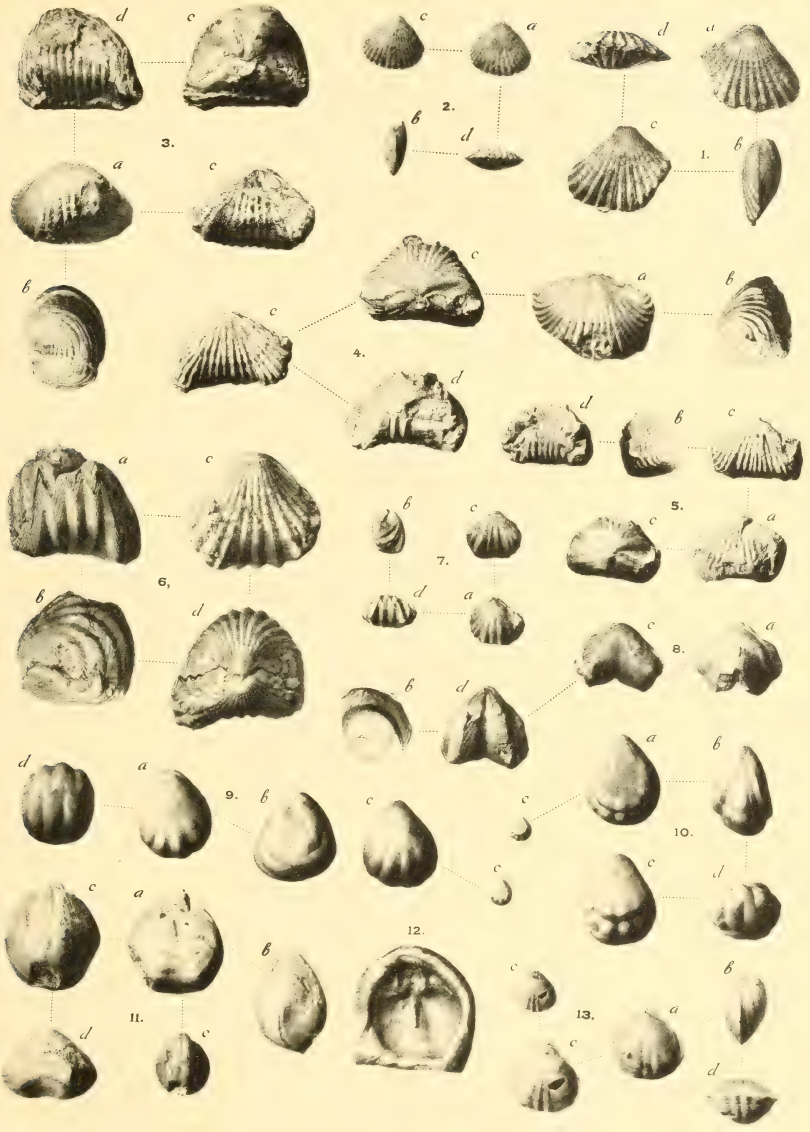

Фототипія В. Власова С. Петербургъ Кадетская лин. № 7-2
Печатн. Н. Каминскій

Таблица XLV.

Фиг. 1—12. *Camaraphoria mutabilis* n. sp. Стр. 81. Экземпляры различнаго возраста, иллюстрирующіе характеръ появленія складчатости на обѣихъ створкахъ. Село Тастуба. Швагериновый известнякъ (см. таб. XXII, фиг. 18, таб. XXIII, фиг. 10, таб. XLVI, фиг. 14).

Фиг. 13—14. *Camarophoria mutabilis* n. sp. Стр. 81. Нѣсколько увелич. Казарменскій камень на Симу. Швагериновый известнякъ (см. таб. XXII, фиг. 18, таб. XXIII, фиг. 10, таб. XLVI, фиг. 14).

Фиг. 15. *Camarophoria mutabilis* n. sp. Стр. 81. Нѣсколько увелич. Село Тастуба. Швагериновый известнякъ (см. таб. XXII, фиг. 18, таб. XXIII, фиг. 10, таб. XLVI, фиг. 14).

Tafel XLV.

Fig. 1—12. *Camarophoria mutabilis* n. sp. S. 491 (r. T., S. 81). Exemplare von verschiedenem Alter zur Illustration des Auftauchens der Faltung an beiden Schalen. Dorf Tastuba. Schwagerinen-Kalk (s. Taf. XXII, Fig. 18; Taf. XXIII, Fig. 10; Taf. XLVI, Fig. 14).

Fig. 13—14. *Camarophoria mutabilis* n. sp. S. 491 (r. T., S. 81). Etwas vergrössert. Kasarmenskij Kamen am Sim. Schwagerinen Kalk (s. Taf. XXII, Fig. 18; Taf. XXIII, Fig. 10; Taf. XLVI, Fig. 14).

Fig. 15. *Camarophoria mutabilis* n. sp. S. 491 (r. T., S. 81) Etwas vergrössert. D. Tastuba. Schwagerinen-Kalk (s. Taf. XXII, Fig. 18; Taf. XXIII, Fig. 10; Taf. XLVI, Fig. 14).

Фототипія В. Клосенъ С. Петербургъ Кадетская лин. № 7-2
Пресмы Н. Каминскій

Таблица XLVI.

Фиг. 1. *Camarophoria applanata* n. sp. Стр. 87. Село Тастуба. Швагериновый известнякъ.

Фиг. 2—3. *Camarophoria globosa* n. sp. Стр. 84. Казарменскій камень на Симу. Швагериновый известнякъ.

Фиг. 4—6. *Camarophoria superstes* Vern. Стр. 94. Фиг. 4*e*, 5*e* и 6*e* въ натуральную величину, остальныя увелич. Р. Ай, въ $1^1/_2$ верстахъ ниже дер. Абдулиной. Швагериновый горизонтъ (см. таб. L, фиг. 14).

Фиг. 7—9. *Camarophoria Netschajevi* n. sp. Стр. 97. Фиг. 7*a* продольный изломъ въ натур. величину, 7*b* — увеличенный. Фиг. 8*e*, 9*e*—въ натуральную величину, остальныя увеличены. Ворота Малой Щелихи. Тиманъ. Швагериновый известнякъ.

Фиг. 10. *Terebratuloidea inflata* n. sp. Стр. 63. Р. Юрезань, въ 3-хъ верстахъ ниже дер. Базраковой. Швагериновый известнякъ.

Фиг. 11. *Rhynchopora* sp. Стр. 75. Фиг. *e* — въ натур. величину. Р. Юрезань у хутора Сафонова. Омфалотроховый горизонтъ.

Фиг. 12 — 13. *Camarophoria parvula* n. sp. Стр. 98. Фиг. 12*e* и 13*e*—въ натуральную величину, остальныя увеличены. Гора Сикъ-такты на Симу. Швагериновый горизонтъ.

Фиг. 14. *Camarophoria mutabilis* n. sp. Стр. 81. Наиболѣе крупный изъ имѣющихся экземпляровъ. Макушечная часть обломана. С. Тастуба. Швагериновый известнякъ (см. таб. XXII, фиг 18, таб. XXIII, фиг. 10, таб. XLV, фиг. 1—15).

Фиг. 15 — 17. *Uncinulus Wangenheimi* Pand. Стр. 72. Фиг. 17 — скульптура, сильно увеличенная. Деревня Базракова на Юрезани. Швагериновый известнякъ (см. таб. XLIV, фиг. 3—5, таб. L, фиг. 11).

Tafel XLVI.

Fig. 1. *Camarophoria applanata* n. sp. S. 497 (r. T., S. 87). D. Tastuba. Schwagerinen-Kalk.

Fig. 2—3. *Camarophoria globosa* n. sp S. 495 (r. T., S. 84). Kasarmenskij Kamen am Sim. Schwagerinen-Kalk.

Fig. 4—6. *Camarophoria superstes* Vern. S. 504 (r. T., S. 94). Fig. 4*e*, 5*e*, 6*e* in natürlicher Grösse, die übrigen vergrössert. Fl. Ai, $1^1/_2$ Werst unterhalb des Dorfes Abdulina. Schwagerinen-Horizont (s. Taf. L, Fig. 14).

Fig. 7—9. *Camarophoria Netschajewi* n. sp. S. 516 (r. T., S. 97). Fig. 7*a* Längsbruch in nat. Grösse, 7*b* vergrössert. Fig. 8*e*, 9*e* in natürlicher Grösse, die übrigen vergrössert. Thor der Kleinen Stschelicha. Timan. Schwagerinen-Kalk.

Fig. 10. *Terebratuloidea inflata* n. sp. S. 480 (r. T., S. 63). Fl. Juresan, 3 Werst unterhalb d. Dorfes Basrakowa. Schwagerinen Kalk.

Fig. 11. *Rhynchopora* sp. S. 488 (r. T., S. 75). Fig. 11*e* in natürlicher Grösse. Fl. Juresan beim Gütchen Safonows. Omphalotrochus-Horizont.

Fig. 12—13. *Camarophoria parvula* n. sp. S. 507 (r. T., S. 98). Fig. 12*e* u. 13*e* in natürlicher Grösse, die übrigen vergrössert. Berg Sik Takty am Sim. Schwagerinen-Horizont.

Fig. 14. *Camarophoria mutabilis* n. sp. S. 491 (r. T., S. 81). Das stattlichste von den vorhandenen Exemplaren. Die Umbonalpartie abgebrochen. Dorf Tastuba. Schwagerinen-Kalk (s. Taf. XXII, Fig. 18; Taf. XXIII, Fig. 10; Taf. XLV, Fig. 1—15).

Fig. 15—17. *Uncinulus Wangenheimi* Pand. S. 487 (r. T., S. 72). Fig. 17. Die Sculptur in starker Vergr. D. Basrakowa am Juresan. Schwagerinen-Kalk (s. Taf. XLIV, Fig. 3—5; Taf. L, Fig. 11).

Фототипія В. Класенъ С. Петербургъ. Кадетская лин. № 7-2
Преемн. Н. Каминскій

Таблица XLVII.

Фиг. 1—2. *Productus juresanensis* n. sp. Стр. 276. Брюшныя створки. Р. Юрезань, въ 3-хъ верстахъ ниже дер. Базраковой. Швагериновый известнякъ (см. таб. XXIX, фиг. 1, 2, таб. LIII, фиг. 4).

Фиг. 3—5. *Productus tuberculatus* Moell. Стр. 267. Фиг. 3, 4 — брюшныя створки; фиг. 5 —спинная створка. Фиг. 4—5—оригиналы Меллера. С. Тастуба (Ярославка). Швагериновый известнякъ (см. таб. LII, фиг. 7).

Фиг. 6—7. *Marginifera Clarkei* n. sp. Стр. 328. Фиг. 7 *c* — брюшная створка снята. С. Тастуба. Швагериновый известнякъ. (см. таб. LVIII, фиг. 1—3).

Фиг. 8. *Hustedia remota* Eichw. Стр. 107. Фиг. *e*—въ натуральную величину, остальныя увеличены. Гора Ксяканъ-Ташъ на Уфѣ. Швагериновый горизонтъ.

Фиг. 9. *Hustedia remota* Eichw. Стр. 107. Фиг. *e* — въ натуральную величину. Гремячій Ключъ, притокъ Сима. Швагериновый известнякъ.

Фиг. 10. *Hustedia remota* Eichw. Стр. 107. Фиг. *e*—въ натуральную величину. Гора Ксяканъ-Ташъ на р. Уфѣ. Швагериновый известнякъ.

Фиг. 11. *Hustedia remota* Eichw. Стр. 107. Экземпляръ, у котораго среднее ребро спинной створки развито нѣсколько слабѣе сосѣднихъ и на лобномъ краѣ представляется нѣсколько опущеннымъ сравнительно съ ребрами прилежащими. Село Златоустовское на Иргинѣ. Швагериновый известнякъ.

Фиг. 12. *Hustedia indica* Waag. Стр. 109. С. Златоустовское на Иргинѣ. Швагериновый известнякъ.

Tafel XLVII.

Fig. 1—2. *Productus juresanensis* n. sp. S. 620 (r. T., S. 276). Ventralklappe. Fl. Juresan, 3 Werst unterhalb des Dorfes Basrakowa. Schwagerinen-Kalk (s. Taf. XXIX, Fig. 12; Taf. LIII, Fig. 4).

Fig. 3—5. *Productus tuberculatus* Moell. S. 615 (r. T., S. 267). Fig. 3 u. 4. Ventralklappen. Fig. 5. Dorsalklappe. Fig. 4 u. 5. Originale Moellers. Dorf Tastuba (Jaroslawka). Schwagerinen-Kalk. (s. Taf. LII, Fig. 7).

Fig. 6—7. *Marginifera Clarkei* n. sp. S. 651 (r. T., S. 328). Fig. 7*c* mit abgelöster Bauchschale. Dorf Tastuba. Schwagerinen-Kalk. (s. Taf. LVIII, Fig. 1—3).

Fig. 8. *Hustedia remota* Eichw. S. 512 (r. T., S. 107). Fig. 8*e* in natürlicher Grösse, die übrigen vergrössert. Berg Ksjakan Tasch an der Ufa. Schwagerinen-Horizont.

Fig. 9. *Hustedia remota* Eichw. S. 512 (r. T., S. 107). Fig. 9*e* in natürlicher Grösse. Gremjatschij-Quelle, Zufl. d. Sim. Schwagerinen-Kalk.

Fig. 10. *Hustedia remota* Eichw. S. 512 (r. T., S. 108). Fig. 10*e* in natürlicher Grösse. Berg Ksjakan Tasch an der Ufa. Schwagerinen-Kalk.

Fig. 11. *Hustedia remota* Eichw. S. 512 (r. T., S. 107). Exemplar, an dem die Mittelrippe der Dorsalklappe etwas schwächer entwickelt ist, als die benachbarten, und am Stirnrande im Vergleiche mit den anderen etwas gesenkt. Dorf Slatoustowskoje an der Irgina Schwagerinen-Kalk.

Fig. 12. *Hustedia indica* Waag. S. 512 (r. T., S. 109). Dorf Slatoustowskoje an der Irgina. Schwagerinen-Kalk.

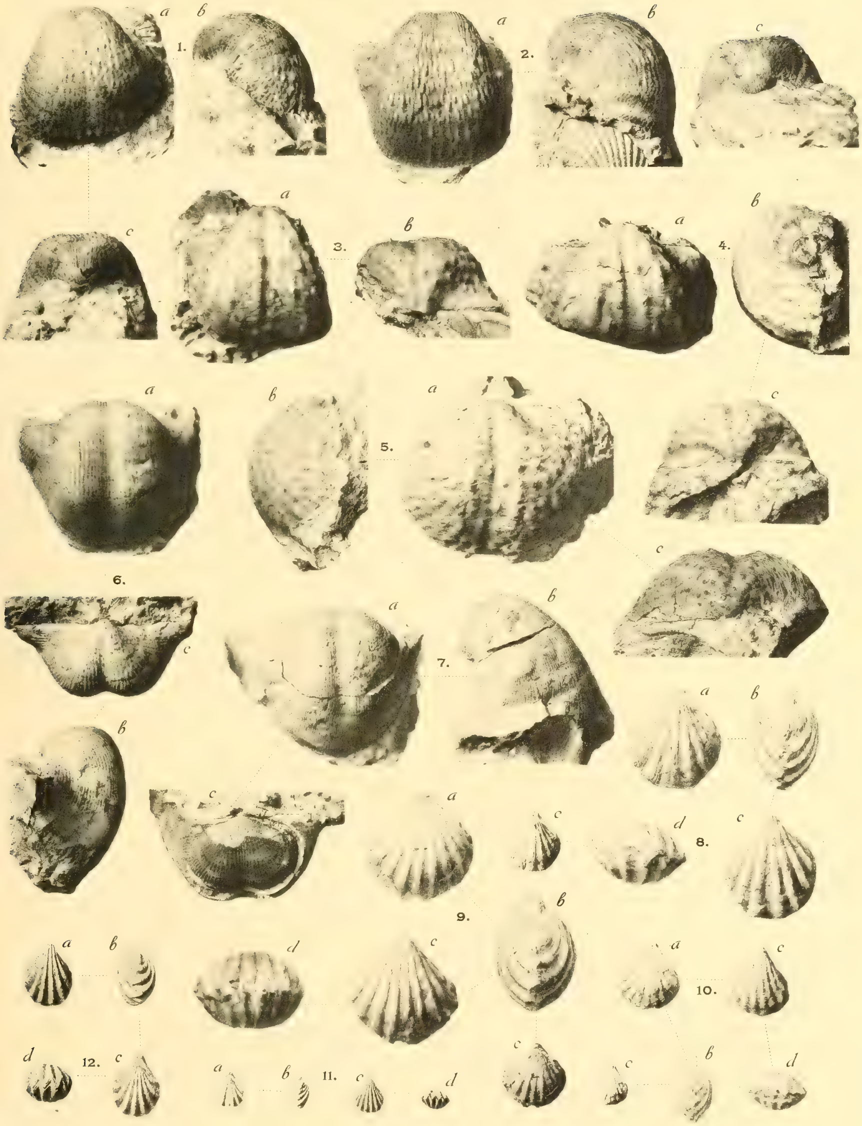

Фототипія В. Классенъ С. Петербургъ Кадетская лин. № 7-2
Преемн. Н. Каминскій.

Таблица XLVIII.

Фиг. 1—2. *Orthotichia Morgani* Derby. Стр. 227. Р. Юрезань, въ 3-хъ верстахъ ниже деревни Базраковой. Швагериновый известнякъ (см. таб. XXVI, фиг. 8—10).

Фиг. 3. *Orthotichia Morgani* Derby. Стр. 227. Ядро брюшной створки, съ сильно развитыми зубными пластинами и высокой срединной перегородкой. Изъ валуна, найденнаго по р. Колвѣ (см. таб. XXVI, фиг. 8—10).

Фиг. 4. *Productus lineatus* Waag. Стр. 284. Брюшная створка, охваченная на лобномъ и частью боковыхъ краяхъ вѣерообразнымъ шлейфомъ. Падунъ на р. Щучьей, впадающей въ р. Суму. Швагериновый горизонтъ.

Tafel XLVIII.

Fig. 1—2. *Orthotichia Morgani* Derby. S. 594 (r. T., S. 227). Fl. Juresan, 3 Werst unterhalb des Dorfes Basrakowa. Schwagerinen-Kalk (s. Taf. XXVI, Fig. 8—10.

Fig. 3. *Orthotichia Morgani* Derby. S. 594 (r. T., S. 227). Steinkern einer Bauchschale mit kräftig ausgebildeten Zahnplatten und hohem Medianseptum. Aus einem am Fl. Kolwa gefundenen Steinblocke (s. Taf. XXVI, Fig. 8—10)

Fig. 4. *Productus lineatus* Waag. S. 625 (r. T., S. 284). Ventralklappe an den Rändern von einer fächerförmigen Krause umsäumt. Padun am Fl. Stschutschja, Zufl. des Sim. Schwagerinen-Horizont.

Фототипія В. Ивановъ. С.-Петербургъ Кадетская лин. № 7-2
Пресмъ Н. Каминскій

Таблица XLIX.

Фиг. 1. *Spirifer fasciger* Keyserl. Стр. 141. Брюшная створка съ хорошо сохраненной скульптурой. Гора Тура-Тау подлѣ Стерлитамака. Швагериновый известнякъ (см. таб. XXXVIII, фиг. 3—4).

Фиг. 2. *Spirifer Ravana* Diener. Стр. 144. Р. Ай, въ $1^1/_2$ верстахъ ниже дер. Абдулиной. Швагериновый известнякъ.

Фиг. 3. *Spirifer Ravana* Diener. Стр. 144. Гора Улькунды на Симу. Швагериновый известнякъ.

Фиг. 4. *Spirifer uralicus* n. sp. Стр. 164. Село Тастуба. Швагериновый известнякъ (см. таб. XXXVIII, фиг. 9).

Фиг. 5. *Martiniopsis Lutugini* n. sp. Стр. 174. Гора Тура-Тау, подлѣ Стерлитамака. Швагериновый известнякъ (см. таб. XIX, фиг. 5).

Фиг. 6. *Reticularia sp. aff. Caroli* Gemm. Стр. 196. Брюшная створка. Казарменскій Камень на Симу. Швагериновый известнякъ.

Фиг. 7. *Ambocoelia planoconvexa* Shum. Стр. 196. Село Тастуба. Швагериновый известнякъ (см. таб. XX, фиг. 1).

Фиг. 8—9. *Ambocoelia aff. Urii* Flem. Стр. 197. Село Тастуба. Швагериновый известнякъ.

Tafel XLIX.

Fig. 1. *Spirifer fasciger* Keys. S. 532 (r. T., S. 141). Bauchklappe mit wohlerhaltener Sculptur. Berg Tura Tau bei Sterlitamak. Schwagerinen-Kalk (s. Taf. XXXVIII, Fig. 3—4).

Fig. 2. *Spirifer Ravana* Dien. S. 532 (r. T., S. 144). Fl. Ai, $1^1/_2$ Werst unterhalb des Dorfes Abdulina. Schwagerinen-Kalk.

Fig. 3. *Spirifer Ravana* Dien. S. 532 (r. T., S. 144). Berg Ulkundy am Sim. Schwagerinen-Kalk.

Fig. 4. *Spirifer uralicus* n. sp. S. 549 (r. T., S. 164). Dorf Tastuba. Schwagerinen-Kalk (s. Taf. XXXVIII, Fig. 9).

Fig. 5. *Martiniopsis Lutugini* n. sp. S. 560 (r. T., S. 174). Berg Tura Tau bei Sterlitamak. Schwagerinen-Kalk (s. Taf. XIX, Fig. 5).

Fig. 6. *Reticularia sp. aff. Caroli* Gemm. S. 575 (r. T., S. 196). Ventralklappe. Kasarmenskij Kamen am Sim. Schwagerinen-Kalk.

Fig. 7. *Ambocoelia planoconvexa* Shum. S. 575 (r. T., S. 196). Dorf Tastuba. Schwagerinen-Kalk (s. Taf. XX, Fig. 1).

Fig. 8—9. *Ambocoelia* aff. *Urii* Flem. S. 575 (r. T. S. 197). Dorf Tastuba. Schwagerinen-Kalk.

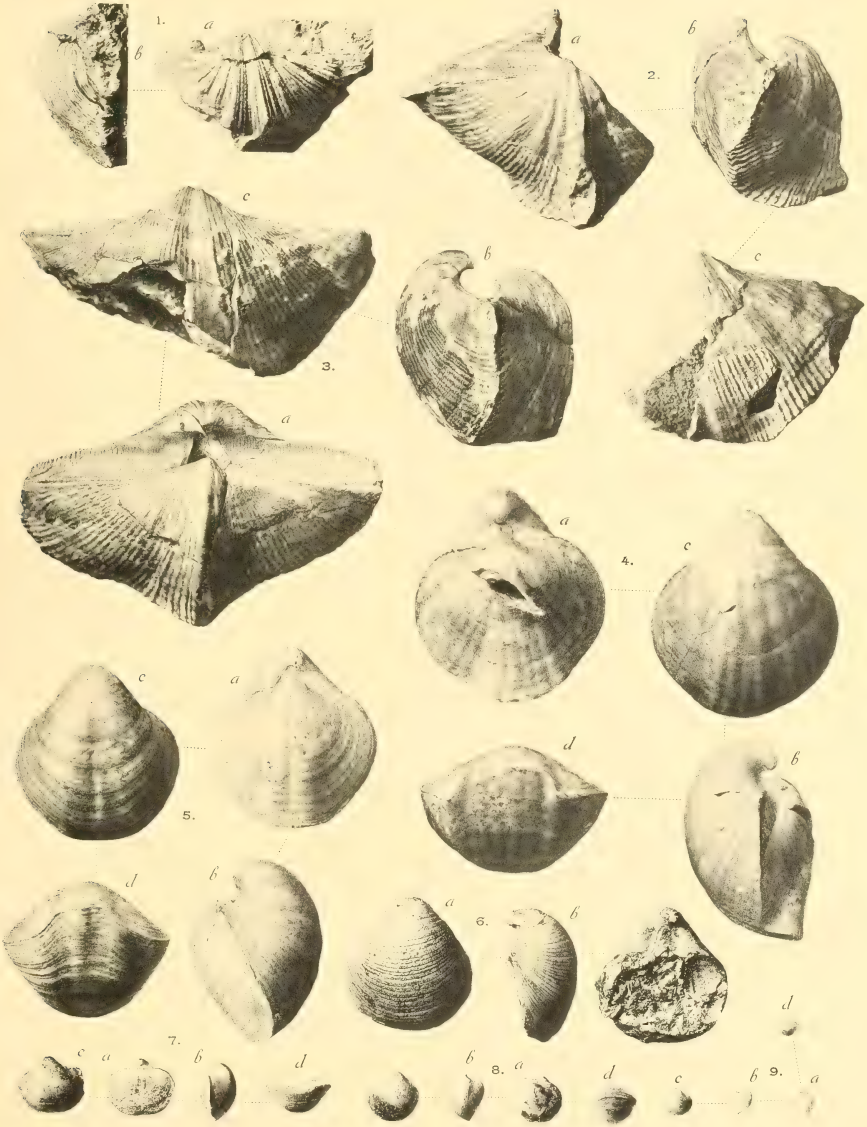

Фототипія В. Класенъ. С. Петербургъ. Кадетская лин.

Проотн. Н. Каминскій

Таблица L.

Фиг. 1—3. *Martinia simensis* n. sp. Стр. 188. Гора Улу-Тау на Симу. Швагериновый известнякъ.

Фиг. 4. *Martiniopsis aschensis* n. sp. Стр. 173. Фиг. *a*—*d* въ натур. величину, *e*—*f*—увеличенныя. Гора Сикъ-Такты подлѣ станціи Аши Самаро-Златоустовской желѣзной дороги. Швагериновый известнякъ.

Фиг. 5—6. *Spirifer quadriradiatus* Vern. Стр. 169. С. Тастуба. Швагериновый горизонтъ (см. таб. XII, фиг. 7).

Фиг. 7. *Reticularia sp. cf. elegantulae* Waag. Стр. 195. Гора Сикъ-Такты на Симу. Швагериновый известнякъ.

Фиг. 8—10. *Camarophoria biplicata* Stuck. Стр. 83. Гора Тура-Тау подлѣ Стерлитамака. Швагериновый известнякъ.

Фиг. 11. *Uncinulus Wangenheimi* Pand. Стр. 72. Гора Тура-Тау подлѣ Стерлитамака. Швагериновый известнякъ. (см. таб. XLIV, фиг. 3—5, таб. XLVI, фиг. 15—17).

Фиг. 12—13. *Pugnax connivens* Eichw. Стр. 66. Фиг. 12 *e*, 13 *e*—въ натур. величину, остальныя увеличены. С. Тастуба. Швагериновый известнякъ (см. ниже фиг. 19—20).

Фиг. 14. *Camarophoria superstes* Vern. Стр. 94—96. Экземпляръ, обладающій складчатостью на бокахъ. Р. Ай, въ $1^1/_2$ верстахъ ниже дер. Абдулиной. Швагериновый известнякъ (см. таб. XLVI, фиг. 4—6),

Tafel L.

Fig. 1—3. *Martinia simensis* n. sp. S. 569 (r. T., S. 188). Berg Tura Tau am Sim. Schwagerinen-Kalk.

Fig. 4. *Martiniopsis aschensis* n. sp. S. 557 (r. T., S. 173). Fig. 4*a*—*d* in natürlicher Grösse, 4*e*—*f* vergrössert. Berg Sik Takty bei der Station Ascha an der Eisenbahn Samara-Slatoust. Schwagerinen-Kalk.

Fig. 5—6. *Spirifer quadriradiatus* Vern. S. 554 (r. T., S. 169). Dorf Tastuba. Schwagerinen-Horizont (s. Taf. XII, Fig. 7).

Fig. 7. *Reticularia sp. cf. elegantulae* Waag. S. 575 (r. T., S. 195). Berg Sik Takty am Sim. Schwagerinen-Kalk.

Fig. 8—10. *Camarophoria biplicata* Stuck. S. 494 (r. T., S. 83). Berg Tura Tau bei Sterlitamak. Schwagerinen-Kalk.

Fig. 11. *Uncinulus Wangenheimi* Pand. S. 487 (r. T., S. 72). Berg Tura Tau bei Sterlitamak. Schwagerinen-Kalk (s. Taf. XLIV, Fig. 3—5; Taf. XLVI, Fig. 15—17).

Fig. 12—13. *Pugnax connivens* Eichw. S. 483 (r. T., S. 66). Fig. 12*e* u. 13*e* in natürlicher Grösse, die übrigen vergrössert. Dorf Tastuba. Schwagerinen-Kalk (s. unten Fig. 19—20).

Fig. 14. *Camarophoria superstes* Vern. S. 504—506 (r. T., S. 94—96). Exemplar mit Faltung an den Flanken. Fl. Ai, $1^1/_2$ Werst unterhalb der Dorfes Abdulina. Schwagerinen-Horizont (s. Taf. XLVI, Fig. 4—6).

В. Классонъ С. Петербургъ, Кадетская лин. № 7-2
Преемн. Н. Каминскій.

Фиг. 15 — 16. *Camarophoria globulina* Phill. Стр. 97. Гора Сикъ-Такты на Симу. Швагериновый горизонтъ.

Фиг. 17—18. *Camarophoria plicata* Kut. Стр. 92. Гора Тура-Тау подлѣ Стерлитамака. Швагериновый известнякъ (см. таб. XXI, фиг. 1).

Фиг. 19. *Pugnax connivens* Eichw. Стр. 66. Часть брюшной створки обломана. Гора Сикъ-Такты на Симу. Швагериновый известнякъ (см. выше фиг. 12 – 13).

Фиг. 20. *Pugnax connivens* Eichw. Стр. 66. Брюшная створка съ хорошо сохраненной макушкой и рѣзкими заворотами по ея сторонамъ. Р. Юрезань, въ 3-хъ верстахъ ниже дер. Базраковой. Швагериновый известнякъ.

Fig. 15 — 16. *Camarophoria globulina* Phill. S. 507 (r. T., S. 97). Berg Sik-Takty am Sim. Schwagerinen-Horizont.

Fig. 17—18. *Camarophoria plicata* Kut. S. 502 (r. T., S. 92). Berg Tura Tau bei Sterlitamak. Schwagerinen-Horizont (s. Taf. XXI, Fig. 1).

Fig. 19. *Pugnax connivens* Eichw. S. 483 (r. T., S. 66). Ein Theil der Bauchschale ist weggebrochen. Berg Sik Takty am Sim. Schwagerinen-Kalk (s. oben Fig. 12—13).

Fig. 20. *Pugnax connivens* Eichw. S. 483 (r. T., S. 66). Bauchschale mit wohlerhaltenem Wirbel und kräftigen Umbiegungen an seinen Seiten. Fl. Juresan, 3 Werst unterhalb des Dorfes Basrakowa. Schwagerinen-Kalk.

Таблица LI.

Фиг. 1—2. *Meekella uralica* n. sp. Стр. 215. Фиг. 2—спинная створка. Гора Сикъ-Такты на Симу. Швагериновый известнякъ.

Фиг. 3. *Meekella striatocostata* Cox. Стр. 211. Брюшная створка съ частью хорошо сохраненной раковиной. Р. Уфа, ниже устья Бердяша. Коровый горизонтъ (см. таб. XXIV, фиг. 7, 8, таб. XXVI, фиг. 4).

Фиг. 4—6. *Streptorhynchus Halli* Derby. Стр. 200. Фиг. 5—брюшная створка, фиг. 6—спинная створка. Гора Улькунды на Симу. Швагериновый известнякъ.

Фиг. 7. *Orthothetes simensis* n. sp. Стр. 220. Гора Сикъ-Такты на Симу. Швагериновый известнякъ.

Фиг. 8—12. *Streptorhynchus aff. tapajotensi* Derby. Стр. 201. Фиг. 8*a*, *b*—макушечная часть брюшной створки съ хорошо сохраненной агеа; фиг. 9—брюшная створка; фиг. 10—отпечатокъ агеа брюшной створки, на которомъ при основаніи дельтидія видны зубы и поддерживающіе ихъ валики, идущіе вдоль краевъ дельтидія; фиг. 11, 12—брюшныя створки. Р. Уфа, выше деревни Айдосъ. Коровый горизонтъ.

Фиг. 13. *Meekella eximia* Eichw. Стр. 213. Брюшная створка. Печорская Пижма. Коровый горизонтъ (см. таб. XXIV, фиг. 5).

Tafel LI.

Fig. 1—2. *Meekella uralica* n. sp. S. 583 (r. T., S. 215). Fig. 2—Dorsalklappe. Berg Sik Takty am Sim. Schwagerinen-Kalk.

Fig. 3. *Meekella striatocostata* Cox. S. 582 (r. T., S. 211). Ventralklappe mit zum Theil wohlerhaltener Schale. Fl. Ufa, unterhalb der Einmündung des Berdjasch. Cora-Horizont (s. Taf. XXIV, Fig. 7, 8; Taf. XXVI, Fig. 4).

Fig. 4—6. *Streptorhynchus Halli* Derby. S. 576 (r. T., S. 200). Fig. 5—Ventralklappe, Fig. 6—Dorsalklappe. Berg Ulkundy am Sim. Schwagerinen-Kalk.

Fig. 7. *Orthothetes simensis* n. sp. S. 589 (r. T., S. 220). Berg Sik Takty am Sim. Schwagerinen-Kalk.

Fig. 8—12. *Streptorhynchus aff. tapajotensi* Derby. S. 577 (r. T., S. 201). Fig. 8*a*, *b* — Umbonalpartie der Bauchschale mit wohlerhaltener Area; Fig. 9 — Ventralklappe; Fig. 10 — Abdruck der Area der Bauchschale, woran an der Basis des Deltidiums die Zähne nebst den sie tragenden längs des Randes des Deltidiums verlaufenden Wülstchen sichtbar sind; Fig. 11, 12—Ventralklappe. Fl. Ufa, oberhalb des Dorfes Aidos. Cora-Horizont.

Fig. 13. *Meekella eximia* Eichw. S. 582 (r. T., S. 213). Ventralklappe. Petschorskaja Pishma. Cora-Horizont (s. Taf. XXIV, Fig. 5).

a
1.
b
c
a
2.
b
b
a
3.
a
b
4.
c
5.
a
6.
b
b
8.
a
c
7.
b
a
a
9.
b
10.
b
13.
a
11.
12.

Таблица LII.

Фиг. 1. *Productus irginae* Stuck. Стр. 273. Фиг. 1, *a* — *b* видъ съ брюшной створки и боковой видъ при сомкнутыхъ створкахъ; фиг. *c*, *d* — виды со спинной створки. Иргинскій заводъ. (см. таб. XXX, фиг. 3, 4).

Фиг. 2—4. *Productus irginae* Stuck. Стр. 273. Фиг. 4 *a*, *b* — брюшная створка. Р. Уфа, выше Усть-Бугалыша (см. таб. XXX, фиг. 3, 4).

Фиг. 5 — 6. *Productus cancriniformis* Tschern. Стр. 292. Брюшныя створки. С. Тастуба. Швагериновый горизонтъ.

Фиг. 7. *Productus tuberculatus* Moell. Стр. 267. Брюшная створка. С. Тастуба. Швагериновый известнякъ (см. таб. XLVII, фиг. 3—5).

Фиг. 8—9. *Productus pseudomedusa* n. sp. Стр. 293. Брюшныя створки. На рис. 8 *a*, 9 недостаточно отчетливо изображены мѣстами сохранившіяся иглы, идущія книзу отъ жабо. Около станціи Аши Самаро-Златоустовской желѣзной дороги. Швагериновый известнякъ (см. таб. XXXVI, фиг. 6).

Фиг. 10. *Productus mexicanus* White (Shumard?). Стр. 264. Брюшная створка. Гора Шаки-Тау подлѣ Стерлитамака. Швагериновый известнякъ.

Tafel LII.

Fig. 1. *Productus irginae* Stuck. S. 618 (r. T.. S. 273). Fig. 1*a*, *b* — von der Ventralschale und von der Seite gesehen, bei geschlossenen Klappen, Fig. 1*c*, *d* — von der Dorsalschale gesehen. Hüttenwerk Irginsky (s. Taf. XXX, Fig. 3, 4).

Fig. 2—4. *Productus irginae* Stuck. S. 618 (r. T., S. 273). Fig. 4*a*, *b* — Ventralklappe. Fl. Ufa, oberhalb Ust-Bugalysch (s. Taf. XXX, Fig. 3, 4).

Fig. 5 — 6. *Productus cancriniformis* Tschern. S. 629 (r. T., S. 292). Ventralklappen. D. Tastuba. Schwagerinen-Horizont.

Fig. 7. *Productus tuberculatus* Moell. S. 615 (r. T., S. 267). Ventralklappe. D. Tastuba. Schwagerinen-Kalk (s. Taf. XLVII, Fig. 3—5).

Fig. 8—9. *Productus pseudomedusa* n. sp. S. 629 (r. T., S. 293). Ventralklappe. In Fig. 8*a* und 9 sind die stellenweise erhaltenen vom Jabot abwärts gehenden Nadeln nicht hinreichend deutlich wiedergegeben. Bei der Station Ascha der Eisenbahn Samara-Slatoust. Schwagerinen-Kalk (s. Taf XXXVI, Fig. 6).

Fig. 10. *Productus mexicanus* White (Shumard?) S. 613 (r. T., S. 264). Ventralklappe. Berg Schaki Tau bei Sterlitamak. Schwagerinen-Horizont.

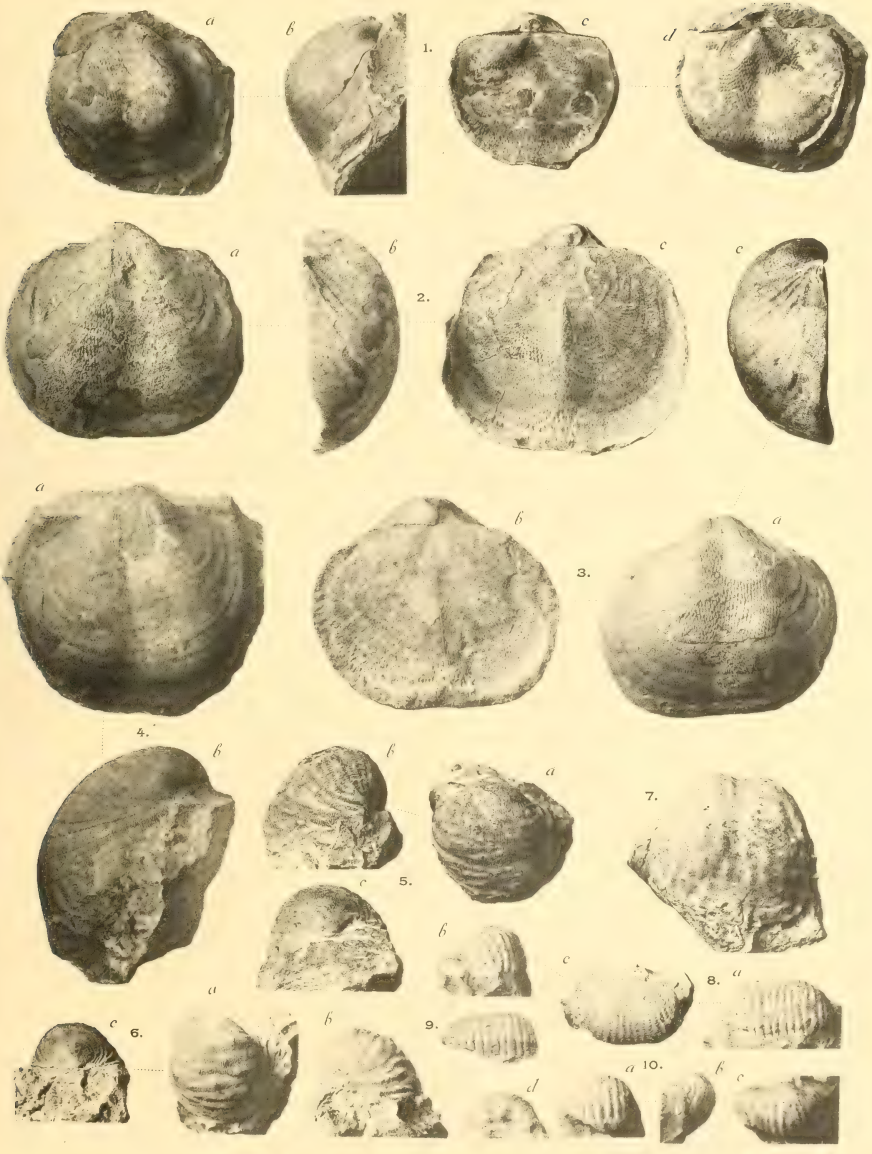
a
b
1.
c
d
a
b
2.
c
c
a
b
3.
a
4.
b
b
b
5.
a
7.
c
b
c
8.
a
c
6.
a
b
9.
a
10.
b
c
d

Таблица LIII.

Фиг. 1—3. *Productus Humboldti* d'Orb. Стр. 275. Село Тастуба. Швагериновый известнякъ.

Фиг. 4. *Productus juresanensis* n. sp. Стр. 276. Р. Юрезань, въ 3-хъ верстахъ ниже дер. Базраковой. Швагериновый горизонтъ (см. таб. XXIX, фиг. 1, 2; таб. XLVII, фиг. 1, 2).

Фиг. 5. *Productus pustulatus* Keys. Стр. 271. Фиг. *b*—брюшная створка снята. Гора Улу-Тау на Симу. Швагериновый горизонтъ (см. таб. XXX, фиг. 1—2).

Фиг. 6. *Productus pustulatus* Keys. Стр. 271. Брюшная створка. С. Тастуба. Швагериновый известнякъ (см. таб. XXX, фиг. 1—2).

Фиг. 7—9. *Productus tastubensis* n. sp. Стр. 268. Фиг. 7, 8 *a*, *b*, 9—виды съ брюшныхъ створокъ, фиг. 8 *c*—брюшная створка снята. С. Тастуба. Швагериновый известнякъ.

Фиг. 10—12. *Productus pseudoaculeatus* Krotov. Стр. 266. Фиг. 10, 12—спинныя створки, фиг. 11—брюшная створка. На всѣхъ экземплярахъ на лобномъ краѣ виденъ языкообразный выступъ, прерывающій синусъ. Около станціи Аши Самаро-Златоустовской желѣзной дороги. Швагериновый известнякъ (см. таб. XXX, фиг. 7).

Tafel LIII.

Fig. 1—3. *Productus Humboldti* d'Orb. S. 620 (r. T., S. 275). Dorf Tastuba. Schwagerinen-Kalk.

Fig. 4. *Productus juresanensis* n. sp. S. 620 (r. T., S. 276). Fluss Juresan, 3 Werst unterhalb des Dorfes Basrakowa. Schwagerinen-Horizont (s. Taf. XXIX, Fig. 1, 2; Taf. XLVII, Fig. 1, 2).

Fig. 5. *Productus pustulatus* Keys. S. 617 (r. T., S. 271). Fig. 5*b*. Die Ventralklappe ist entfernt. Berg Ulu Tau am Sim. Schwagerinen-Horizont (s. Taf. XXX, Fig. 1 u. 2).

Fig. 6. *Productus pustulatus* Keys. S. 617 (r. T., S. 271). Ventralklappe. Dorf Tastuba. Schwagerinen-Kalk (s. Taf. XXX, Fig. 1 u. 2).

Fig. 7—9. *Productus tastubensis* n. sp. S. 615 (r. T., S. 268). Fig. 7, 8*a* u. *b*, 9—Ansichten von der Bauchschale; Fig. 8*c*—mit abgelöster Ventralklappe. Dorf Tastuba. Schwagerinen-Kalk.

Fig. 10—12. *Productus pseudoaculeatus* Krot. S. 615 (r. T., S. 266). Fig. 10 u. 12. Dorsalklappen. Fig. 11. Ventralklappe. An allen Exemplaren ist am Stirnrande ein zungenförmiger Vorsprung sichtbar, der den Sinus unterbricht. Bei der Station Ascha an der Eisenbahn Samara-Slatoust. Schwagerinen-Kalk (s. Taf. XXX, Fig. 7).

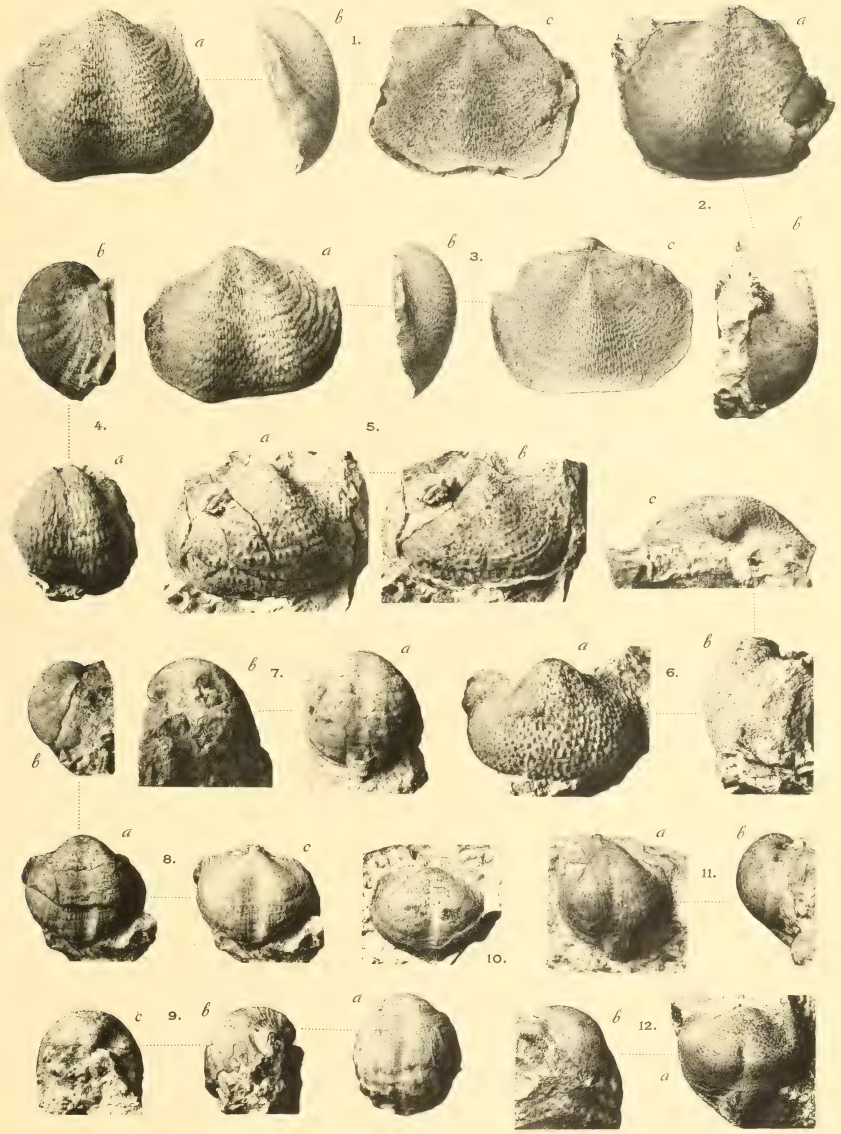
1.
2.
3.
4.
5.
6.
7.
8.
9.
10.
11.
12.

Таблица LIV.

Фиг. 1. *Productus Cora* d'Orb. Стр. 279. Экземпляръ съ сильно оттянутыми ушками. Сліяніе р. Колянды и Кунгака. Коровый известнякъ (см. таб. XXXIII, фиг. 2—3; таб. XXXV, фиг. 1).

Фиг. 2. *Productus Cora* d'Orb. Стр. 279. Брюшная створка экземпляра относительно небольшихъ размѣровъ. Р. Юрезань, въ 2-хъ верстахъ ниже дер. Шаматовой. Омфалотроховый горизонтъ. (см. таб. XXXIII, фиг. 2—3; таб. XXXV, фиг. 1).

Фиг. 3. *Productus Cora* d'Orb. Стр. 279. Спинная створка. Р. Уфа, противъ сельца Спасскаго. Коровый известнякъ (см. таб. XXXIII, фиг. 2—3; таб. XXXV, фиг. 1).

Фиг. 4. *Productus Cora* d'Orb. Стр. 279. Видъ брюшной створки съ замочнаго края. Р. Индига. Швагериновый известнякъ (см. таб. XXXIII, фиг. 2—3; таб. XXXV, фиг. 1).

Фиг. 5. *Productus Cora* d'Orb. Стр. 279. Р. Юрезань въ 2-хъ верст. ниже дер. Шаматовой, средняя часть разрѣза. Коровый горизонтъ (см. таб. XXXIII, фиг. 2—3; таб. XXXV, фиг. 1).

Tafel LIV.

Fig. 1. *Productus Cora* d'Orb. S. 621 (r. T., S. 279). Exemplar mit stark gedehnten Ohren. Zusammenfluss der Koljanda und des Kungak. Cora-Kalk (s. Taf. XXXIII, Fig. 2—3; Taf. XXXV, Fig. 1).

Fig. 2. *Productus Cora* d'Orb. S. 621 (r. T., S. 279). Ventralklappe eines relativ kleinen Exemplares. Fl. Juresan, 2 Werst unterhalb des Dorfes Schamratowa. Omphalotrochus-Horizont (s. Taf. XXXIII, Fig. 2—3; Taf. XXXV, Fig. 1).

Fig. 3. *Productus Cora* d'Orb. S. 621 (r. T., S. 279). Dorsalklappe. Fl. Ufa gegenüber dem Dörfchen Spasskoje. Cora-Horizont (s. Taf. XXXIII, Fig. 2—3; Taf. XXXV, Fig. 1).

Fig. 4. *Productus Cora* d'Orb. S. 621 (r. T., S. 279). Ansicht der Bauchschale von der Schlossseite. Fl. Indiga. Schwagerinen-Kalk (s. Taf. XXXIII, Fig. 2—3; Taf. XXXV, Fig. 1).

Fig. 5. *Productus Cora* d'Orb. S. 621 (r. T., S. 279). Fl. Juresan, 2 Werst unterhalb des Dorfes Schamratowa, Mittelpartie des Durchschnittes. Cora-Horizont (s. Taf. XXXIII, Fig. 2—3; Taf. XXXV, Fig. 1).

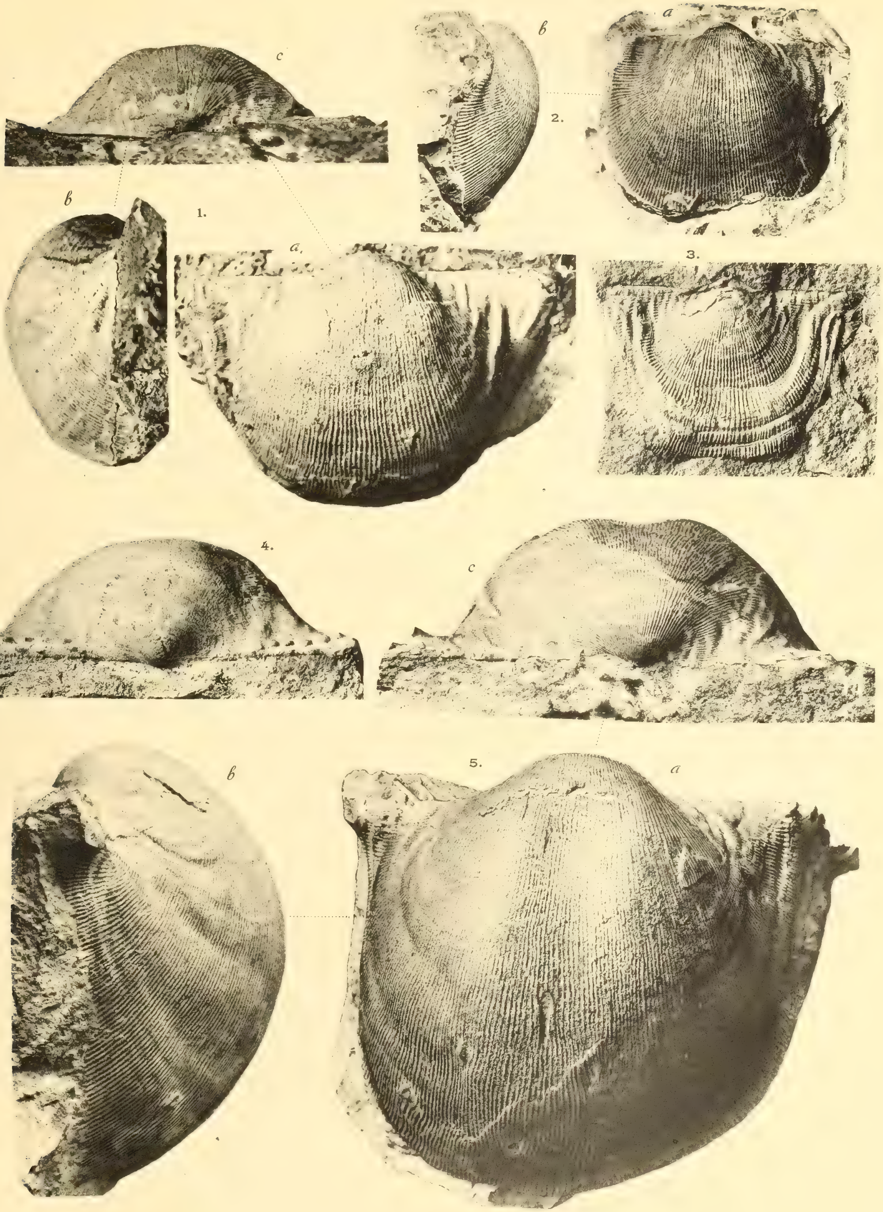

Фототипія В. Классенъ С. Петербургъ Кадетская лин. N 7-2
Преемн. Н. Каминскій

Таблица LV.

Фиг. 1. *Productus porrectus* Kut. Стр. 301. Р. Уфа, въ $2^1/_2$ верстахъ выше урочища Семиостровнаго. Коровый горизонтъ (см. XXXII, фиг. 4, таб. LVI, фиг. 4, таб. LXII, фиг. 2).

Фиг. 2—5. *Productus simensis* n. sp. Стр. 286. Фиг. 2—4—брюшныя створки; фиг. 5—спинная створка. Село Тастуба. Швагериновый известнякъ (см. таб. XXXV, фиг. 7).

Фиг. 6. *Productus tenuistriatus* Vern. Стр. 288. Брюшная створка, сжатая на лобномъ краѣ въ видѣ тупого киля. Гора Сикъ-Такты на Симу. Швагериновый известнякъ (см. таб. XXXVI, фиг. 4—5).

Tafel LV.

Fig. 1. *Productus porrectus* Kut. S. 634 (r. T., S. 301). Fl. Ufa, $2^1/_2$ Werst oberhalb Semiostrownoje. Cora-Horizont (s. Taf. XXXIII, Fig. 4; Taf. LVI, Fig. 4; Taf. LXII, Fig. 2).

Fig. 2—5. *Productus simensis* n. sp. S. 626 (r. T., S. 286). Fig. 2—4. Ventralklappe. Fig. 5. Dorsalklappe. Dorf Tastuba. Schwagerinen-Kalk (s. Taf. XXXV, Fig. 7).

Fig. 6. *Productus tenuistriatus* Vern. S. 628 (r. T., S. 288). Ventralklappe, am Stirnrande zu einem stumpfen Kiel zusammengebogen. Berg Sik Takty am Sim. Schwagerinen-Kalk (s. Taf. XXXVI, Fig. 4—5).

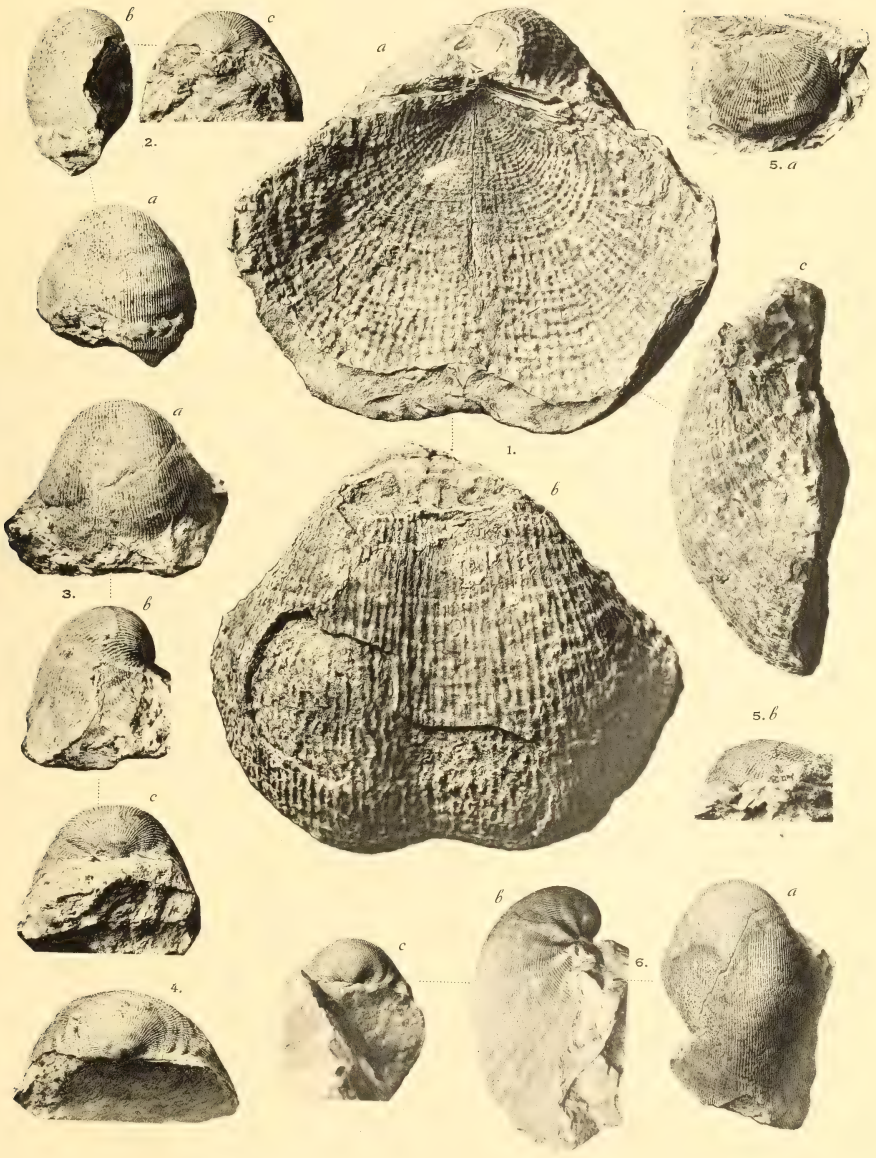
b
c
2.
a
a
1.
5. a
c
a
3.
b
b
5. b
c
4.
c
b
6.
a

Таблица LVI.

Фиг. 1—3. *Productus Aagardi* Toula. Стр. 285. Фиг. 3—часть спинной створки съ внутренней стороны того же экземпляра, который изображенъ на фиг. 2. Р. Уфа, выше дер. Айдосъ. Коровый горизонтъ.

Фиг. 4. *Productus porrectus* Kut. Стр. 301. Окрестности Стерлитамака. Швагериновый известнякъ (см. таб. XXXII, фиг. 4; таб. LV, фиг. 1; таб. LXII, фиг. 2).

Фиг. 5. *Chonetes timanica* n. sp. Стр. 241. Увелич. въ 2 раза. Р. Индига. Швагериновый горизонтъ.

Фиг. 6. *Chonetes sp. cf. Geinitzi* Waag. Стр. 232. Брюшная створка. Ворота Индиги.

Фиг. 7. *Chonetes sp. cf. Geintizi* Waag. Стр. 232. Брюшная створка. Ворота Малой Щелихи. Швагериновый известнякъ.

Фиг. 8. *Chonetes alata* Stuck. Стр. 230. Ядро брюшной створки. Р. Исимъ Елга. Швагериновый известнякъ.

Фиг. 9. *Chonetes mesoloba* Norw. & Pratt. Стр. 232. Складка въ синусѣ брюшной створки передана недостаточно отчетливо. Печорская Пижма (84). Омфалотроховый горизонтъ.

Фиг. 10—13. *Chonetes Flemingi* Norw & Pratt. Стр. 239. Дипричъ Чей на Мезени. Коровый горизонтъ.

Tafel LVI.

Fig. 1—3. *Productus Aagardi* Toula. S. 626 (r. T., S. 285). Fig. 3. Ein Theil der Innenseite der Dorsalklappe des in Fig. 2 abgebildeten Exemplares. Fl. Ufa, oberhalb des Dorfes Aidos. Cora-Horizont.

Fig. 4. *Productus porrectus* Kut. S. 634 (r. T., S. 301). Umgegend von Sterlitamak. Schwagerinen-Kalk (s. Taf. XXXII, Fig. 4; Taf. LV, Fig. 1; Taf. LXII, Fig. 2).

Fig. 5. *Chonetes timanica* n. sp. S. 601 (r. T., S. 241). 2 Mal vergr. Fl. Indiga. Schwagerinen-Horizont.

Fig. 6. *Chonetes sp. cf. Geinitzi* Waag. S. 595 (r. T., S. 232). Ventralklappe. Indiga-Thor.

Fig. 7. *Chonetes sp. cf. Geinitzi* Waag. S. 595 (r. T., S. 232). Ventralklappe. Thor der Kleinen Stschelicha. Schwagerinen-Kalk.

Fig. 8. *Chonetes alata* Stuck. S. 594 (r. T., S. 230). Steinkern einer Ventralklappe. Fl. Issim-jelga. Schwagerinen-Kalk.

Fig. 9. *Chonetes mesoloba* Norw. & Pratt. S. 595 (r. T., S. 232). Die Falte im Sinus der Ventralklappe ist nicht deutlich genug wiedergegeben. Petschorskaja Pishma (84). Omphalotrochus-Horizont.

Fig. 10—13. *Chonetes Flemingi* Norw. & Pratt. S. 600 (r. T., S. 239). Dipritsch Tschei am Mesen. Cora-Horizont.

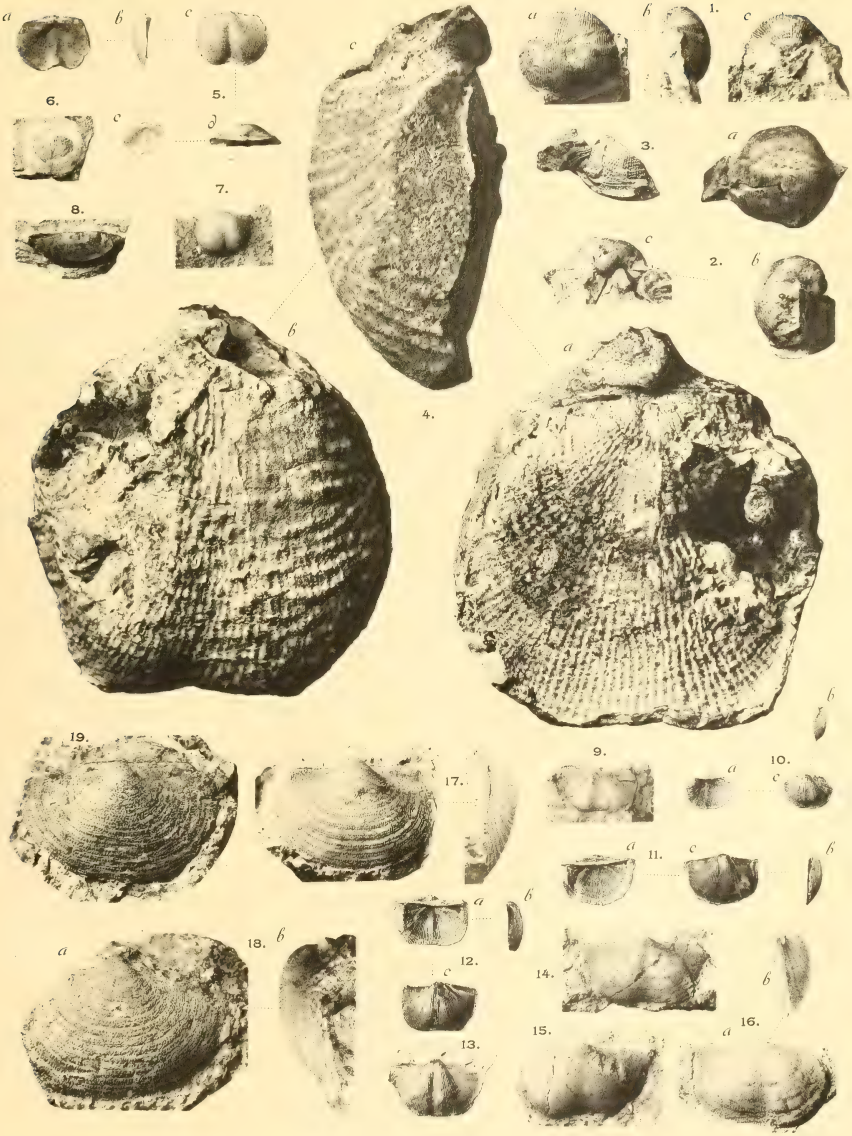

Фототипія В. Класенъ С. Петербургъ Кадетская лин. № 7-2
Преемн. Н. Каминскій

Фиг. 14—15. *Chonetes granulifera* Owen. Стр. 238. Мысъ Бѣлое Щелье. Коровый горизонтъ.

Фиг. 16. *Chonetes granulifera* Owen. Стр. 238. Р. Сула (47). Швагериновый известнякъ.

Фиг. 17. *Productus Iakovlevi* n. sp. Стр. 300. Брюшная створка. Гора Сикъ-Такты на Симу. Швагериновый горизонтъ.

Фиг. 18—19. *Productus Iakovlevi* n. sp. Стр. 300. Фиг. 18—брюшная створка, фиг. 19—спинная створка. Село Тастуба. Швагериновый известнякъ.

Fig. 14—15. *Chonetes granulifera* Owen. S. 600 (r. T., S. 238). Cap Beloje Stschelje. Cora-Horizont.

Fig. 16. *Chonetes granulifera* Owen. S. 600 (r. T., S. 238). Fl. Sula (47). Schwagerinen-Kalk.

Fig. 17. *Productus Iakovlevi* n. sp. S. 633 (r. T., S. 300). Berg Sik-Takty am Sim. Ventralklappe. Schwagerinen-Kalk.

Fig. 18—19. *Productus Iakovlevi* n. sp. S. 633 (r. T., S. 300). Fig. 18. Ventralklappe. Fig. 19. Dorsalklappe. Dorf Tastuba. Schwagerinen-Horizont.

Таблица LVII.

Фиг. 1. *Productus timanicus* Stuck. Стр. 306. Спинная створка съ внѣшней стороны. Р. Сула. Швагериновый известнякъ (см. таб. XXX, фиг. 5).

Фиг. 2. *Productus timanicus* Stuck. Стр. 306. Спинная створка съ внѣшней стороны. Р. Индига. Швагериновый известнякъ (см. таб. XXX, фиг. 5).

Фиг. 3. *Productus timanicus* Stuck. Стр. 306. Брюшная створка молодого экземпляра. Р. Бѣлая, притокъ Индиги. Коровый горизонтъ (см. таб. XXX, фиг. 5).

Фиг. 4, 5. *Productus timanicus* Stuck. Стр. 306. Р. Сула Швагериновый известнякъ (см. таб. XXX, фиг. 5).

Фиг. 6. *Productus timanicus* Stuck. Стр. 306. Р. Бѣлая, притокъ Индиги. Коровый горизонтъ (см. таб. XXX, фиг. 5).

Фиг. 7—9. *Productus tartaricus* n. sp. Стр. 264. Фиг. 7—8—брюшныя створки. Фиг. 9—спинная створка. Гора Кысы-тау подлѣ Казаяка на Симу. Швагериновый известнякъ (см. таб. LX, фиг. 11—13).

Фиг. 10—11. *Productus lobatus* Sow. *var.* Стр. 263. Брюшныя створки. Р. Юрезань. ниже устья Большого Кутюма. Омфалотроховый горизонтъ.

Фиг. 12. *Productus punctatus* Mart. Стр. 296. Гора Сикъ-Такты на Симу. Швагериновый известнякъ.

Tafel LVII.

Fig. 1. *Productus timanicus* Stuck. S. 638 (r. T., S. 306). Dorsalklappe von der Aussenseite. Fl. Sula. Schwagerinen-Kalk. (s. Taf. XXX, Fig. 5).

Fig. 2. *Productus timanicus* Stuck. S. 638 (r T., S. 306). Dorsalklappe von aussen. Fl. Indiga. Schwagerinen-Kalk (s. Taf. XXX, Fig. 5).

Fig. 3. *Productus timanicus* Stuck. S. 638 (r. T., S. 306). Ventralklappe eines jugendlichen Exemplares. Fl. Belaja, Zufl. d. Indiga. Cora-Horizont. (s. Taf. XXX, Fig. 5).

Fig. 4—5. *Productus timanicus* Stuck. S. 638 (r. T., S. 306). Fl. Sula. Schwagerinen-Kalk (s. Taf. XXX, Fig. 5).

Fig. 6. *Productus timanicus* Stuck. S. 638 (r. T., S. 306). Fl. Belaja, Zufl. d. Indiga. Cora-Horizont (s. Taf. XXX, Fig. 5).

Fig. 7—9. *Productus tartaricus* n. sp. S. 614 (r. T., S. 264). Fig. 7, 8—Ventralklappe, Fig. 9—Dorsalklappe. Berg Kyssy Tau bei Kasajak am Sim. Schwagerinen-Kalk. (s. Taf. LX, Fig. 11—13).

Fig. 10—11. *Productus lobatus* Sow. *var.* S. 613 (r. T., S. 263). Ventralklappe. Fl. Juresan unterhalb der Einmündung des Grossen Kutjum. Omphalotrochus-Horizont.

Fig. 12. *Productus punctatus* Mart. S. 631 (r. T., S. 296). Berg Sik Takty am Sim. Schwagerinen-Kalk.

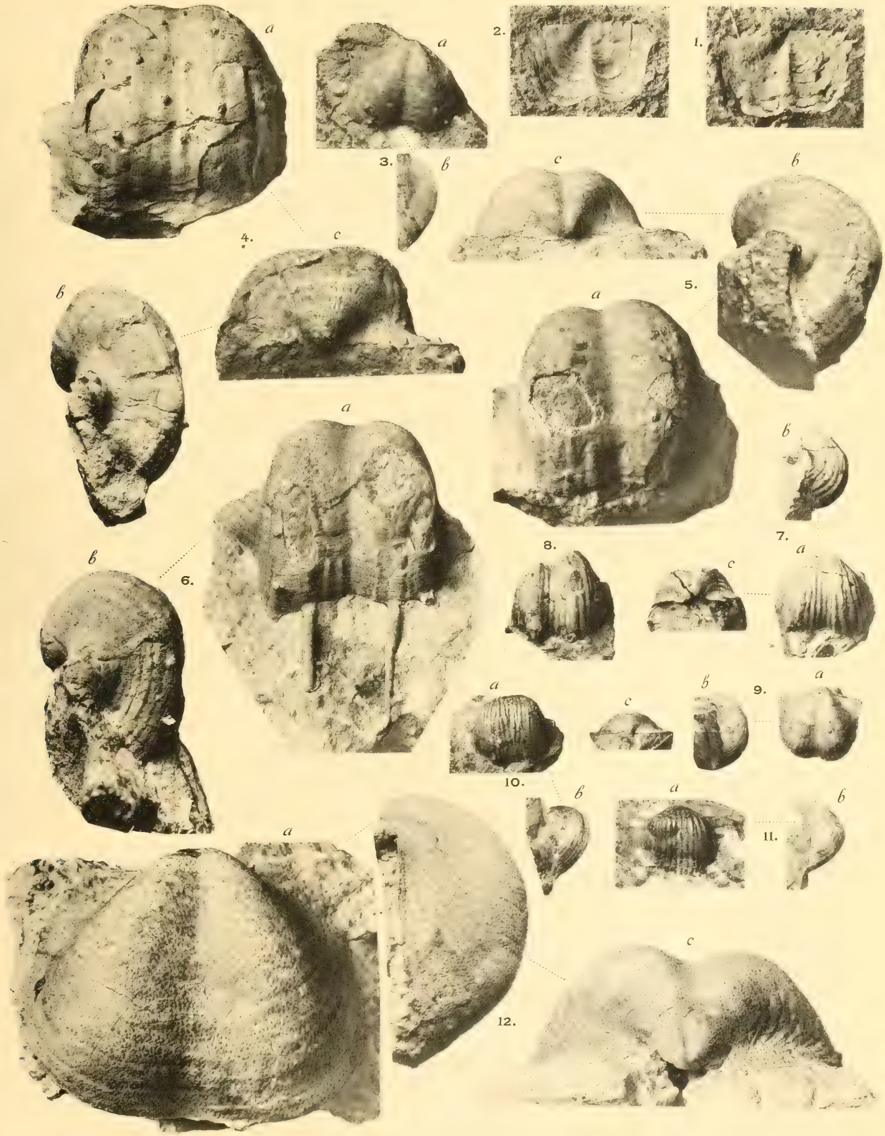

Фототипія В. Классенъ С. Петербургъ. Кадетская линія №7-2
Прессъ Н. Каминскій

Таблица LVIII.

Фиг. 1—2. *Marginifera Clarkei* n. sp. Стр. 328. Фиг. 1—ядро брюшной створки съ отчетливыми слѣдами зубчатаго валика; на фиг. 2 хорошо видно, какъ лобный край сворачивается въ трубчатое продолженіе по типу *Proboscidella*. С. Тастуба. Швагериновый известнякъ (см. таб. XLVII, фиг. 6—7).

Фиг. 3. *Marginifera Clarkei* n. sp. Стр. 328. Часть раковины до валика снята. Казарменскій Камень на Симу. Швагериновый известнякъ (см. таб. XLVII, фиг. 6—7).

Фиг. 4—5. *Marginifera involuta* n. sp. Стр. 321. Фиг. 5*a*, *b*—тотъ же экземпляръ (по съ рознятыми створками), который изображенъ на таб. XXXVI, фиг. 7. Р. Ай, ниже острова Мясникова. Коровый горизонтъ (см. таб. XXXVI, фиг. 7, 9, 13).

Фиг. 6. *Marginifera involuta* n. sp. Стр. 321. Р. Уфа, ниже дер. Нижн. Суянъ. Коровый горизонтъ (см. таб. XXXVI, фиг. 7, 9, 13).

Фиг. 7—8. *Marginifera Lebedevi* n. sp. Стр. 326. Фиг. 7, 8*a*, *b*—брюшныя створки; фиг. 8*c* изображаетъ экземпляръ 8*a*, но со снятой брюшной створкой. Гора Улу-Тау на Симу. Швагериновый горизонтъ.

Фиг. 9. *Marginifera Shellwieni* n. sp. Стр. 325. Фиг. 9*c*—тотъ же экземпляръ, что и на фиг. 9*a*, *b*, но при снятой брюшной створкѣ. С. Тастуба. Швагериновый горизонтъ.

Tafel LVIII.

Fig. 1—2. *Marginifera Clarkei* n. sp. S. 651 (r. T., S. 328). Fig. 1—Steinkern der Ventralklappe mit deutlichen Spuren des gezähnten Wülstchens; in Fig. 2 ist es klar zu sehen, wie sich der Stirnrand zu einem röhrenförmigen Fortsatze nach dem Typus von *Proboscidella* zusammenrollt. D. Tastuba. Schwagerinen-Kalk (s. Taf. XLVII, Fig. 6—7).

Fig. 3. *Marginifera Clarkei* n. sp. S. 651 (r. T., S. 328). Der Theil der Schale bis zum Wülstchen ist abgelöst. Kasarmenskij Kamen am Sim. Schwagerinen-Kalk (s. Taf. XLVII, Fig. 6—7).

Fig. 4—5. *Marginifera involuta* n. sp. S. 645 (r. T., S. 321). Fig. 5*a*, *b*—das auf Taf. XXXVI, Fig. 7 abgebildete Exemplar, aber mit geöffneten Klappen. Fl. Ai, unterhalb der Mjasnikow-Insel. Cora-Horizont (s. Taf. XXXVI, Fig. 7, 9, 13).

Fig. 6. *Marginifera involuta* n. sp. S. 645 (r. T., S. 321). Fl. Ufa unterhalb d. D. Nishny Sujan. Cora-Horizont (s. Taf. XXXVI, Fig. 7, 9, 13).

Fig. 7—8. *Marginifera Lebedevi* n. sp. S. 649 (r. T., S. 326). Fig. 7, 8*a*, *b*—Ventralklappen; 8*c*—das in 8*a* abgebildete Exemplar, aber mit abgelöster Ventralklappe. Berg Ulu-Tau am Sim. Schwagerinen-Horizont.

Fig. 9. *Marginifera Schellwieni* n. sp. S. 648 (r. T., S. 325). Fig. 9*c*—dasselbe Exemplar, wie 9*a*, *b*, aber mit abgelöster Ventralklappe. D. Tastuba. Schwagerinen-Horizont.

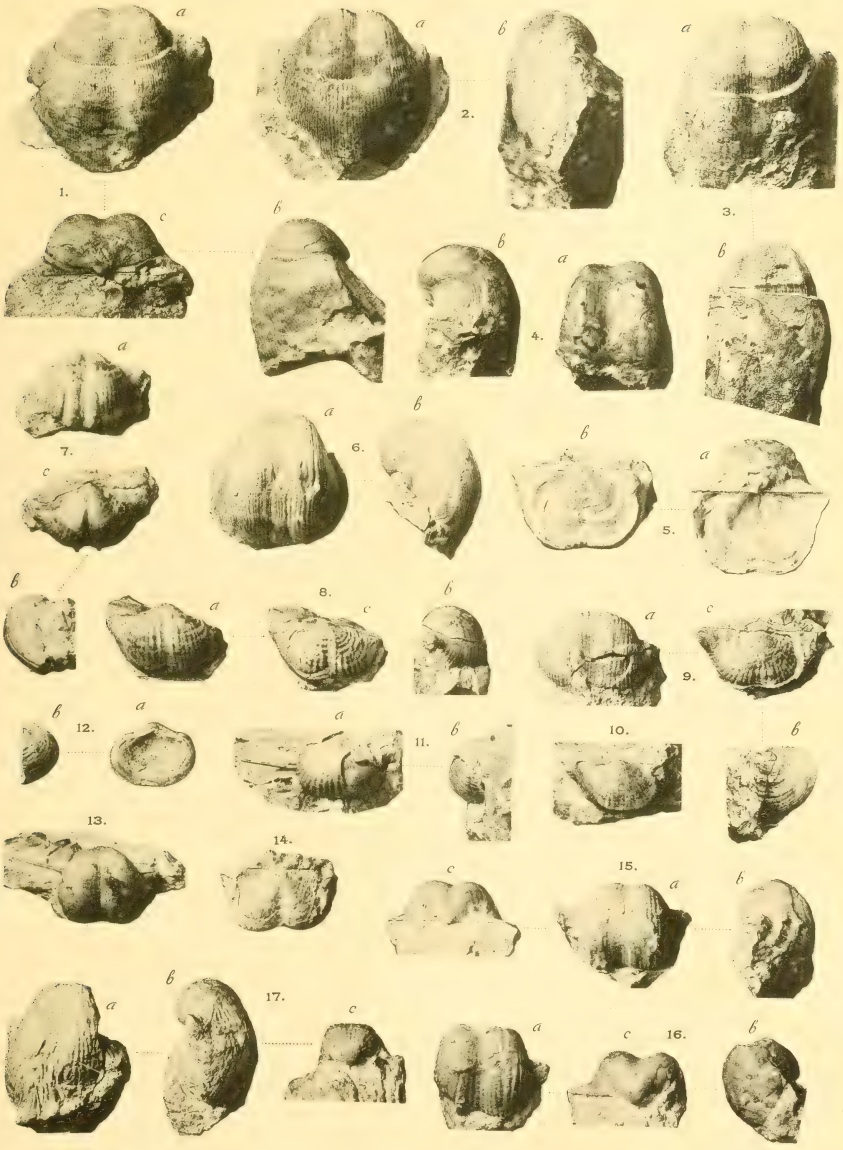
1.
2.
3.
4.
5.
6.
7.
8.
9.
10.
11.
12.
13.
14.
15.
16.
17.
a
b
c

Фиг. 10—12. *Marginifera Schellwieni* n. sp. Стр. 325. Фиг. 10—спинная створка съ явственно выраженнымъ валикомъ. Казарменскій Камень на Симу. Швагериновый известнякъ.

Фиг. 13. *Marginifera typica* Waag. *var. septentrionalis* n. var. Стр. 322. Гора Улу-Тау на Симу. Швагериновый известнякъ (см. таб. XXXVI, фиг. 10—12).

Фиг. 14 — 15. *Marginifera typica* Waag. *var. septentrionalis* n. var. Стр. 322. Р. Щучья, притокъ Сулы. Швагериновый горизонтъ (см. таб. XXXVI, фиг. 10—12).

Фиг. 16. *Marginifera typica* Waag. *var. septentrionalis* n. var. Стр. 322. Р. Сула. (49). Швагериновый горизонтъ (см. таб. XXXVI, фиг. 10—12).

Фиг. 17. *Productus nebrascensis* Owen (?). Стр. 278. Р. Волонга (33). Омфалотроховый известнякъ.

Fig. 10—12. *Marginifera Schellwieni* n. sp. S. 648 (r. T., S. 325). Fig. 10—Dorsalklappe mit deutlich ausgeprägtem Wülstchen. Kasarmenskij Kamen am Sim. Schwagerinen-Kalk.

Fig. 13. *Marginifera typica* Waag. var. *septentrionalis* n. var. S. 646 (r. T., S. 322). Ventralklappe. Berg Ulu-Tau am Sim. Schwagerinen-Kalk (s. Taf. XXXVI, Fig. 10—12).

Fig. 14—15. *Marginifera typica* Waag. var. *septentrionalis* n. var. S. 646 (r. T., S. 322). Fl. Stschutschja Zufl. d. Sula. Schwagerinen-Horizont (s. Taf. XXXVI, Fig. 10—12).

Fig. 16. *Marginifera typica* Waag. var. *septentrionalis* n. var. S. 646 (r. T., S. 322). Fl. Sula (49). Schwagerinen-Horizont (s. Taf. XXXVI, Fig. 10—12).

Fig. 17. *Productus nebrascensis* Owen. (?). S. 621 (r. T., S. 278). Fl. Wolonga (38). Omphalotrochus-Kalk.

Таблица LIX.

Фиг. 1—3. *Proboscidella Kutorgae* n. sp. Стр. 314. Фиг. 1—съ висцеральной части брюшная створка снята. Подлѣ станціи Аши Самаро-Златоустовской жел. дороги. Швагериновый известнякъ (см. таб. XXXI, фиг. 2—3).

Фиг. 4—6. *Proboscidella genuina* Kut. Стр. 311. Фиг. 4*d*—трубчатое продолженіе раковины поставлено перпендикулярно къ плоскости рисунка; фиг. 5*a*—брюшная створка снята; фиг. 5*b*—брюшная створка насажена на ея мѣсто; фиг. 6—продолженіе лобнаго края въ видѣ сплошной трубки. Село Тастуба. Швагериновый известнякъ (см. таб. XXVIII, фиг. 7, таб. XXXI, фиг. 1, 5, 6).

Фиг. 7. *Proboscidella lata* n. sp. Стр. 313. Ядро; у лобнаго края видно образованіе свернутаго продолженія. Р. Уфа, въ $3^1/_2$ верстахъ ниже с. Чандара. Швагериновый горизонтъ (см. таб. XXXI, фиг. 4).

Tafel LIX.

Fig. 1—3. *Proboscidella Kutorgae* n. sp. S. 643 (r. T., S. 314). Fig. 1—Die Ventralklappe ist von der Visceralpartie abgelöst. Bei der Station Ascha der Eisenbahn Samara-Slatoust. Schwagerinen-Kalk (s. Taf. XXXVI, Fig. 2—3).

Fig. 4—6. *Proboscidella genuina* Kut. S. 642 (r. T., S. 311). Fig. 4*d*—der röhrenförmige Schalenfortzatz ist senkrecht zur Ebene der Zeichnung gestellt; Fig. 5*a*—die Ventralklappe ist abgelöst; Fig. 5*b*—die Ventralklappe ist wieder an Ort und Stelle gebracht; Fig. 6—der Fortsatz des Stirnrandes in Gestalt eines geschlossenen Röhrchens. D. Tastuba. Schwagerinen-Kalk (s. Taf. XXVIII, Fig. 7; Taf. XXXI, Fig. 1, 5, 6).

Fig. 7. *Proboscidella lata* n. sp. S. 642 (r. T., S. 313). Steinkern; am Stirnrande sieht man die Entstehung des zusammengedrehten Fortsatzes. Fl. Ufa, $3^1/_2$ Werst unterhalb des Dorfes Tschandar. Schwagerinen-Horizont (s. Taf. XXXI, Fig. 4).

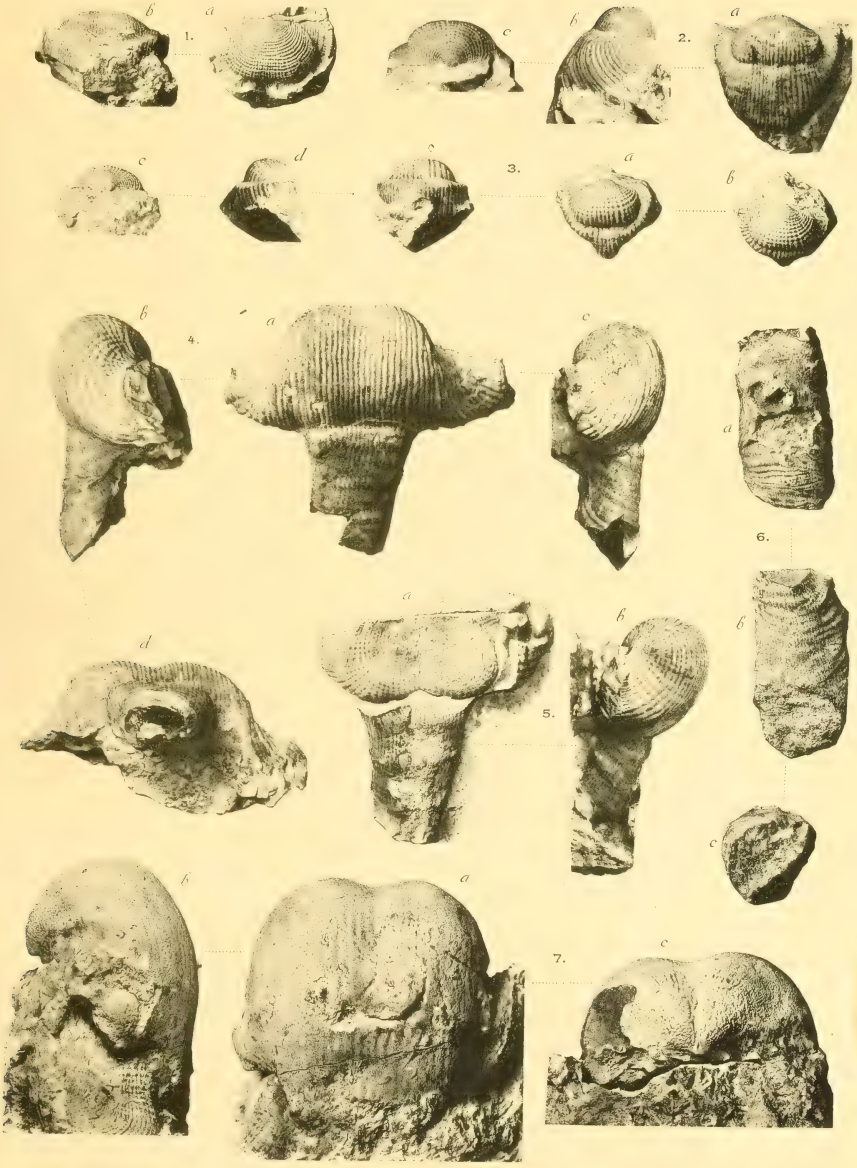
1.
2.
3.
4.
5.
6.
7.
a
b
c
d

Таблица LX.

Фиг. 1. *Hemiptychina sublaevis* Waag. Стр. 40. Казарменскій Камень на Симу. Швагериновый горизонтъ.

Фиг. 2—3. *Camarophoria Karpinskii* n. sp. Стр. 85. С. Тастуба. Швагериновый известнякъ.

Фиг. 4. *Pugnax n. sp.* Стр. 69. Сикъ-Такты подлѣ ст. Аша на Симу. Швагериновый известнякъ.

Фиг. 5. *Schizophoria juresanenesis* n. sp. Стр. 224. Слѣпокъ съ внутренняго ядра спинной створки экземпляра, изображеннаго на таб. XXVII, фиг. 15*a*.

Фиг. 6—8. *Schizophoria juresanensis* n. sp. Стр. 224, Фиг. 8—скульптура увелич. С. Златоустовское на р. Иргинѣ. Швагериновый известнякъ (см. таб. XXVII, фиг. 13—15).

Фиг. 9—10. *Rhipidomella Pecosi* Marcou. Стр. 222. Фиг. 9*e*, 10*e*—въ натуральную величину, остальныя увеличены. Р. Юрезань, въ 3-хъ верстахъ ниже Базраковой. Швагериновый горизонтъ.

Фиг. 11—13. *Productus tartaricus* n. sp. Стр. 264. Фиг. 13*d* — брюшная створка снята. Гора Улу Тау на Симу. Швагериновый горизонтъ (см. таб. LVII, фиг. 7—9).

Фиг. 14. *Tegulifera* (?) *uralica* n. sp. Стр. 330. Фиг. *a* — видъ съ круто ниспадающей стороны съ отчетливой начальной раковинкой; фиг. *b*—видъ сбоку; фиг. *c*—видъ съ полого падающей стороны. Р. Юрезань, ниже дер. Базраковой. Швагериновый известнякъ.

Tafel LX.

Fig. 1. *Hemiptychina sublaevis* Waag. S. 460 (r. T., S. 40). Kasarmenskij Kamen am Sim. Schwagerinen-Horizont.

Fig. 2—3. *Camarophoria Karpinskii* n. sp. S. 496 (r. T., S. 85). Dorf Tastuba. Schwagerinen-Kalk.

Fig. 4. *Pugnax* n. sp. S. 484 (r. T., S. 69). Berg Sik-Takty bei d. St. Ascha am Sim. Schwagerinen-Kalk.

Fig. 5. *Schizophoria juresanensis* n. sp. S. 591 (r. T., S. 224). Abguss von einem inneren Steinkerne der Dorsalklappe des auf Taf. XXVII, Fig. 15*a* abgebildeten Exemplares.

Fig. 6—8. *Schizophoria juresanensis* n. sp. S. 591 (r. T., S. 224). Fig. 8—die Sculptur vergr. Dorf Slatoustowskoje an der Irgina. Schwagerinen-Kalk (s. Taf. XXVII, Fig. 13—15).

Fig. 9—10. *Rhipidomella Pecosi* Marcou. S. 590 (r. T., S. 222). Fig. 9*e*, 10*e* in natürlicher Grösse, die übrigen vergrössert. Fl. Juresan, 3 Werst unterhalb Basrakowa. Schwagerinen-Horizont.

Fig. 11—13. *Productus tartaricus* n. sp. S. 614 (r. T., S. 264). Fig. 13*d*—bei abgelöster Ventralklappe. Berg Ulu Tau am Sim. Schwagerinen-Horizont (s. Taf. LVII, Fig. 7—9).

Fig. 14. *Tegulifera (?) uralica* n. s. S. 653 (r. T., S. 330). Fig. *a* — von der steil abfallenden Seite gesehen mit deutlicher Primärschale; Fig. *b*—Seitenansicht; Fig. *c*—von der flach abfallenden Seite gesehen. Fl. Juresan, unterhalb des D. Basrakowa. Schwagerinen-Kalk.

Фиг. 15—17. *Martinia semiplana* Waag. Стр. 182. Брюшныя створки. С. Тастуба. Швагериновый известнякъ.

Фиг. 18. *Marginifera juresanensis* n. sp. Стр. 329. Фиг. 18*d*—брюшная створка снята, и на внутренней поверхности спинной створки обнаруженъ широкій валикъ, охватывающій ея края. Оврагъ Яковли по дорогѣ изъ Ташевой въ Базракову. Швагериновый известнякъ.

Фиг. 19—23. *Productus Wallacei* Derby. Стр. 270. Фиг. 19-21—брюшныя створки; фиг. 22—экземпляръ съ обѣими створками; фиг. 23—спинная створка. С. Златоустовское на р. Иргинѣ. Швагериновый известнякъ (см. таб. XXX, фиг. 8).

Fig. 15—17. *Martinia semiplana* Waag. S. 565 (r. T., S. 182). Ventralklappen. Dorf Tastuba. Schwagerinen-Kalk.

Fig. 18. *Marginifera juresanensis* n. sp. S. 652 (r. T., S., 329). Fig. 18*d*—die Ventralklappe ist entfernt und an der Innenseite der Dorsalklappe sieht man ein ihren Rand umfassendes Wülstchen. Schlucht Jakowli auf dem Wege von Taschewa nach Basrakowa. Schwagerinen-Kalk.

Fig. 19—23. *Productus Wallacei* Derby. S. 617 (r. T., S. 270). Fig. 19-21—Ventralklappen; Fig. 22—Exemplar mit beiden Schalen: Fig. 23 – Dorsalklappe. D. Slatoustowskoje an der Irgina. Schwagerinen-Kalk (s. Taf. XXX, Fig. 8).

Таблица LXI.

Фиг. 1—2. *Productus Gruenewaldti* Krot. *var.* Стр. 255. Фиг. 2*b*—брюшная створка снята. Р. Юрезань, въ $2^1/_2$ вер. ниже Сырого Калмаша. Омфалотроховый горизонтъ (см. таб. LXII, фиг. 3).

Фиг. 3. *Productus Gruenewaldti* Krot. Стр. 252. Брюшная створка съ частью лишь сохранившимся наружнымъ слоемъ раковины. Р. Малгія близъ устья. Коровый горизонтъ (см. таб. XXXII, фиг. 3, таб. LXII, фиг. 4—5).

Фиг. 4. *Productus Gruenewaldti* Krot. *var.* Стр. 255. Экземпляръ со слабо выраженнымъ синусомъ и съ наклонностью къ образованію грубыхъ складокъ на средней и лобной частяхъ раковины, въ общемъ близко напоминающій *Productus semistriatus* Meek. Логъ Быртымъ. Коровый известнякъ (см. таб. LXII, фиг. 3).

Фиг. 5—7. *Productus Gruenewaldti* Krot. Стр. 252. Фиг. 5—брюшная створка; фиг. 6-7—спинныя створки. Казарменскій Камень на Симу. Швагериновый известнякъ (см. таб. XXXII, фиг. 3, таб. LXII, фиг. 4—5).

Tafel LXI.

Fig. 1—2. *Productus Gruenewaldti* Krot. var. S. 610 (r. T., S. 255). Fig. 2*b*—bei entfernter Ventralklappe. Fl. Juresan, $2^1/_2$ Werst unterhalb Syroi Kalmasch. Omphalotrochus-Horizont (s. Taf. LXII, Fig. 3).

Fig. 3. *Productus Gruenewaldti* Krot. S. 608 (r. T., S. 252). Ventralklappe mit nur zum Theil erhaltener äusserer Schalenschicht. Fl. Malgija unweit der Mündung. Cora-Horizont (s. Taf. XXXII, Fig. 3; Taf. LXII, Fig. 4—5).

Fig. 4. *Productus Gruenewaldti* Krot. var. S. 610 (r. T., S. 255). Exemplar mit schwach ausgeprägtem Sinus und mit der Neigung zu grober Faltenbildung in der Mittel- und Stirnpartie der Schale, im Allgemeinen sehr an *Productus semistriatus* Meek erinnernd. Schlucht Byrtym. Cora-Kalk (s. Taf. LXII, Fig. 3).

Fig. 5—7. *Productus Gruenewaldti* Krot. S. 608 (r. T., S. 252). Fig. 5—Ventralklappe; Fig. 6-7—Dorsalklappen. Kasarmenskij Kamen am Sim. Schwagerinen-Kalk (s. Taf. XXXII, Fig. 3 u. Taf. LXII, Fig. 4—5).

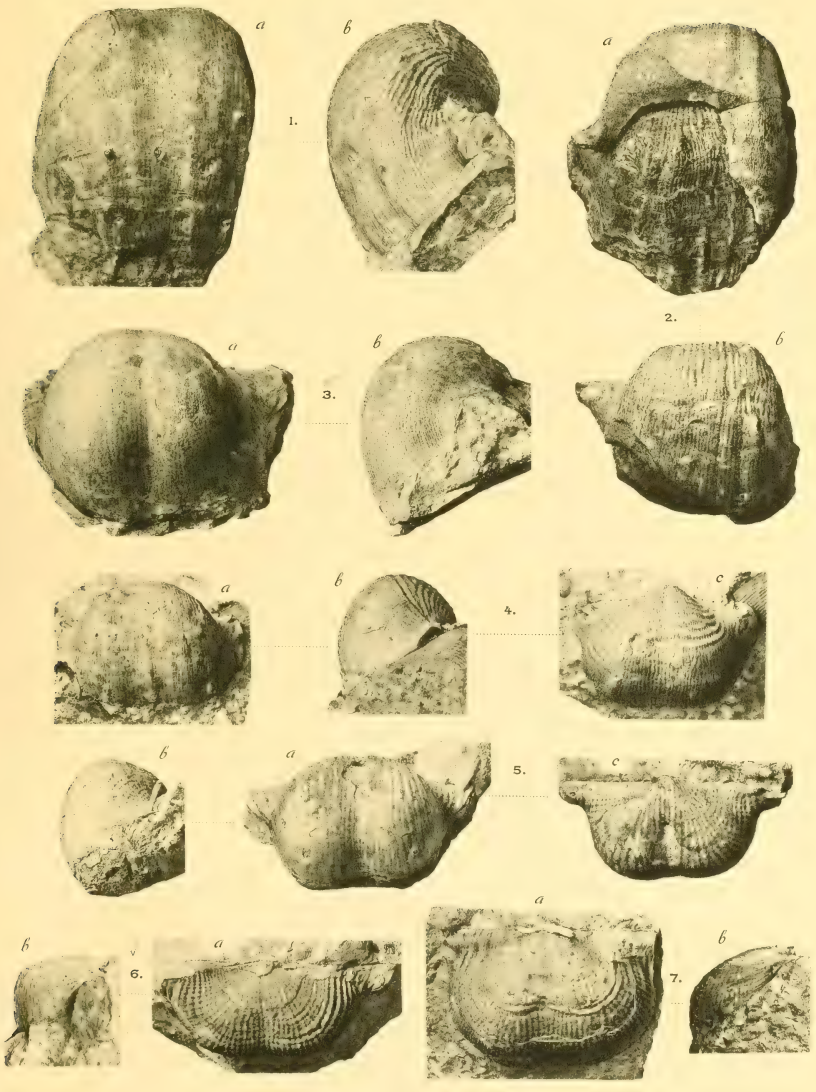
a
1.
в
a
2.
a
3.
в
в
4.
a
в
c
в
a
5.
c
в
6.
a
a
7.
в

Таблица LXII.

Фиг. 1. *Productus uralicus* n. sp. Стр. 259. Р. Уфа, ниже Шафѣевскаго перевоза. Коровый горизонтъ (см. таб. XXXII, фиг. 1, таб. XXXIII, фиг. 1).

Фиг. 2. *Productus porrectus* Kut. Стр. 301. Брюшная створка съ прекрасно выраженной скульптурой и съ сохранившимся у лобнаго края началомъ шлейфа. С. Тастуба. Швагериновый известнякъ (см. таб. XXXII, фиг. 4, таб. LV, фиг. 1, таб. LVI, фиг. 4).

Фиг. 3. *Productus Gruenewaldti* Krot. *var.* Стр. 255. Р. Юрезань, въ $2^1/_2$ верст. ниже Сырого Калмаша. Омфалотроховый горизонтъ (см. таб. LXI, фиг. 1, 2. 4).

Фиг. 4. *Productus Gruenewaldti* Krot. Стр. 252. Фиг. *a* — часть, снятая съ экземпляра, изображеннаго на фиг. *b*, и представляющая видъ внутренней поверхности спинной створки. Гора Ермакъ на р. Уфѣ. Швагериновый горизонтъ (см. таб. XXXII, фиг. 3, таб. LXI, фиг. 3, 5—7).

Фиг. 5. *Productus Gruenewaldti* Krot. Стр. 252. Брюшная створка экземпляра, по характеру скульптуры приближающагося къ *Productus semistriatus* Meek. Сарвинскій долъ. Коровый горизонтъ (см. таб. XXXII, фиг. 3, таб. LXI, фиг. 3, 5 — 7).

Tafel LXII.

Fig. 1. *Productus uralicus* n. sp. S. 612 (r. T., S. 259). Fl. Ufa unterhalb der Fähre von Schafejewo. Cora-Horizont (s. Taf. XXXII, Fig. 1; Taf. XXXIII, Fig. 1).

Fig. 2. *Productus porrectus* Kut. S. 634 (r. T., S. 301). Ventralklappe mit sehr schön ausgeprägter Sculptur und mit erhaltenem Jabotansatz am Stirnrande. D. Tastuba. Schwagerinen-Kalk (s. Taf. XXXII, Fig. 4; Taf. LV, Fig. 1; Taf. LVI, Fig. 4).

Fig. 3. *Productus Gruenewaldti* Krot. var. S. 610 (r. T., S. 255). Fl. Juresan, $2^1/_2$ Werst unterhalb Syroi Kalmasch. Omphalotrochus-Horizont (s. Taf. LXI, Fig. 1, 2, 4).

Fig. 4. *Productus Gruenewaldti* Krot. S. 608 (r. T., S. 252). Fig. *a* — ein Theil von dem in Fig. *b* dargestellten Exemplar, der die Innenfläche der Dorsalklappe zeigt. Berg Jermak an der Ufa. Schwagerinen-Horizont (s. Taf. XXXII, Fig. 3; Taf. LXI, Fig. 3, 5 – 7).

Fig. 5. *Productus Gruenewaldti* Krot. S. 608 (r. T., S. 252). Ventralklappe eines Exemplares, dass sich im Charakter seiner Sculptur dem *Productus semistriatus* Meek nähert. Thal Sarwinskij. Cora-Horizont (s. Taf. XXXII, Fig. 3, Taf. LXI, Fig. 3, 5 – 7).

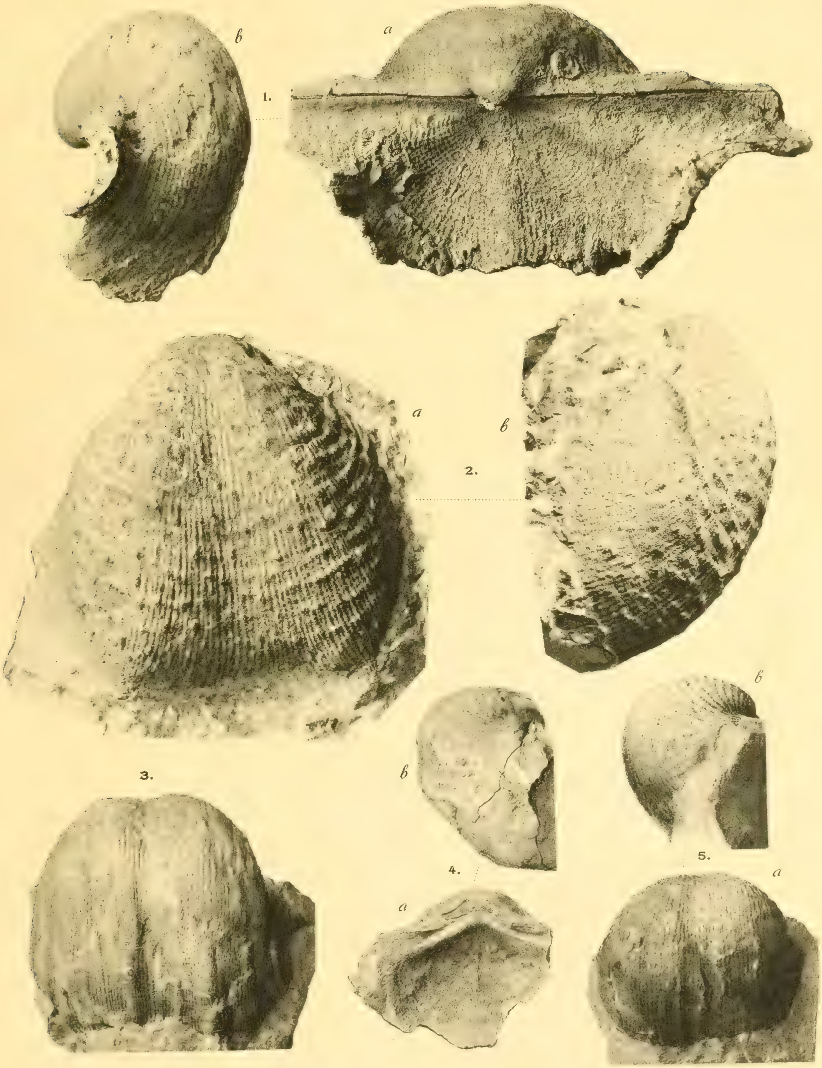

Фототипія В. Классонъ. С.Петербургъ, Кадетская лин. № 7-2
Печатал Н. Каминскій

Таблица LXIII.

Фиг. 1. *Martiniopsis baschkirica* n. sp. Стр. 333. Фиг. *a-e* увелич. въ $^4/_3$ раза; фиг. *f* — скульптура, сильно увеличенная. Гора Тура-Тау подлѣ Стерлитамака. Швагериновый известнякъ.

Фиг. 2. *Martinia* sp. Стр. 333. Гора Тура-Тау подлѣ Стерлитамака. Швагериновый известнякъ.

Фиг. 3. *Martinia simensis var. substricta* n. sp. n. var. Стр. 334. Всѣ фигуры увелич. въ 3 раза. Гора Сикъ-Такты на Симу. Швагериновый горизонтъ.

Фиг. 4, 6. *Chonetes uralica* Moell. Стр. 240. Увелич. въ $^6/_5$ раза. Село Тастуба Швагериновый известнякъ.

Фиг. 5. *Derbyia regularis* Waag. Стр. 203. Спинная створка съ частью лишь сохранившейся раковиной. На фиг. 5*b* виденъ отпечатокъ внутренней поверхности замочнаго отростка, изображеннаго въ текстѣ на рис. 55 въ увелич. видѣ (по слѣпку). Печорская Пижма. Омфалотроховый горизонтъ (см. таб. XXV, фиг. 1—3).

Фиг. 7 — 8. *Schizophoria supracarbonica* n. sp. Стр. 226. Фиг. 7 — экземпляръ съ хорошо сохранившейся раковиной, увеличенный въ 2 раза. Фиг. 8 — экземпляръ, у котораго снята раковина съ брюшной створки и частью со спинной; увелич. въ $^4/_3$ раза. Гора Тура-Тау подлѣ Стерлитамака. Швагериновый известнякъ.

Фиг. 9. *Productus curvirostris* Schellw. Стр. 269. Увелич. въ $^4/_3$ раза. Гора Тура-Тау подлѣ Стерлитамака. Швагериновый известнякъ (см. таб. XXIX, фиг. 3).

Фиг. 10. *Productus anomalus* Keys. Стр. 308. Брюшная створка. Доломиты р. Ижмы.

Tafel LXIII.

Fig. 1. *Martiniopsis baschkirica* n. sp. S. 558 (r. T., S. 333). Fig. *a-e* — auf $^4/_3$ vergrössert; Fig. *f*—die Sculptur, stark vergrössert. Berg Tura Tau bei Sterlitamak. Schwagerinen-Kalk.

Fig. 2. *Martinia* sp. S. 574 (r. T., S. 333). Berg Tura Tau bei Sterlitamak. Schwagerinen-Kalk.

Fig. 3. *Martinia simensis* var. *substricta* n. sp. n. var. S. 571 (r. T., S. 334). Alle Figuren in dreifacher Vergrösserung. Berg Sik Takty am Sim. Schwagerinen-Horizont.

Fig. 4—6. *Chonetes uralica* Moell. S. 601 (r. T., S. 240). $^6/_5$ Mal. vergr. Dorf Tastuba. Schwagerinen-Kalk.

Fig. 5. *Derbyia regularis* Waag. S. 577 (r. T., S. 203). Dorsalklappe mit nur theilweise erhaltener Schale. In Fig. 5*b* ist der Abdruck der Innenseite des Schlossfortsatzes, der in vergrössertem Maassstabe in der Textfig. 55 (S. 578) nach einem Abguss dargestellt ist. Petschorskaja Pishma. Omphalotrochus - Horizont (s. Taf. XXV, Fig. 1—3).

Fig. 7—8. *Schizophoria supracarbonica* n. sp. S. 593 (r. T., S. 226). Fig. 7—Exemplar mit wohl erhaltener Schale, zwei Mal vergrössert. Fig. 8—Exemplar, bei dem die Schale der Ventralklappe und zum Theil auch der Dorsalklappe entfernt ist; $^4/_3$ Mal vergrössert. Berg Tura Tau bei Sterlitamak. Schwagerinen-Kalk.

Fig. 9. *Productus curvirostris* Schellw. S. 616 (r. T., S. 269). $^4/_3$ Mal vergr. Berg Tura Tau bei Sterlitamak. Schwagerinen-Kalk (s. Taf. XXIX, Fig. 3).

Fig. 10. *Productus anomalis* Keys. S. 639 (r. T., S. 308). Ventralklappe. Dolomite an der Ishma.

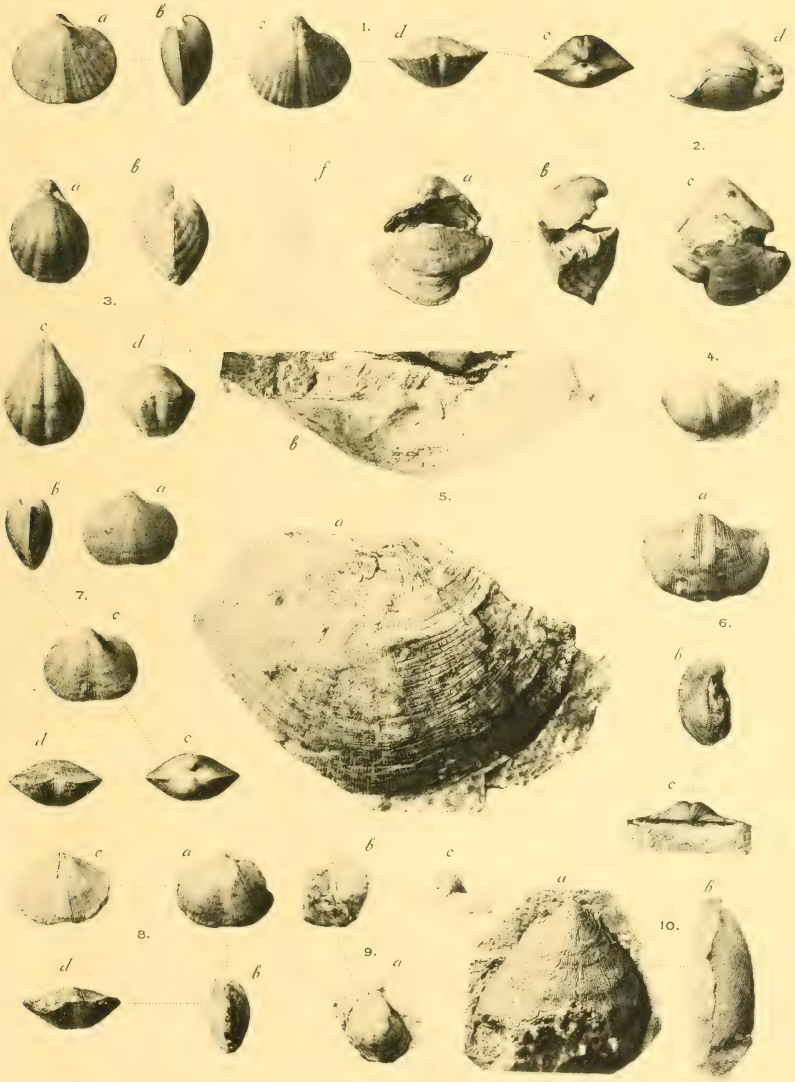
1.
2.
3.
4.
5.
6.
7.
8.
9.
10.

SMITHSONIAN INSTITUTION LIBRARIES
3 9088 01702 8796